



Observatoire régional
climat air énergie
 Auvergne-Rhône-Alpes

TEPOS-CV CC Ambert Livradois forez

Profil climat air énergie édité le : 15/12/2023
 Code territoire : TEPOSCV-10

Sous le pilotage de :



Opéré par :



LES PROFILS CLIMAT AIR ÉNERGIE EN AUVERGNE-RHÔNE-ALPES

L'observatoire régional du climat, de l'air et de l'énergie d'Auvergne-Rhône-Alpes (ORCAE) met à disposition des territoires s'engageant dans l'élaboration d'un plan climat-air-énergie territorial, des données et analyses nécessaires à la réalisation d'un diagnostic en termes de :

- Énergie (consommation et production) ;
- Émissions de gaz à effet de serre (GES) et de polluants ;
- Séquestration nette de carbone ;
- Réseaux de distribution et de transport d'énergie ;
- Impacts des effets du changement climatique.

Ces profils sont disponibles pour tous les territoires d'Auvergne-Rhône-Alpes. Les impacts du changement climatique sont disponibles uniquement dans profils des EPCI et des TEPOS.

DONNÉES ET MÉTHODOLOGIE

Les données mises à disposition dans les profils ORCAE sont les dernières données disponibles au moment de l'édition des profils. Les dates des données sont indiquées dans les différents graphiques. Les séries historiques sont recalculées pour prendre en compte les évolutions méthodologiques. Les données publiées dans les profils peuvent donc présenter des différences avec les données diffusées dans les tableaux de données et dans la synthèse chiffres-clés, si la méthodologie de calcul des données a évolué entre les dates de publication des différents documents. Les données à considérer comme valables sont les données les plus récentes.

Certaines données sont évaluées par une méthode d'extrapolation des données historiques (modèle ARIMA). Il en découle que ces données et leurs évolutions, qui intègrent ces données estimées, sont à considérer avec une marge d'incertitude. Il s'agit notamment des données de consommation, d'émissions de GES et polluants pour l'année 2022.

La méthodologie d'estimation de calcul des données est consultable sur le site de l'ORCAE dans l'onglet [Méthodologie](#).

Le millésime des communes et les périmètres des territoires sont ceux de 2023 selon le [code officiel géographique de l'INSEE](#).

Depuis 2023, les données des émissions de GES prises en compte dans les profils incluent les émissions de GES fluorés (HFC, PFC et SF6).

Certaines données sont confidentielles. Il s'agit soit de confidentialité directe, soit de confidentialité indirecte induite par une confidentialité directe ([en savoir plus sur la confidentialité et la secrétisation des données](#)). Ces données sont repérées par un « S » dans les tableaux. L'ORCAE a mis en place un processus de levée de la confidentialité pour les territoires qui en font la demande. Pour lever la confidentialité des données de votre territoire, contactez l'ORCAE : contact@orcae-auvergne-rhone-alpes.fr.

ÉVOLUTIONS PAR RAPPORT À LA VERSION PRÉCÉDENTE

Les principales nouveautés et évolutions sont les suivantes :

- Mise à jour des données avec le millésime 2022 (2021 pour certaines données) ;
- Ventilation de la valorisation énergétique des déchets entre la production renouvelable et non renouvelable à hauteur de 50% entre EnR et non EnR pour la production d'électricité ou de chaleur conformément à la [législation française](#)
- Fiabilisation de l'historique (avant 2017) des productions d'énergie des filières hydro-électrique, solaire photovoltaïque et biogaz ;
- Nouveaux facteurs d'émissions pris en compte notamment pour le chauffage au bois ;
- Mise à jour de la méthodologie de calcul des secteurs résidentiel et transport routier ;
- Ajout de liens vers l'Observatoire régional sur l'agriculture et le changement climatique (ORACLE).

CONTACT

Pour toute précision concernant les profils climat air énergie territoriaux : contact@orcae-auvergne-rhone-alpes.fr

TABLE DES MATIÈRES

Émissions de gaz à effet de serre	5
Émissions totales de GES (à climat normal)	6
Émissions de GES dans le secteur Résidentiel (à climat normal)	7
Émissions de GES dans le secteur Tertiaire (à climat normal)	8
Émissions de GES dans le secteur Industrie hors branche énergie (à climat normal)	9
Émissions de GES dans le secteur Gestion des déchets (à climat normal)	9
Émissions de GES dans le secteur Branche énergie (à climat normal)	10
Émissions de GES dans le secteur Transport routier (à climat normal)	11
Émissions de GES dans le secteur Autres transports (à climat normal)	12
Émissions de GES dans le secteur Agriculture, sylviculture et aquaculture (à climat normal)	13
Qualité de l'air	14
Concentration de polluants atmosphériques	15
Exposition des populations aux polluants atmosphériques	16
Bilan des émissions de polluants atmosphériques	17
Séquestration nette de dioxyde de carbone	18
Puits de carbone du territoire : stocks, flux absorbés, changement d'affectation des sols	19
Consommation d'énergie finale	21
Consommation d'énergie finale totale (à climat normal)	22
Consommation d'énergie finale dans le secteur Résidentiel (à climat normal)	23
Consommation d'énergie finale dans le secteur Tertiaire (à climat normal)	24
Consommation d'énergie finale dans le secteur Industrie hors branche énergie (à climat normal)	25
Consommation d'énergie finale dans le secteur Gestion des déchets (à climat normal)	26
Consommation d'énergie finale dans le secteur Branche énergie (à climat normal)	27
Consommation d'énergie finale dans le secteur Transport routier (à climat normal)	28
Consommation d'énergie finale dans le secteur Autres transports (à climat normal)	29
Consommation d'énergie finale dans le secteur Agriculture, sylviculture et aquaculture (à climat normal)	30
Réseaux de distribution et de transport d'énergie	31
Communes desservies par le gaz	32
Réseaux de transport et de distribution de chaleur - Données 2022	33

Production d'énergie	34
Production d'énergie - Situation globale	35
Production d'électricité renouvelable électrique - Hydroélectricité	36
Valorisation énergétique - Biogaz	37
Production d'électricité renouvelable électrique - Photovoltaïque	38
Production d'électricité renouvelable électrique - Autres	39
Production de chaleur renouvelable - Solaire thermique	40
Production de chaleur renouvelable - Bois énergie et autres biomasses solides	41
Production de chaleur renouvelable - PAC	42
Potentiels de production enR	43
Éolien	44
Biogaz	46
Solaire thermique	48
Solaire photovoltaïque	50
Bois	53
Flux d'énergie	54
flux d'énergie en 2021	55
Observations climatiques	56
Températures moyennes	57
Journées chaudes	58
Précipitations	59
Fortes pluies	60
Nombre de jours de gel	61
Zoom sur les conditions hivernales en montagne	62
Températures hivernales	63
Évolution du manteau neigeux	64
Conditions d'enneigement naturel sur la saison hivernale	65
Conditions d'enneigement artificiel sur la saison hivernale	65
Impact sur le tourisme hivernal	66
Évolution de la fréquentation touristique	67
Évolution de l'offre de ski	68

Impacts sur la ressource en eau	69
Bilan hydrique	70
Débit des cours d'eau	71
Sévérité des étiages	72
Impacts sur les risques naturels	73
Risque météorologique de feux de forêt	74
Arrêtés catastrophes naturelles - sécheresse	75
Impacts sur la biodiversité	76
Indicateurs phénologiques et relation avec les températures	77
Aires de répartition des espèces	78
Impacts sur la santé	80
Hyperthermie et surmortalité lors d'épisodes de canicules	81
Pathologies cardio-vasculaires et respiratoires liées à la qualité de l'air	81
Allergies dues à l'augmentation de la concentration des pollens	82
Cancers liés à l'exposition aux ultraviolets (UV)	83
Risques sanitaires dus à une dégradation de la qualité des eaux	83
Maladies à vecteur	83
Impacts sur la qualité de l'air	84
Impacts sur l'agriculture et la sylviculture	86
Développement du Scolyte	87
Phénologie des prairies	88
Rendement du blé tendre	89
L'Observatoire ORACLE	90
Annexes	91
Périmètre du territoire	92
Glossaire	94

ÉMISSIONS DE GAZ À EFFET DE SERRE¹

1. Données 2022 : estimation prédictive ARIMA

Dynamiques d'évolution

Par rapport à l'année précédente	1%
Depuis 2015	-37%
Depuis 2005	-33%
Depuis 1990	-36%

Évolution de la part de chaque énergie dans les émissions totales de GES

En raison de données confidentielles sur votre territoire, ces éléments ne sont pas diffusables.

Évolution de la part de chaque secteur dans les émissions totales de GES

En raison de données confidentielles sur votre territoire, ces éléments ne sont pas diffusables.

Données d'émissions de GES (en kteq CO₂) par secteur et par énergie

	Chauffage et froid urbain	CMS	Déchets	Electricité	ENRt	Gaz	Non-énergétique	Non identifié	PP	Toutes énergies
Résidentiel	0	0	0	3	5	6	0	0	19	33
Tertiaire	0	0	0	2	0	8	4	0	3	16
Industrie hors branche énergie	0	0	0	3	S	0	1	S	2	S
Gestion des déchets	0	0	0	0	0	0	21	0	0	21
Branche énergie	0	0	0	0	S	0	0	S	0	S
Transport routier	0	0	0	0	0	0	0	0	25	25
Autres transports	0	0	0	0	0	0	0	0	0	0
Agriculture, sylviculture et aquaculture	0	0	0	0	0	0	96	0	9	105
Tous secteurs	0	0	0	8	22	15	122	0	58	226

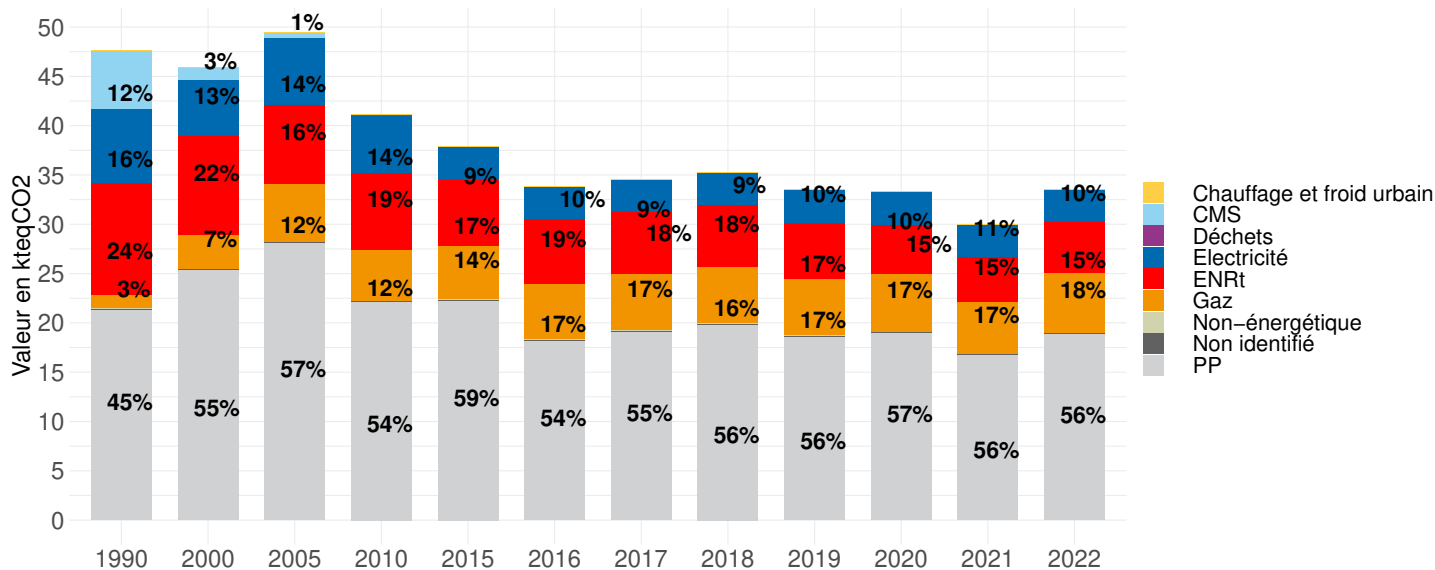
1. Données 2022 : estimation prédictive ARIMA

ÉMISSIONS DE GES DANS LE SECTEUR RÉSIDENTIEL (À CLIMAT NORMAL) ¹

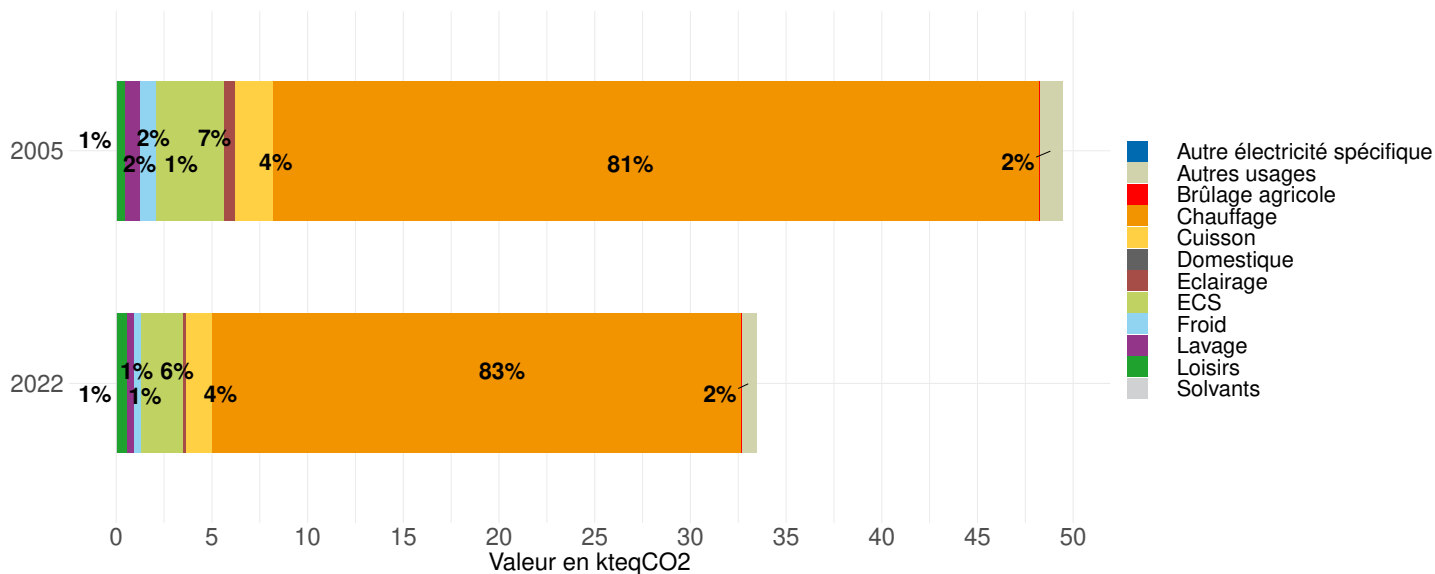
Dynamiques d'évolution

Par rapport à l'année précédente	12%
Depuis 2015	-12%
Depuis 2005	-32%
Depuis 1990	-30%

Évolution de la part de chaque énergie dans les émissions de GES du secteur



Évolution de la part de chaque usage dans les émissions de GES du secteur

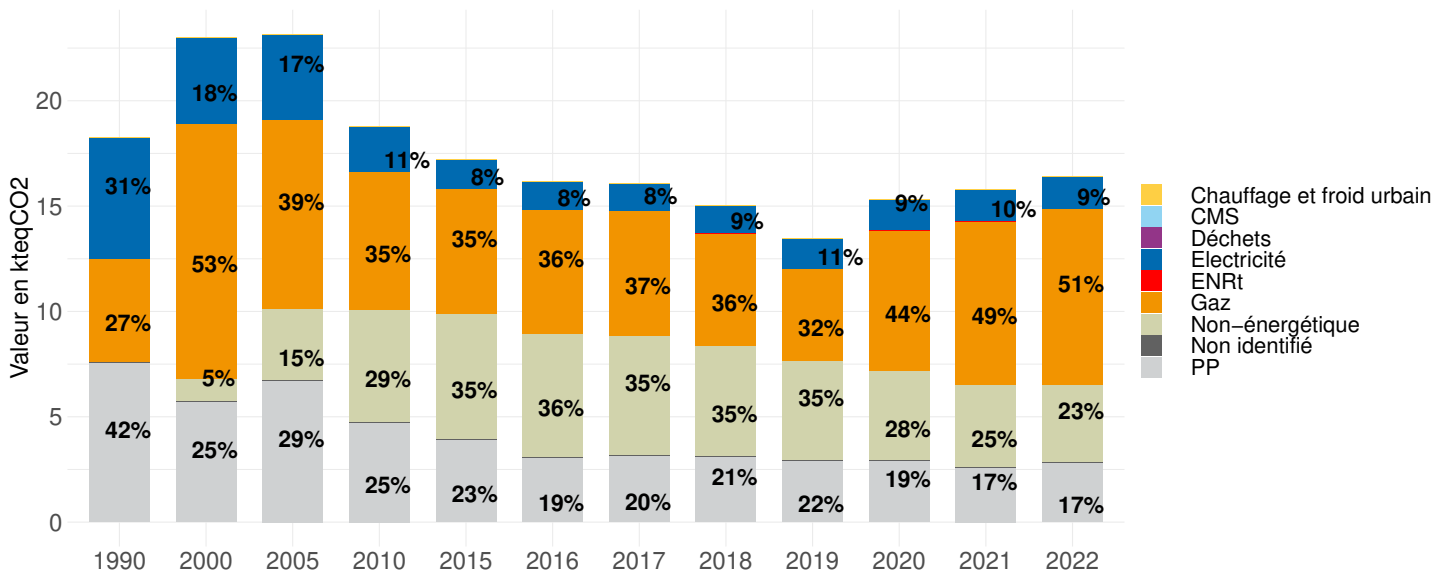


1. Données 2022 : estimation prédictive ARIMA

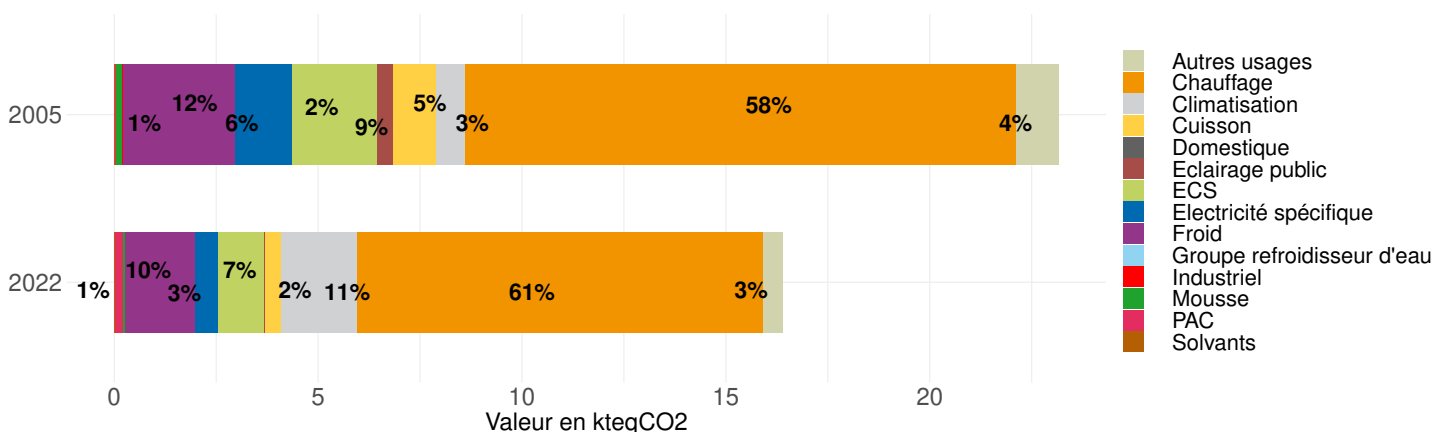
Dynamiques d'évolution

Par rapport à l'année précédente	4%
Depuis 2015	-5%
Depuis 2005	-29%
Depuis 1990	-10%

Évolution de la part de chaque énergie dans les émissions de GES du secteur



Évolution de la part de chaque usage dans les émissions de GES du secteur



1. Données 2022 : estimation prédictive ARIMA

ÉMISSIONS DE GES DANS LE SECTEUR INDUSTRIE HORS BRANCHE ÉNERGIE (À CLIMAT NORMAL) ¹

Dynamiques d'évolution

Par rapport à l'année précédente	Indisponible
Depuis 2015	Indisponible
Depuis 2005	Indisponible
Depuis 1990	Indisponible

Évolution de la part de chaque énergie dans la consommation du secteur

À l'heure actuelle, les données disponibles pour ce secteur ne permettent pas une analyse par énergie.

Évolution de la part de chaque usage dans les émissions de GES du secteur

À l'heure actuelle, les données disponibles pour ce secteur ne permettent pas une analyse par usage.

ÉMISSIONS DE GES DANS LE SECTEUR GESTION DES DÉCHETS (À CLIMAT NORMAL) ²

Dynamiques d'évolution

Par rapport à l'année précédente	-11%
Depuis 2015	-72%
Depuis 2005	indisponible
Depuis 1990	-62%

Évolution de la part de chaque énergie dans la consommation du secteur

À l'heure actuelle, les données disponibles pour ce secteur ne permettent pas une analyse par énergie.

Évolution de la part de chaque usage dans les émissions de GES du secteur

À l'heure actuelle, les données disponibles pour ce secteur ne permettent pas une analyse par usage.

1. Données 2022 : estimation prédictive ARIMA

2. Données 2022 : estimation prédictive ARIMA

Dynamiques d'évolution

Par rapport à l'année précédente	Indisponible
Depuis 2015	Indisponible
Depuis 2005	Indisponible
Depuis 1990	Indisponible

Évolution de la part de chaque énergie dans les émissions de GES du secteur

En raison de données confidentielles sur votre territoire, ces éléments ne sont pas diffusables.

Évolution de la part de chaque usage dans la consommation du secteur

À l'heure actuelle, les données disponibles pour ce secteur ne permettent pas une analyse par usage.

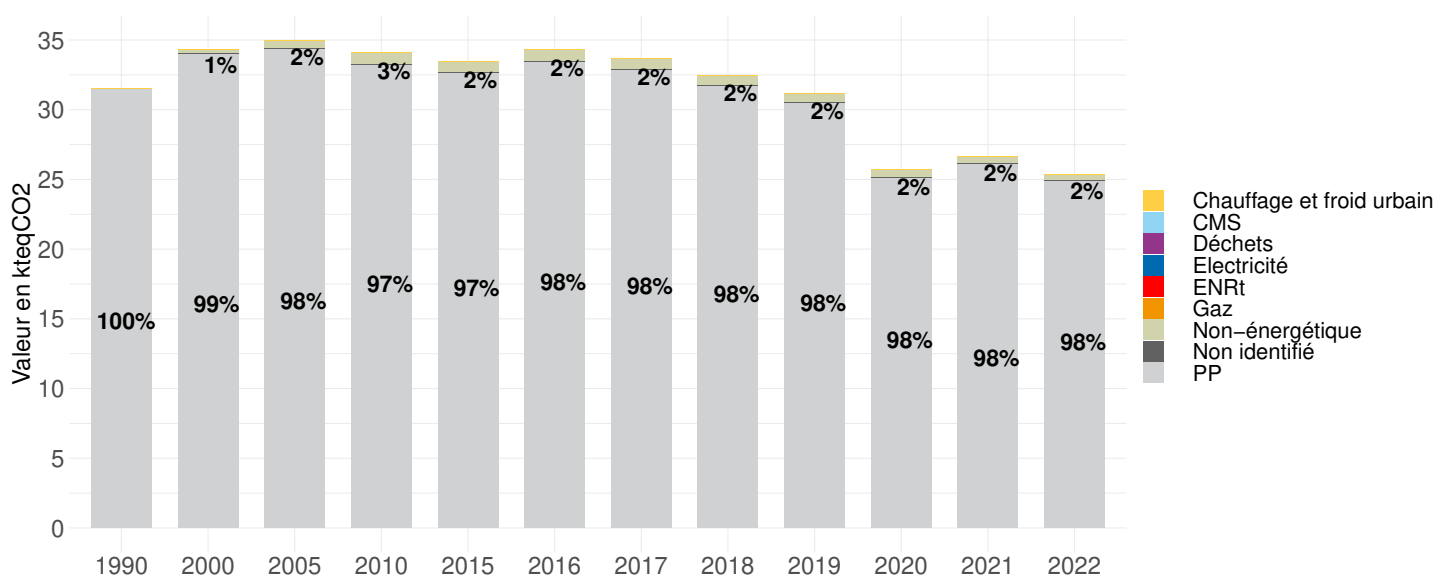
1. Données 2022 : estimation prédictive ARIMA

ÉMISSIONS DE GES DANS LE SECTEUR TRANSPORT ROUTIER (À CLIMAT NORMAL) ¹

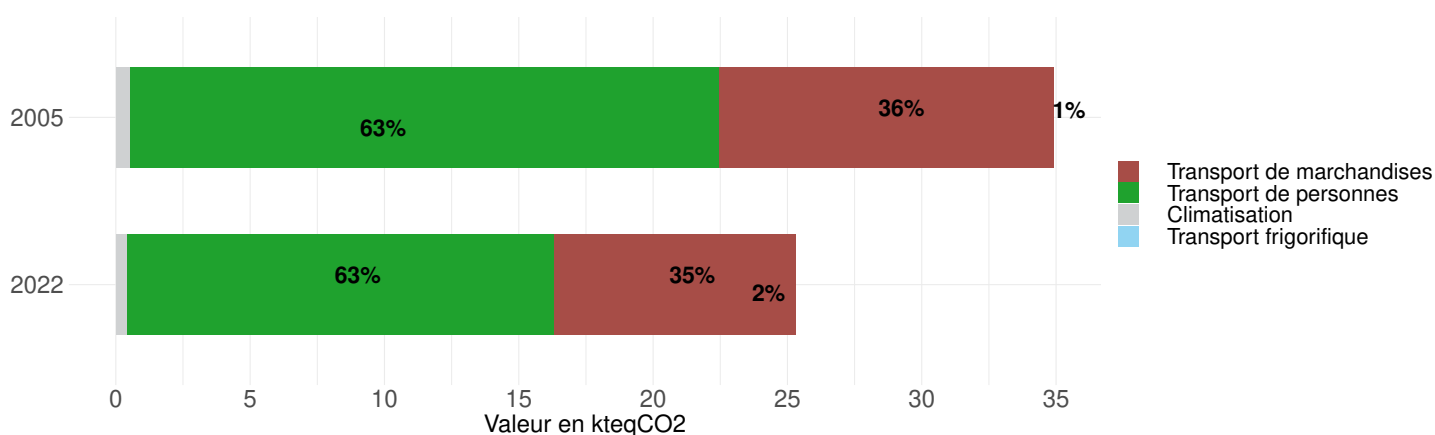
Dynamiques d'évolution

Par rapport à l'année précédente	-5%
Depuis 2015	-24%
Depuis 2005	-28%
Depuis 1990	-20%

Évolution de la part de chaque énergie dans les émissions de GES du secteur



Évolution de la part de chaque usage dans les émissions de GES du secteur



1. Données 2022 : estimation prédictive ARIMA

Dynamiques d'évolution

Nous n'avons pas identifié de données dans ce secteur sur ce territoire.

Évolution de la part de chaque énergie dans les émissions de GES du secteur

Nous n'avons pas identifié de données dans ce secteur sur ce territoire.

Évolution de la part de chaque usage dans les émissions de GES du secteur

Nous n'avons pas identifié de données dans ce secteur sur ce territoire.

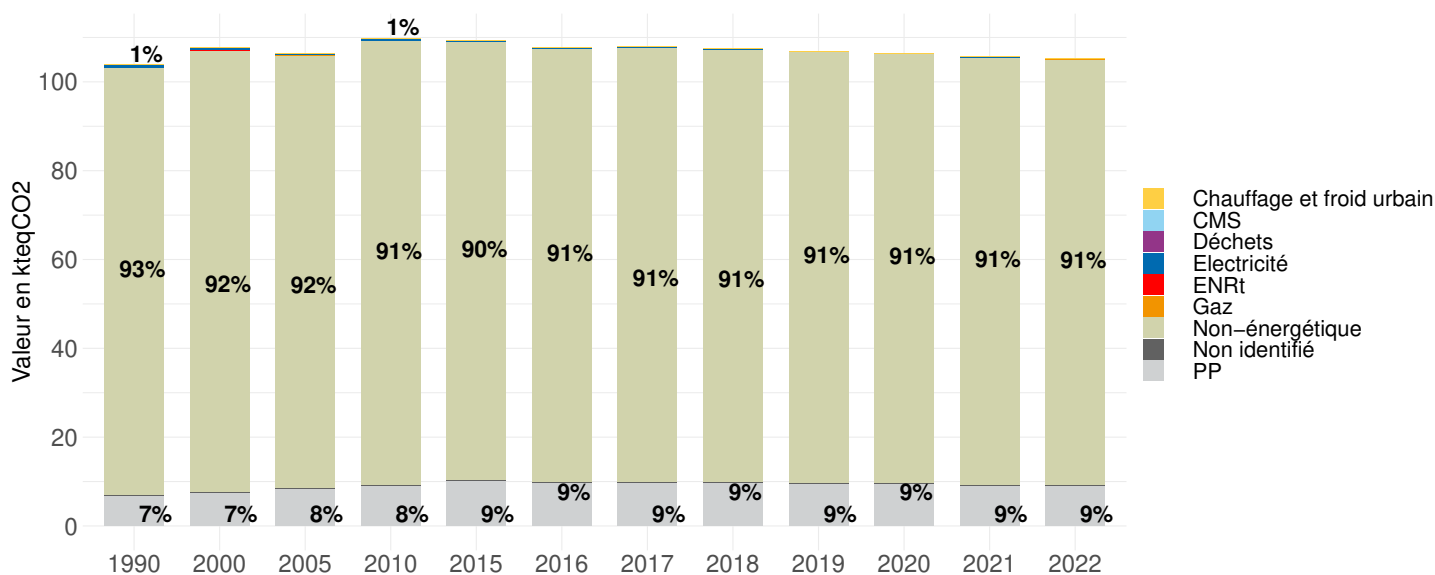
1. Données 2022 : estimation prédictive ARIMA

ÉMISSIONS DE GES DANS LE SECTEUR AGRICULTURE, SYLVICULTURE ET AQUACULTURE (À CLIMAT NORMAL) ¹

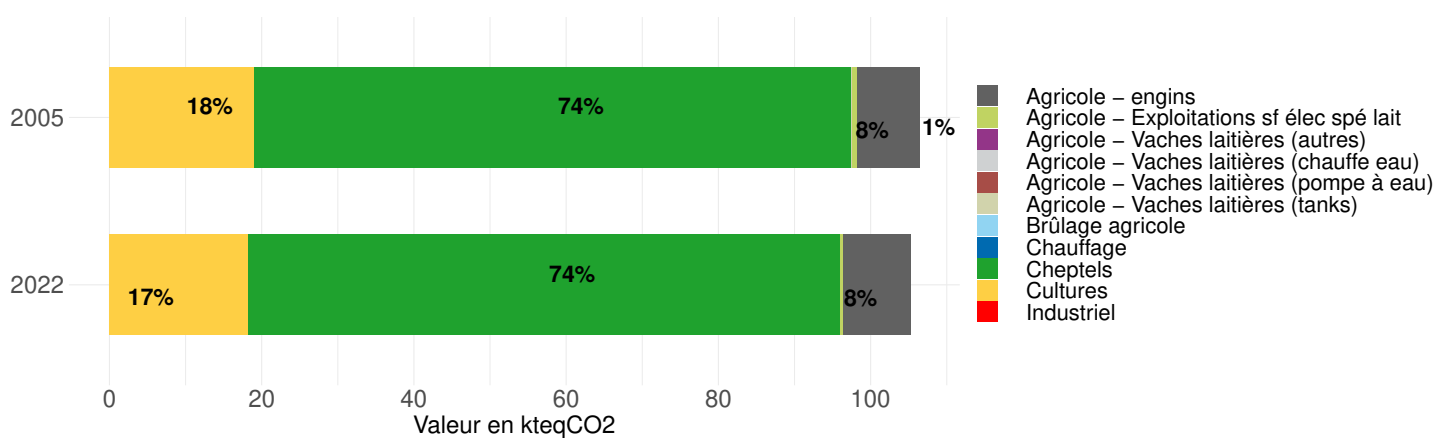
Dynamiques d'évolution

Par rapport à l'année précédente	0%
Depuis 2015	-4%
Depuis 2005	-1%
Depuis 1990	1%

Évolution de la part de chaque énergie dans les émissions de GES du secteur



Évolution de la part de chaque usage dans les émissions de GES du secteur



1. Données 2022 : estimation prédictive ARIMA

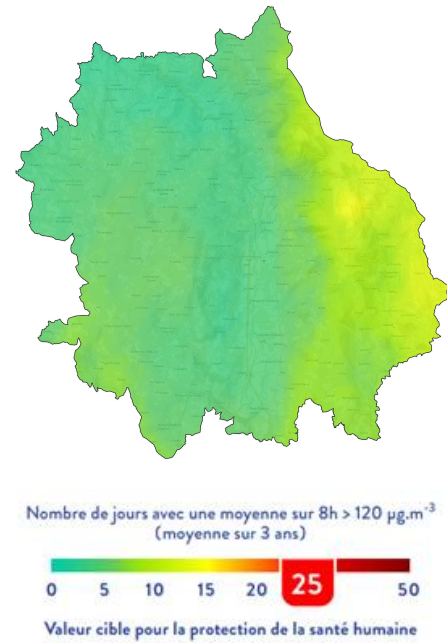
QUALITÉ DE L'AIR

Cartographies annuelles de concentrations de polluants dans l'air 2022

Dioxyde d'azote - NO_2
Moyenne annuelle en $\mu g/m^3$



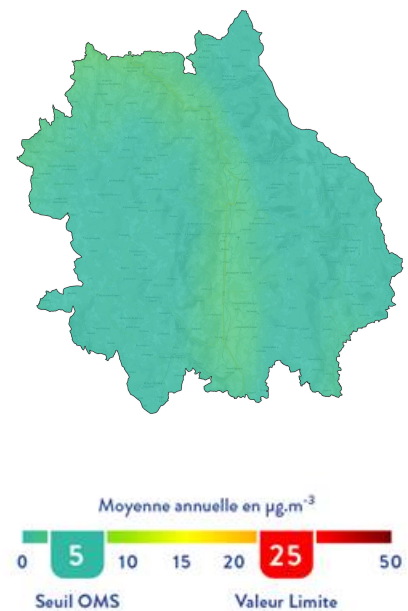
Ozone - O_3
Nb de jours avec dépassement de $120 \mu g/m^3$ sur 8h



Particules - PM_{10}
Moyenne annuelle en $\mu g/m^3$

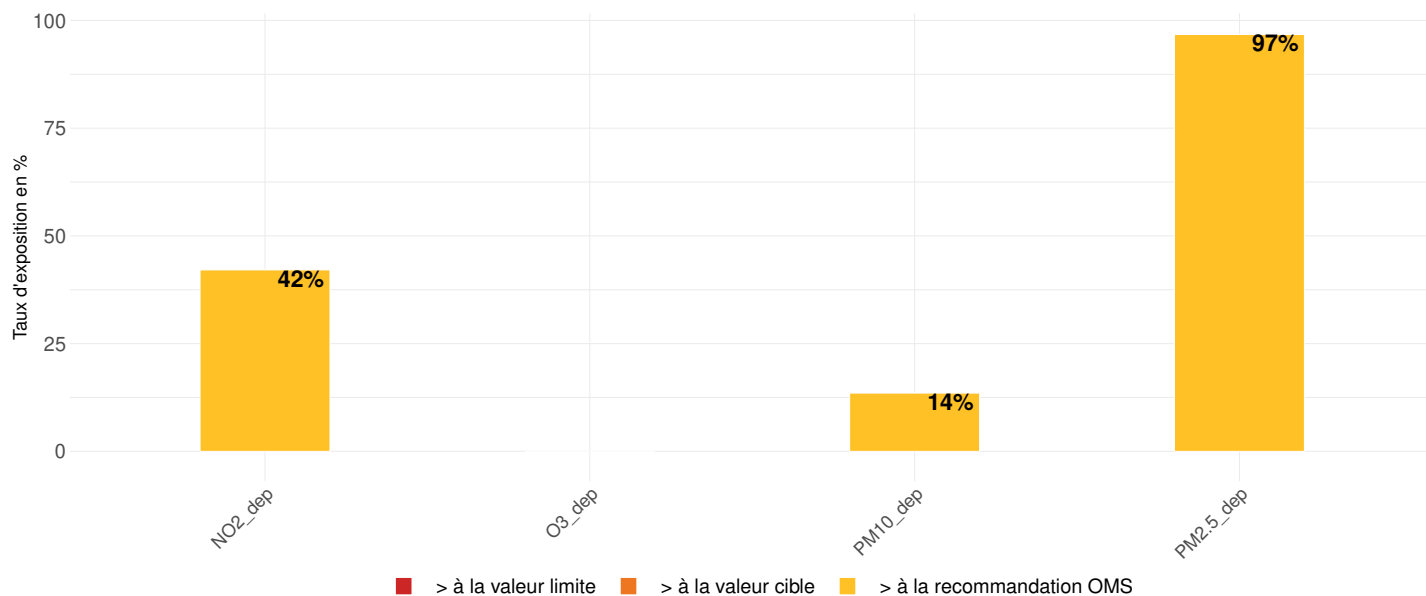


Particules - $PM_{2.5}$
Moyenne annuelle en $\mu g/m^3$



1. Données 2022

Pourcentage de population exposée à des dépassements de la réglementation européenne ou des seuils définis par l’OMS sur le territoire (à droite) en comparaison du département² (à gauche) en 2022



Clés de lecture du graphique

Pour chaque polluant, le dioxyde d’azote NO₂, l’ozone O₃, les particules fines PM₁₀ et les particules très fines PM_{2,5}, les barres verticales visualisent la proportion d’habitants exposés à des concentrations annuelles de qualité de l’air supérieures à des valeurs de référence³ : valeurs annuelles limite ou cible (directive européenne) et seuils annuels recommandés par l’Organisation mondiale de la santé (OMS).

Quand l’exposition est nulle, la barre verticale est absente du graphique (pas d’étiquette correspondante). Quand l’étiquette est présente mais que la barre n’est pas présente, cela signifie que l’exposition est très faible.

Les calculs « d’exposition de la population » sont établis en croisant les informations relatives à un bilan annuel de qualité de l’air avec les données démographiques fournies par l’INSEE : il s’agit donc d’habitants (résidence principale) au sens du recensement, il n’y a pas de spatialisation des personnes suivant les lieux de travail, de déplacement ou autres lieux d’activités.

Plus d’infos :

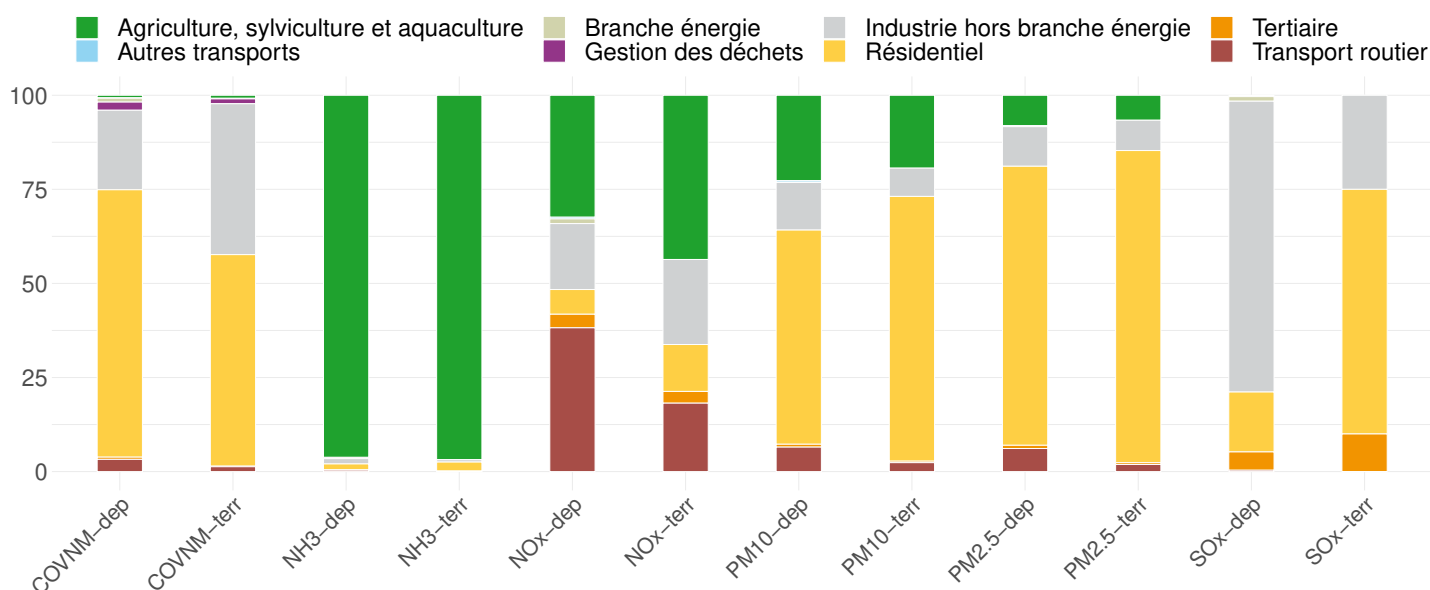
- [La pollution de l’air, c’est quoi ?](#)
- [Pollution de l’air : origines, situation et impacts](#)
- [Pollution de l’air : normes et seuils réglementaires](#)
- [Qualité de l’air ambiant et santé](#)
- [Indices et normes Atmo](#)

1. Données 2022

2. Pour les territoires situés sur plusieurs départements, le département retenu pour le graphique est celui, localisé en région Auvergne-Rhône-Alpes, incluant le plus de communes du territoire

3. Valeurs de référence

Contributions des secteurs d'activité dans les émissions des polluants (en tonnes) sur le territoire (à droite) et sur le département (à gauche) en 2022



Émissions des polluants (en tonnes) sur le territoire et sur le département en 2022 ²

Polluant	Département	Territoire
COVNM*	6884	623
NH3	12413	791
NOx**	8996	385
PM10	3428	253
PM2.5	2574	210
SOx	823	20

1. Données 2022 : estimation prédictive ARIMA

2. pour les territoires situés sur deux départements, le département retenu pour le graphique est celui, localisé en région Auvergne-Rhône-Alpes, incluant le plus de communes du territoire.

*COVNM : composés organiques volatils non méthaniques

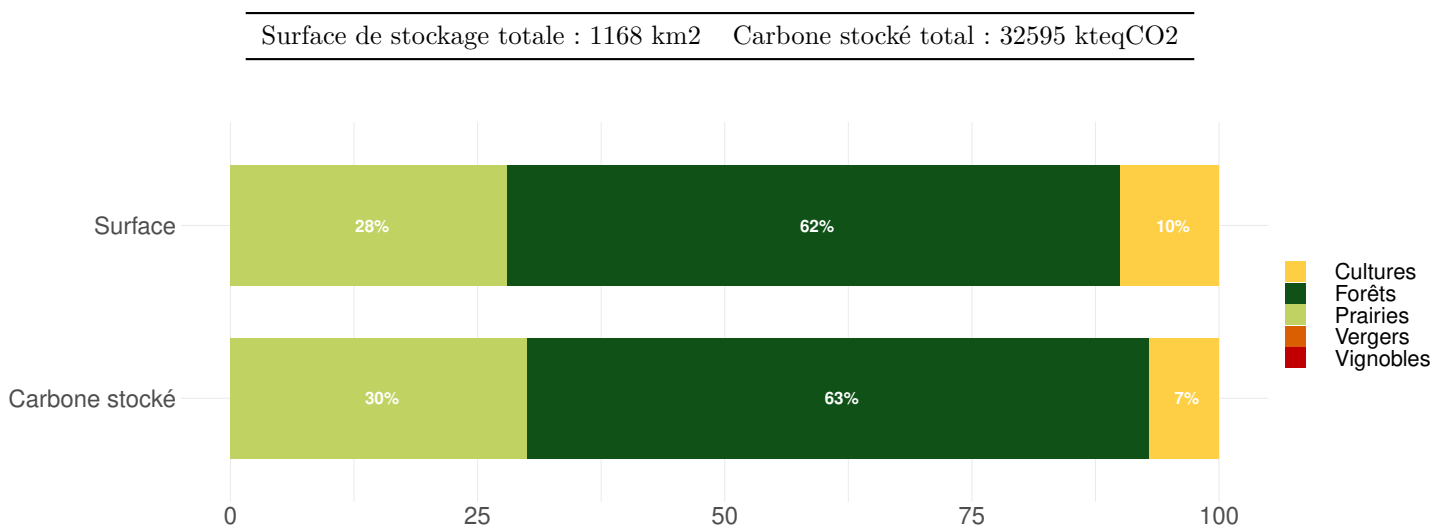
**NOx : composés chimiques contenant azote et oxygène (oxyde d'azote)

SÉQUESTRATION NETTE DE DIOXYDE DE CARBONE (DONNÉES 2012 - 2018¹)

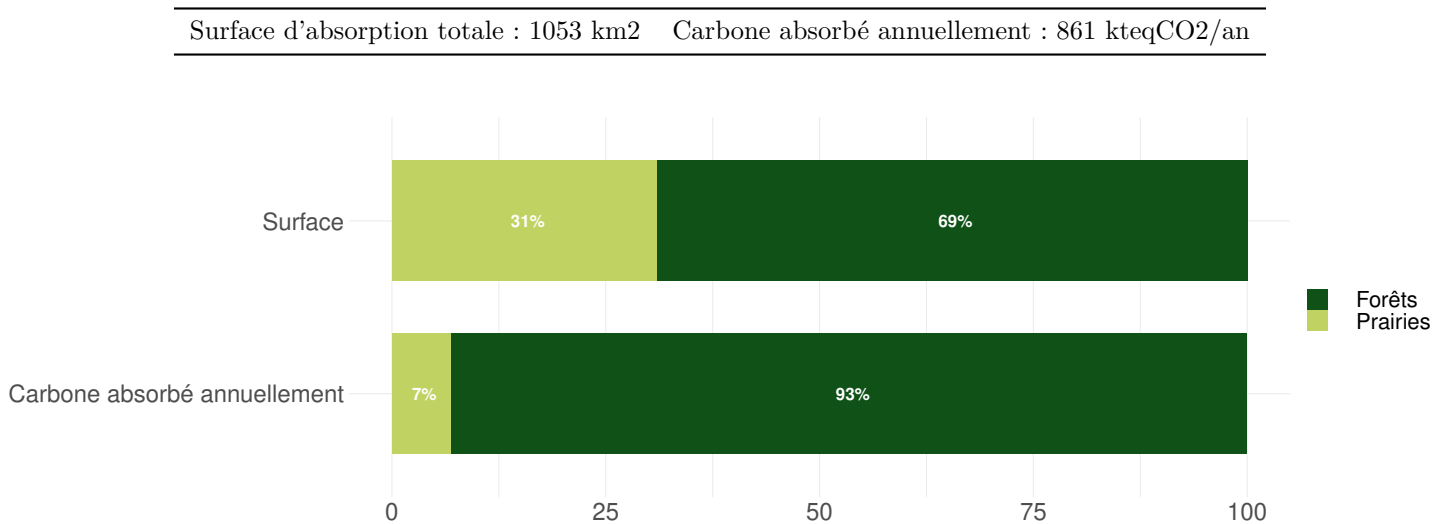
1. Évolutions annuelles calculées sur la période 2012 - 2018

PUITS DE CARBONE DU TERRITOIRE : STOCKS, FLUX ABSORBÉS, CHANGEMENT D'AFFECTATION DES SOLS

Stock de carbone par type de surface

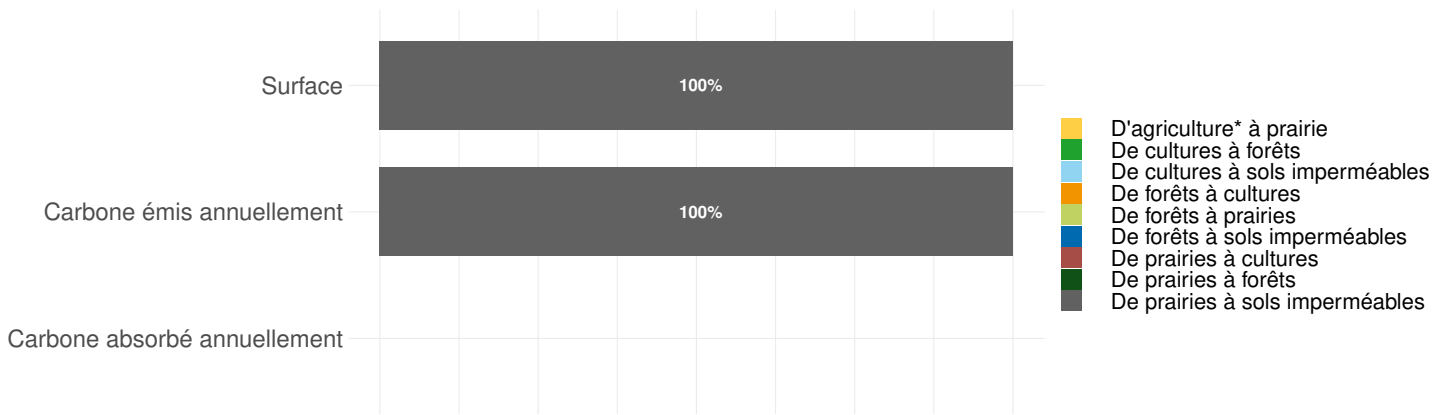


Flux annuels d'absorption de carbone par type de surface



Flux annuels de carbone dus aux changements d'affectation des sols (CAS)

CAS total	1 ha/an
Carbone émis annuellement suite au CAS	0 kteqCO ₂ /an
Carbone absorbé annuellement suite au CAS	0 kteqCO ₂ /an



CONSOMMATION D'ÉNERGIE FINALE ¹

1. Données 2022 : estimation prédictive ARIMA

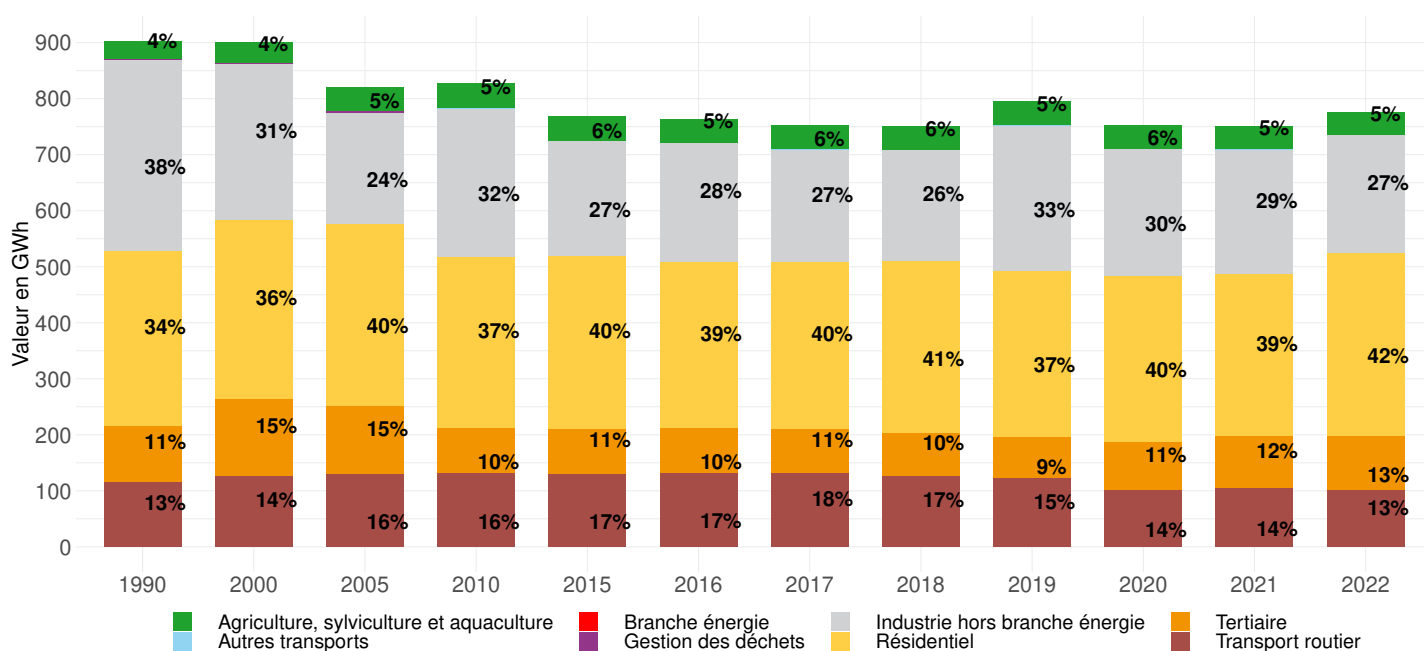
Dynamiques d'évolution

Par rapport à l'année précédente	3%
Depuis 2015	1%
Depuis 2005	-5%
Depuis 1990	-14%

Évolution de la part de chaque énergie dans la consommation d'énergie finale

En raison de données confidentielles sur votre territoire, ces éléments ne sont pas diffusables.

Évolution de la part de chaque secteur dans la consommation d'énergie finale



Consommation d'énergie finale par secteur et par énergie (en GWh)

	Chauffage et froid urbain	CMS	Déchets	Electricité	ENRt	Gaz	Organo-carburants	PP	Toutes énergies
Résidentiel	2	0	0	86	136	30	0	72	326
Tertiaire	5	0	0	40	1	41	0	11	98
Industrie hors branche énergie	0	0	0	88	54	37	0	30	210
Gestion des déchets	0	0	0	1	0	0	0	0	1
Branche énergie	0	0	0	0	0	0	0	0	0
Transport routier	0	0	0	0	0	0	9	92	101
Autres transports	0	0	0	0	0	0	0	0	0
Agriculture, sylviculture et aquaculture	0	0	0	7	0	0	3	30	41
Tous secteurs	8	0	0	222	192	108	12	235	777

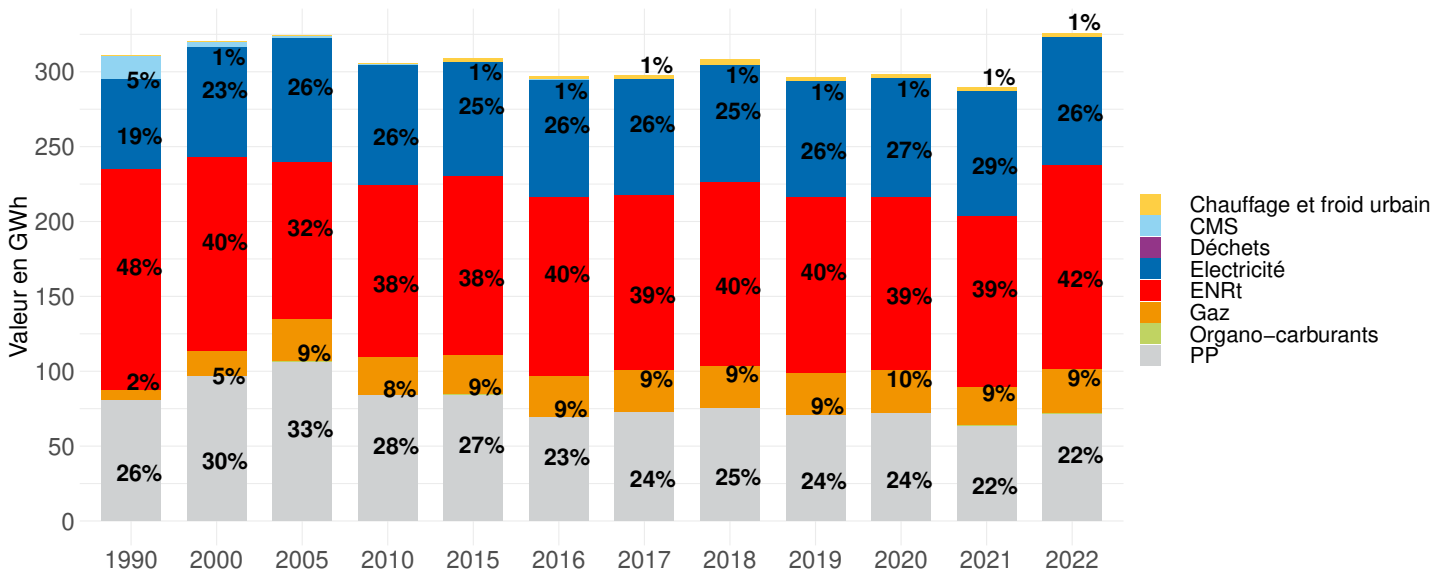
1. Données 2022 : estimation prédictive ARIMA

CONSOMMATION D'ÉNERGIE FINALE DANS LE SECTEUR RÉSIDENTIEL (À CLIMAT NORMAL) ¹

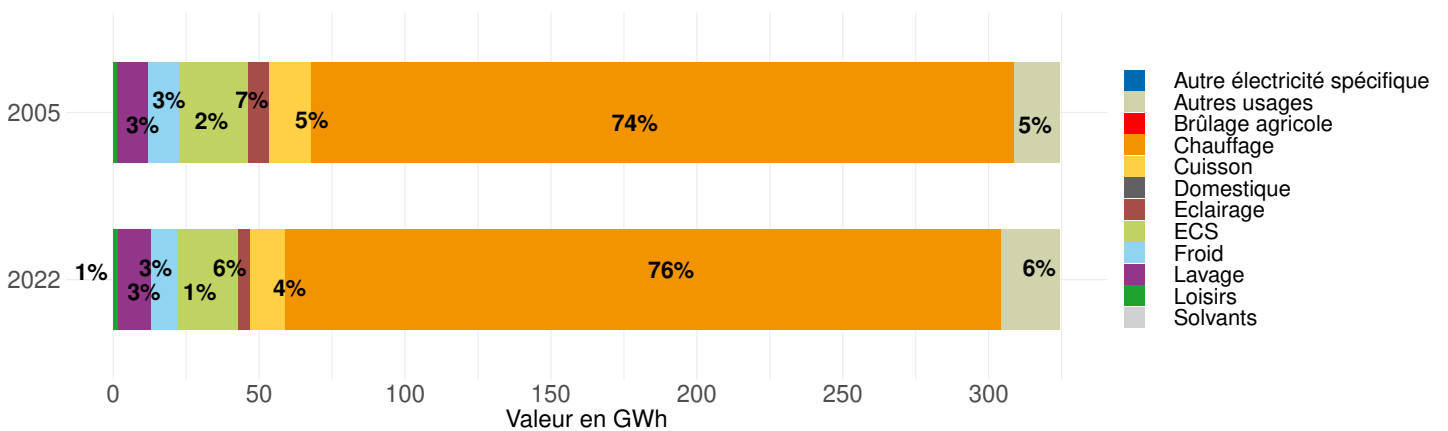
Dynamiques d'évolution

Par rapport à l'année précédente	13%
Depuis 2015	5%
Depuis 2005	0%
Depuis 1990	5%

Évolution de la part de chaque énergie dans la consommation du secteur



Évolution de la part de chaque usage dans la consommation du secteur



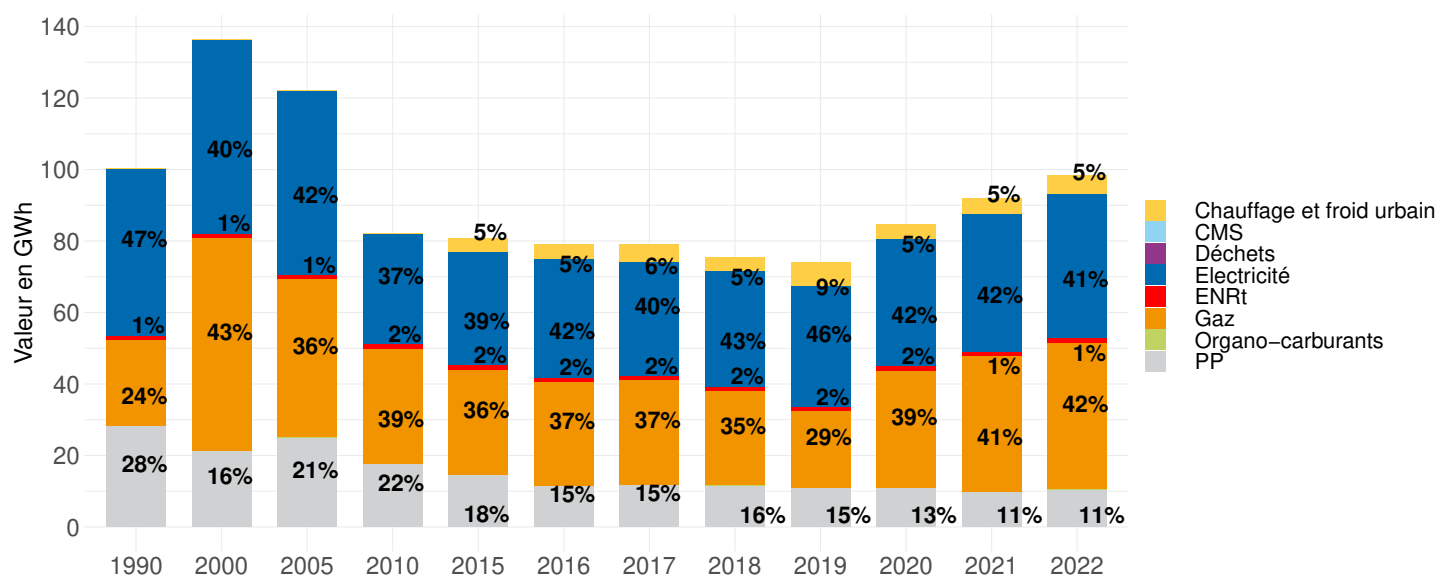
1. Données 2022 : estimation prédictive ARIMA

CONSOMMATION D'ÉNERGIE FINALE DANS LE SECTEUR TERTIAIRE (À CLIMAT NORMAL) ¹

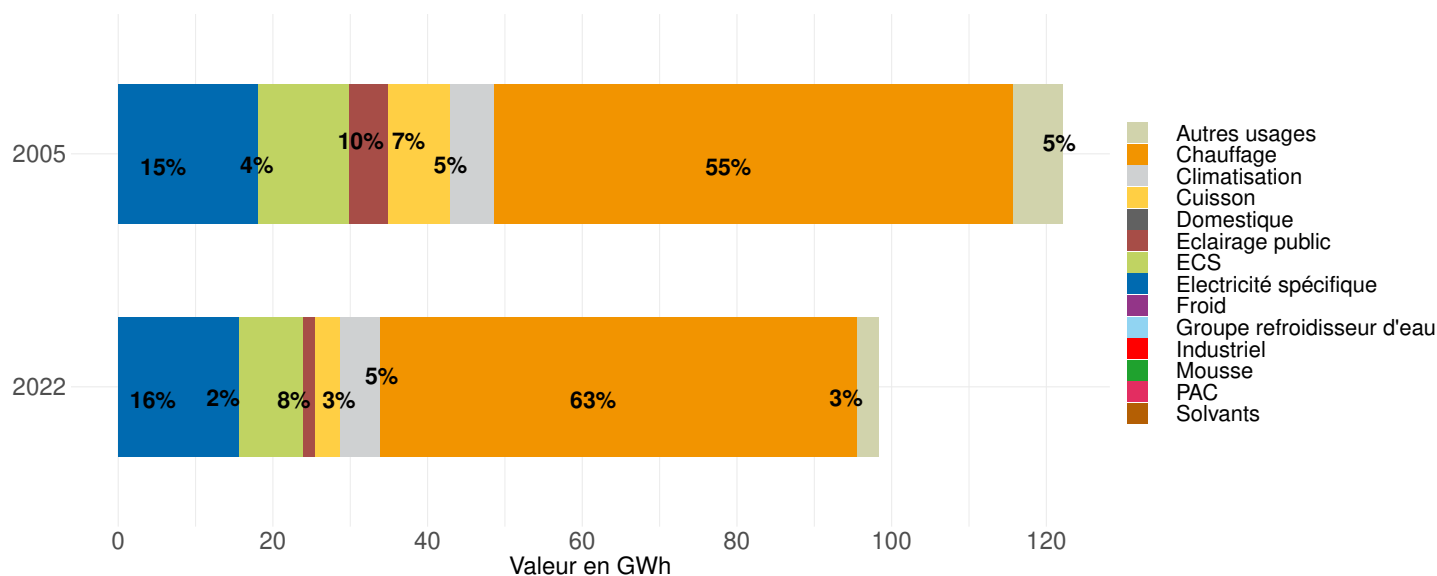
Dynamiques d'évolution

Par rapport à l'année précédente	7%
Depuis 2015	22%
Depuis 2005	-19%
Depuis 1990	-2%

Évolution de la part de chaque énergie dans la consommation du secteur



Évolution de la part de chaque usage dans la consommation du secteur



1. Données 2022 : estimation prédictive ARIMA

Dynamiques d'évolution

Par rapport à l'année précédente	-5%
Depuis 2015	3%
Depuis 2005	5%
Depuis 1990	-39%

Évolution de la part de chaque énergie dans la consommation du secteur

En raison de données confidentielles sur votre territoire, ces éléments ne sont pas diffusables.

Évolution de la part de chaque usage dans la consommation du secteur

À l'heure actuelle, les données disponibles pour ce secteur ne permettent pas une analyse par usage.

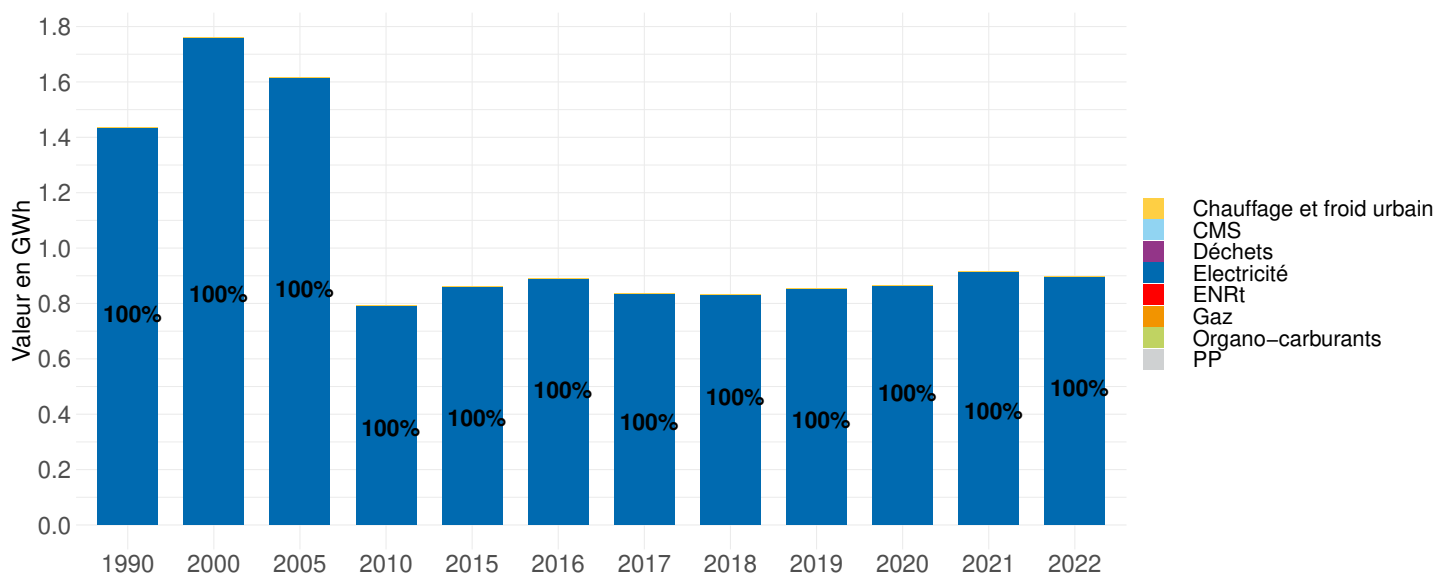
1. Données 2022 : estimation prédictive ARIMA

CONSOMMATION D'ÉNERGIE FINALE DANS LE SECTEUR GESTION DES DÉCHETS (À CLIMAT NORMAL) ¹

Dynamiques d'évolution

Par rapport à l'année précédente	-2%
Depuis 2015	4%
Depuis 2005	-44%
Depuis 1990	-37%

Évolution de la part de chaque énergie dans la consommation du secteur



Évolution de la part de chaque usage dans la consommation du secteur

A l'heure actuelle, les données disponibles pour ce secteur ne permettent pas une analyse par usage.

1. Données 2022 : estimation prédictive ARIMA

Dynamiques d'évolution

Nous n'avons pas identifié de données dans ce secteur sur ce territoire.

Évolution de la part de chaque énergie dans la consommation du secteur

Nous n'avons pas identifié de données dans ce secteur sur ce territoire.

Évolution de la part de chaque usage dans la consommation du secteur

A l'heure actuelle, les données disponibles pour ce secteur ne permettent pas une analyse par usage.

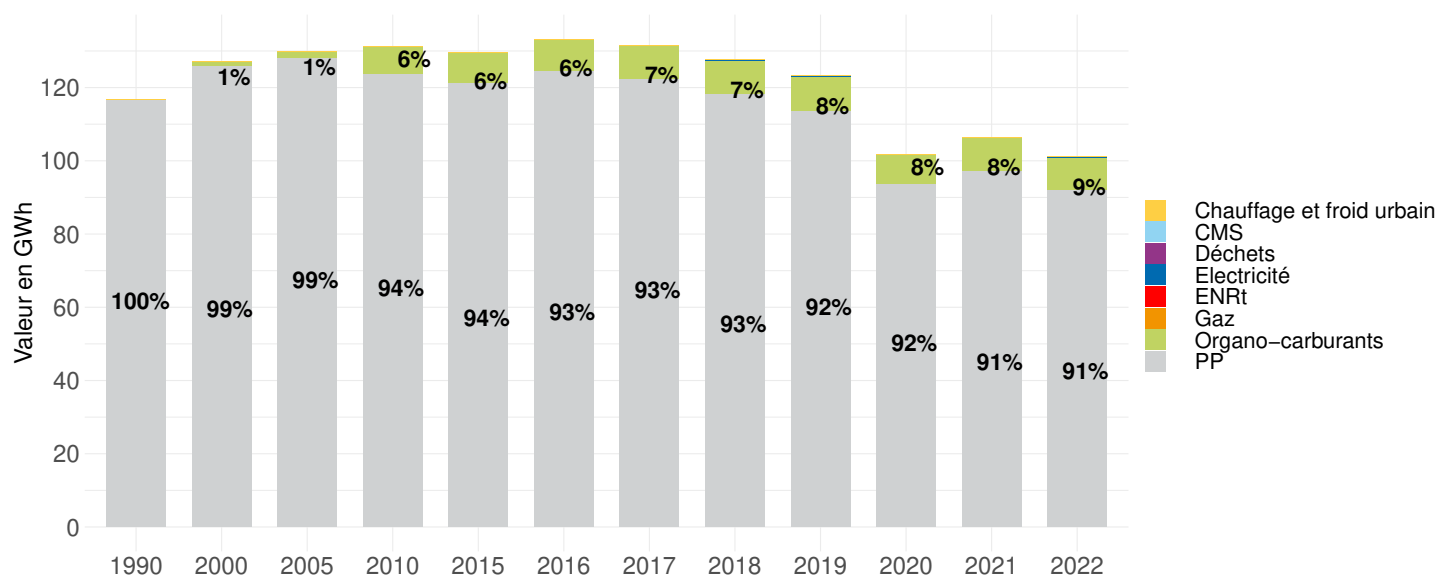
1. Données 2022 : estimation prédictive ARIMA

CONSOMMATION D'ÉNERGIE FINALE DANS LE SECTEUR TRANSPORT ROUTIER (À CLIMAT NORMAL) ¹

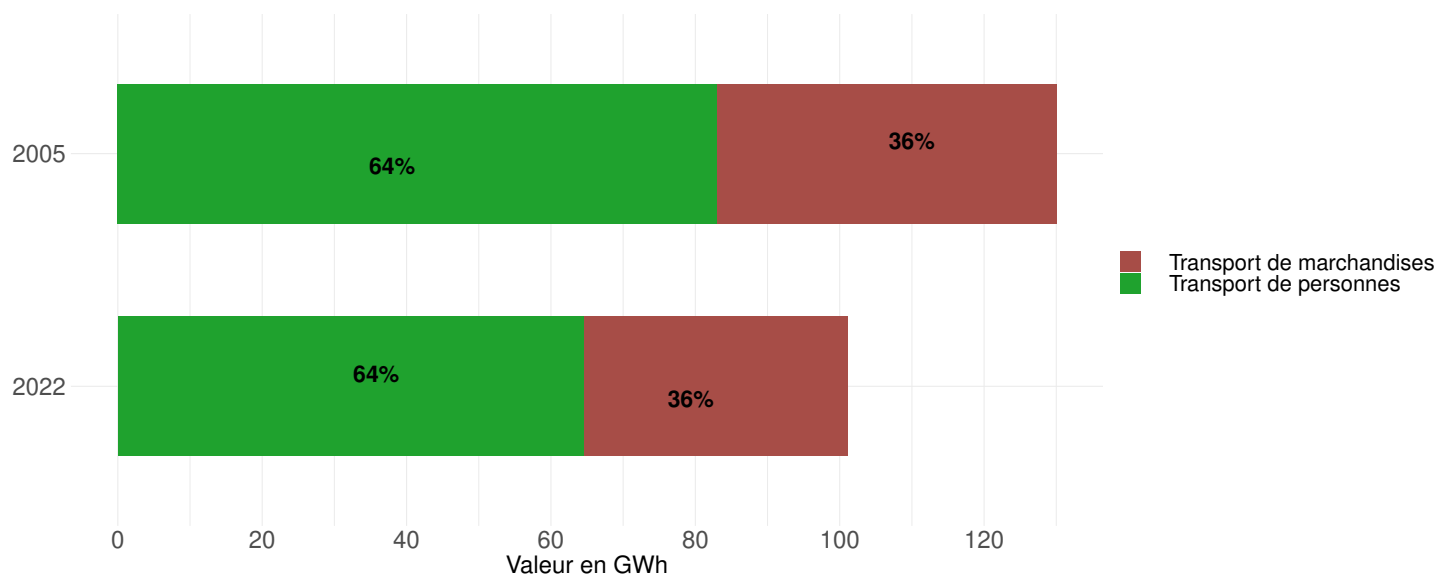
Dynamiques d'évolution

Par rapport à l'année précédente	-5%
Depuis 2015	-22%
Depuis 2005	-22%
Depuis 1990	-13%

Évolution de la part de chaque énergie dans la consommation du secteur



Évolution de la part de chaque usage dans la consommation du secteur



1. Données 2022 : estimation prédictive ARIMA

Dynamiques d'évolution

Nous n'avons pas identifié de données dans ce secteur sur ce territoire.

Évolution de la part de chaque énergie dans la consommation du secteur

Nous n'avons pas identifié de données dans ce secteur sur ce territoire.

Évolution de la part de chaque usage dans la consommation du secteur

Nous n'avons pas identifié de données dans ce secteur sur ce territoire.

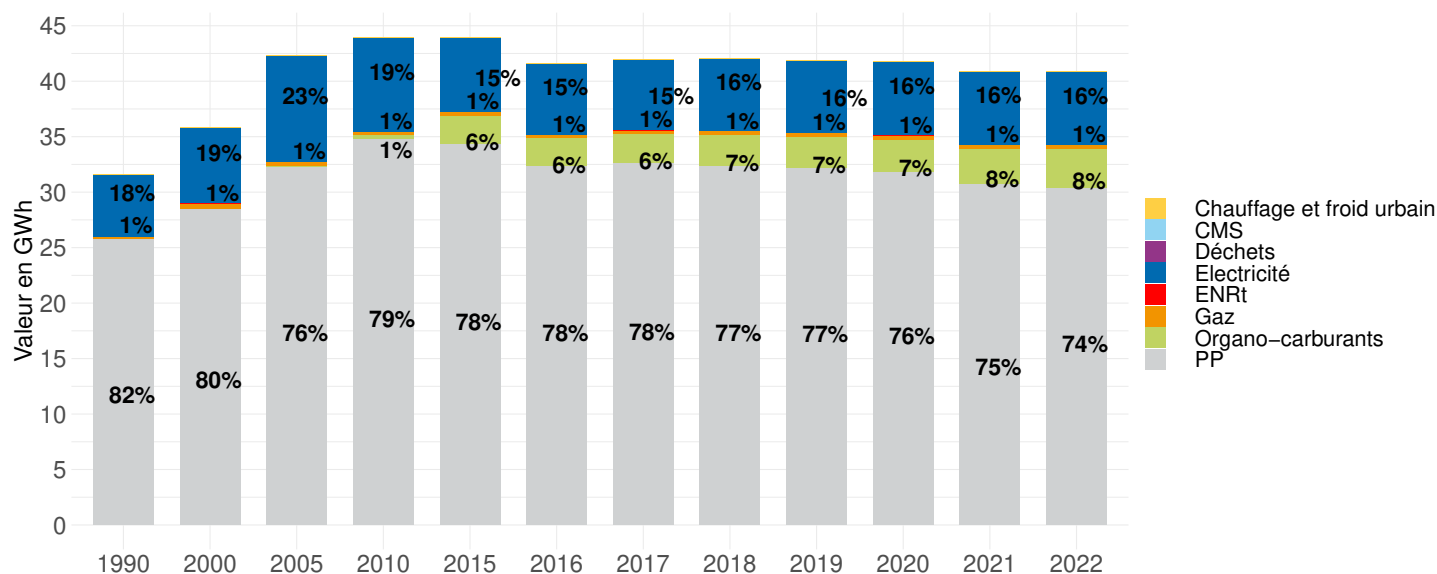
1. Données 2022 : estimation prédictive ARIMA

CONSOMMATION D'ÉNERGIE FINALE DANS LE SECTEUR AGRICULTURE, SYLVICULTURE ET AQUACULTURE (À CLIMAT NORMAL) ¹

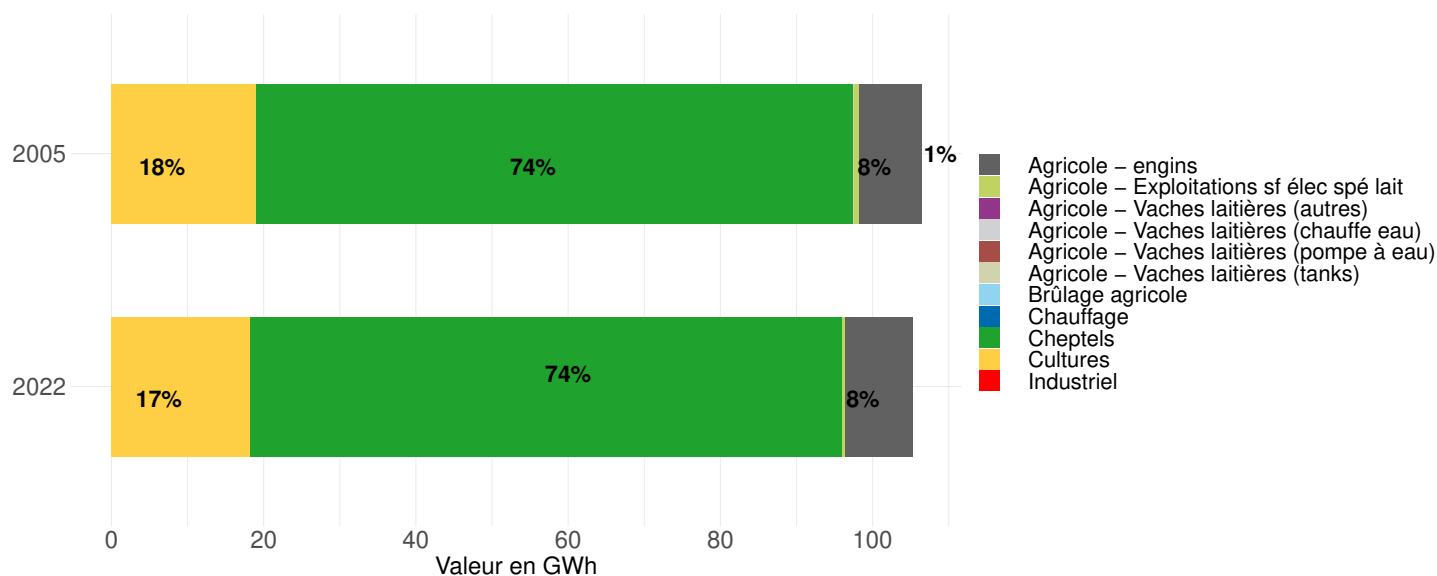
Dynamiques d'évolution

Par rapport à l'année précédente	0%
Depuis 2015	-7%
Depuis 2005	-3%
Depuis 1990	30%

Évolution de la part de chaque énergie dans la consommation du secteur

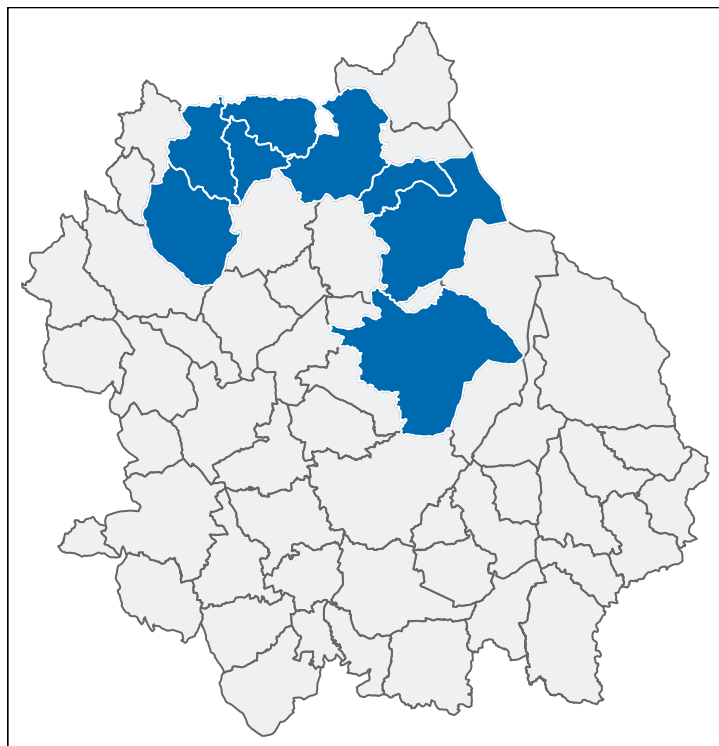


Évolution de la part de chaque usage dans la consommation du secteur



1. Données 2022 : estimation prédictive ARIMA

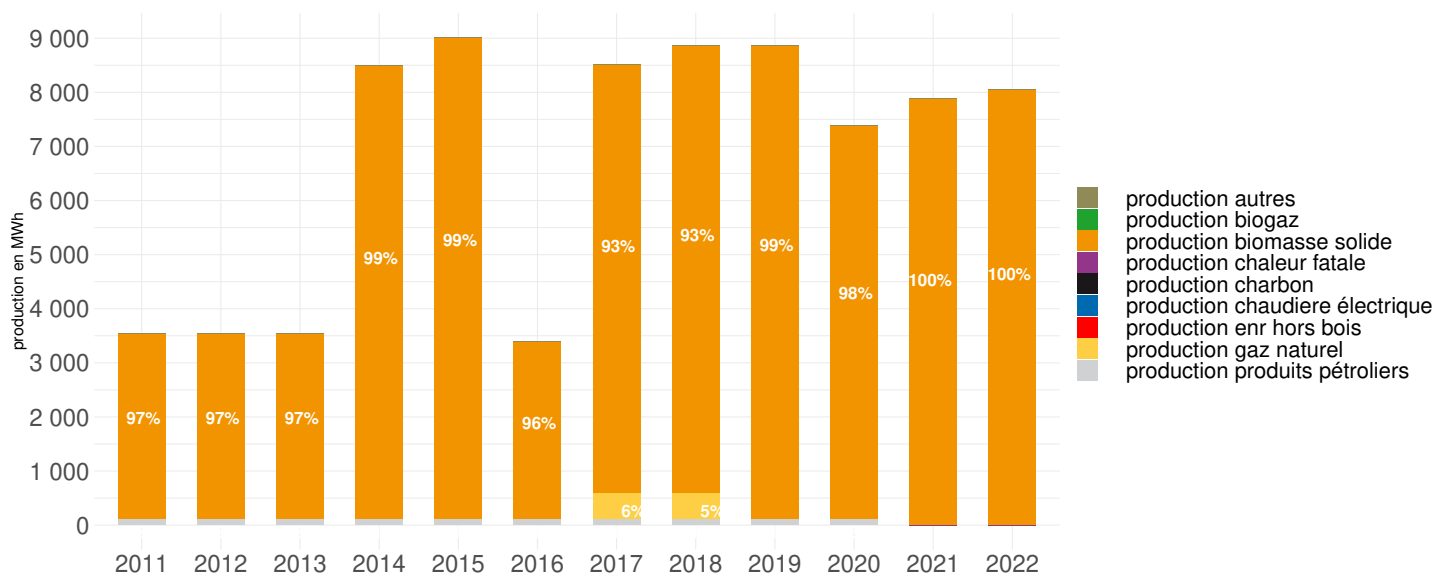
RÉSEAUX DE DISTRIBUTION ET DE TRANSPORT D'ÉNERGIE



Les communes desservies par le gaz apparaissent en bleu sur le graphique.

1. Données 2023. Sources : [Portail Open Data GRD](#)

Mix énergétique territorial

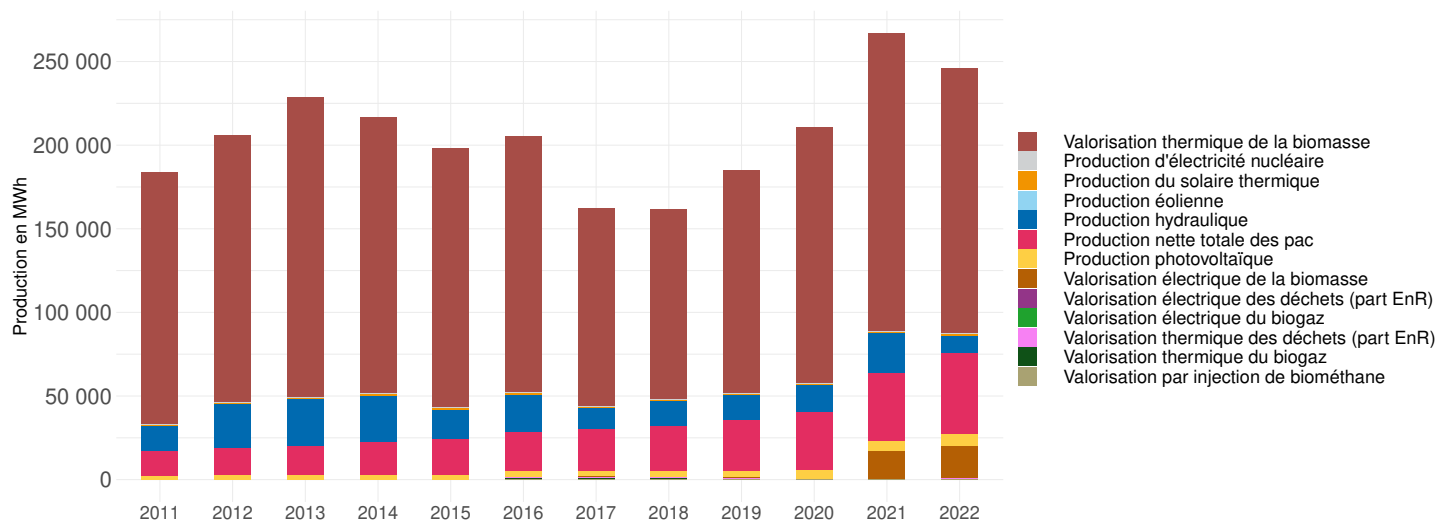


Détail des réseaux de chaleur sur le territoire

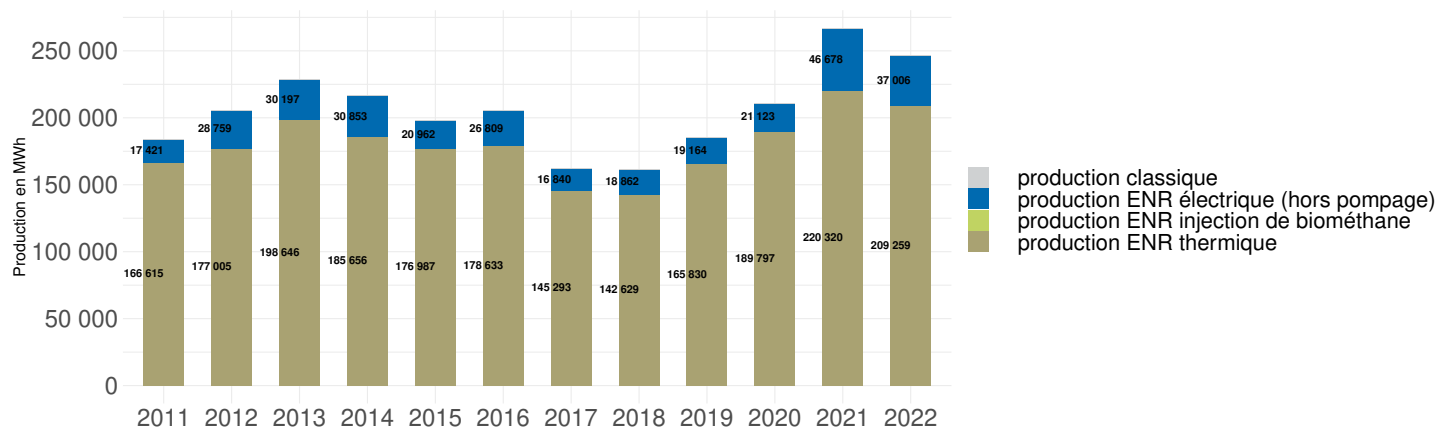
Nom du réseau	niveau de rejet en CO2 des réseaux (teqCO2/kWh)	Densité (MWh/km linéaire)	longueur réseau (Km)
CORAL	0	1665.66	2.35
Réseau de chaleur du Brugeron	0	1610	0.3
Réseau de chaleur de St-Germain-l'Herm	0	2461.02	1.49

PRODUCTION D'ÉNERGIE (DONNÉES 2022)

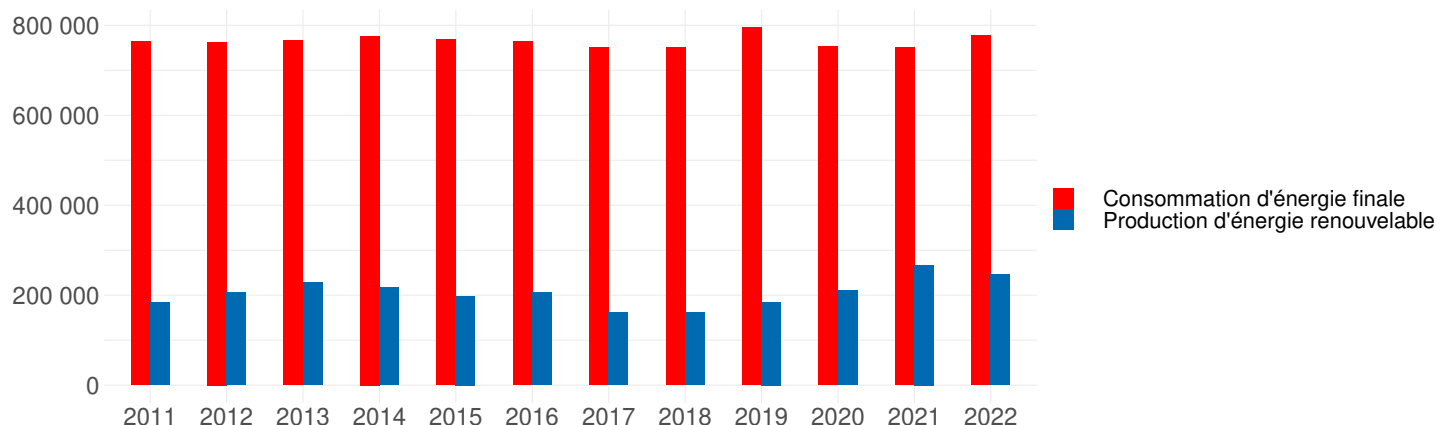
Évolution de la production d'énergie sur le territoire (en MWh)



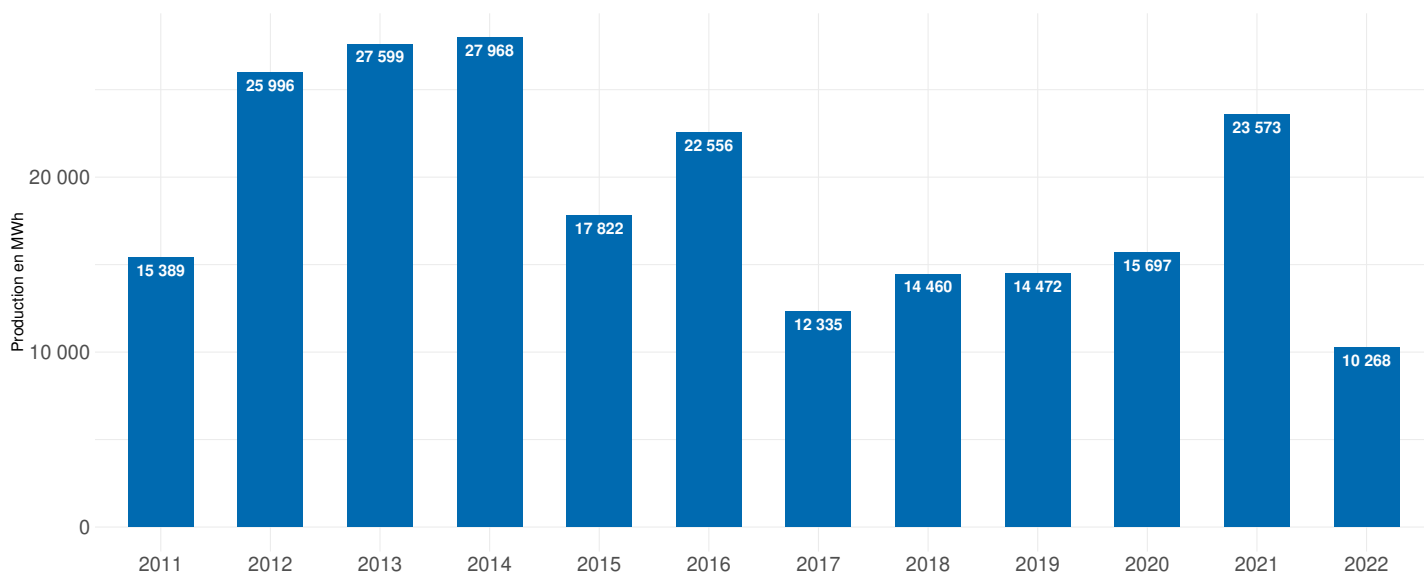
Répartition de la production d'énergie sur le territoire par type (en MWh)



Évolution comparée de la consommation d'énergie finale et de la production d'énergie renouvelable locale (en MWh)



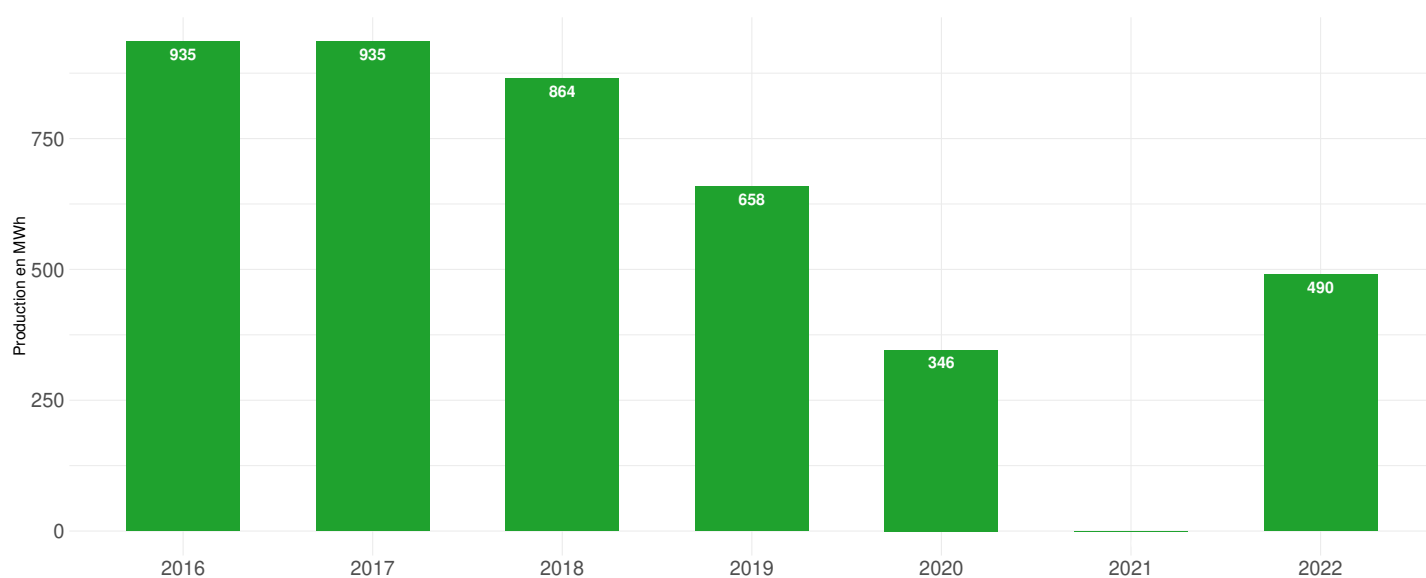
Production estimée (en MWh)



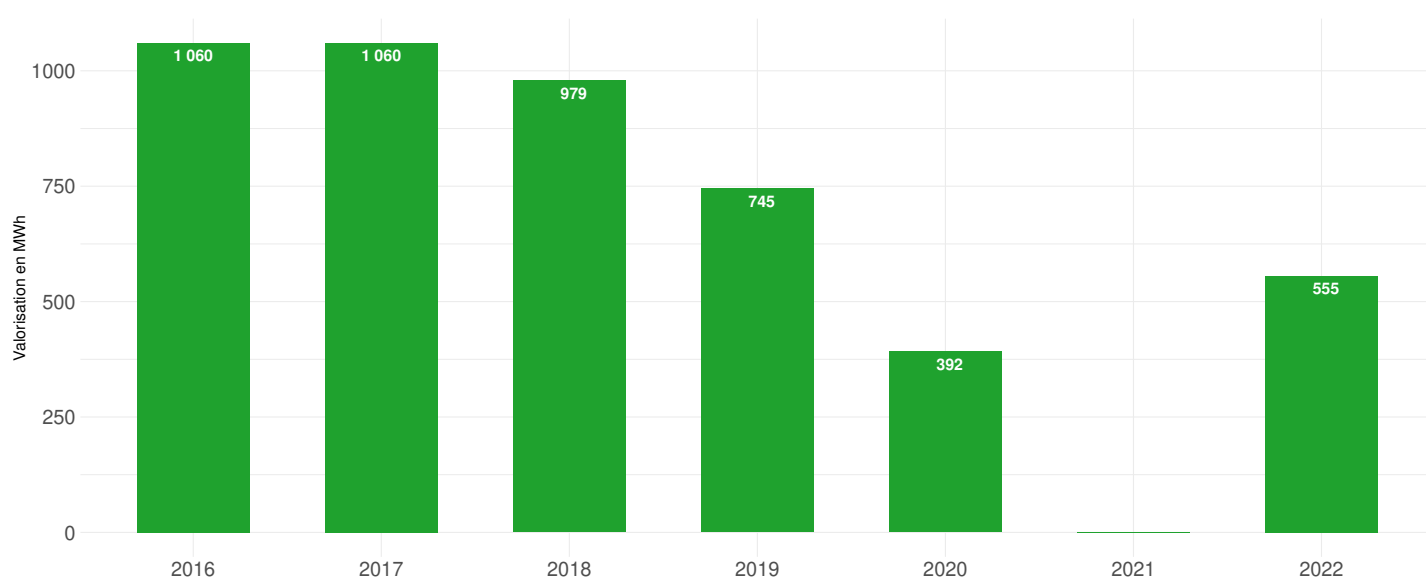
Installations hydroélectriques

indicateur	2011	2012	2013	2014	2015	2016	2017	2018	2019	2020	2021	2022
nombre installations <4.5 MW	12	12	12	13	13	13	13	15	15	15	15	15
nombre installations >4.5 MW	0	0	0	0	0	0	0	0	0	0	0	0
nombre installations pompages	0	0	0	0	0	0	0	0	0	0	0	0
production hydro <4.5 MW en MWh	15389	25996	27599	27968	17822	22556	12335	14460	14472	15697	23573	10268
production hydro >4.5 MW en MWh	0	0	0	0	0	0	0	0	0	0	0	0
production pompage en MWh	0	0	0	0	0	0	0	0	0	0	0	0
production totale (dont pompages) en MWh	15389	25996	27599	27968	17822	22556	12335	14460	14472	15697	23573	10268
production totale (hors pompages) en MWh	15389	25996	27599	27968	17822	22556	12335	14460	14472	15697	23573	10268
puissance hydro <4.5 MW	8	8	8	8	8	8	8	8	8	8	8	8
puissance hydro >4.5 MW	0	0	0	0	0	0	0	0	0	0	0	0
puissance pompages en MW	0	0	0	0	0	0	0	0	0	0	0	0
puissance totale en MW	8	8	8	8	8	8	8	8	8	8	8	8

Production électrique estimée (en MWh)



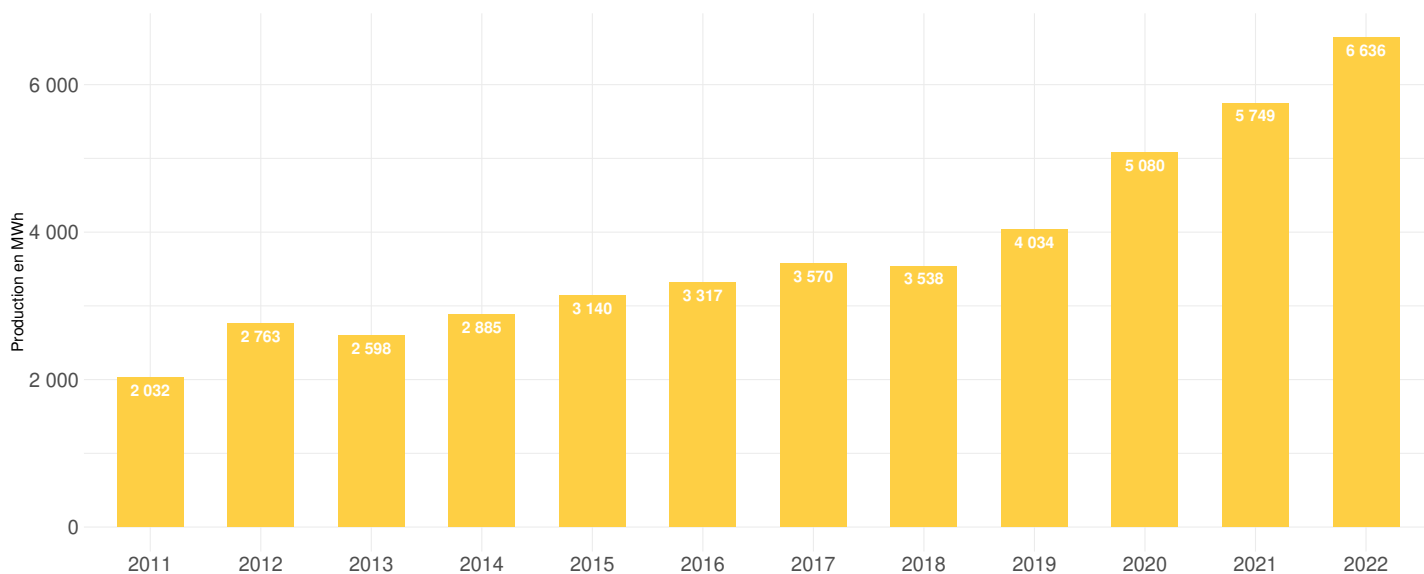
Valorisation thermique estimée (en MWh)



Installations de valorisation énergétique du biogaz

indicateur	2011	2012	2013	2014	2015	2016	2017	2018	2019	2020	2021	2022
nombre unités de valorisation biogaz	0	0	0	0	0	1	1	1	1	1	1	1
valorisation électrique en MWh	0	0	0	0	0	935	935	864	658	346	0	490
valorisation par injection de biométhane en MWh	0	0	0	0	0	0	0	0	0	0	0	0
valorisation thermique en MWh	0	0	0	0	0	1060	1060	979	745	392	0	555
valorisation totale en MWh	0	0	0	0	0	1995	1995	1842	1403	738	0	1045

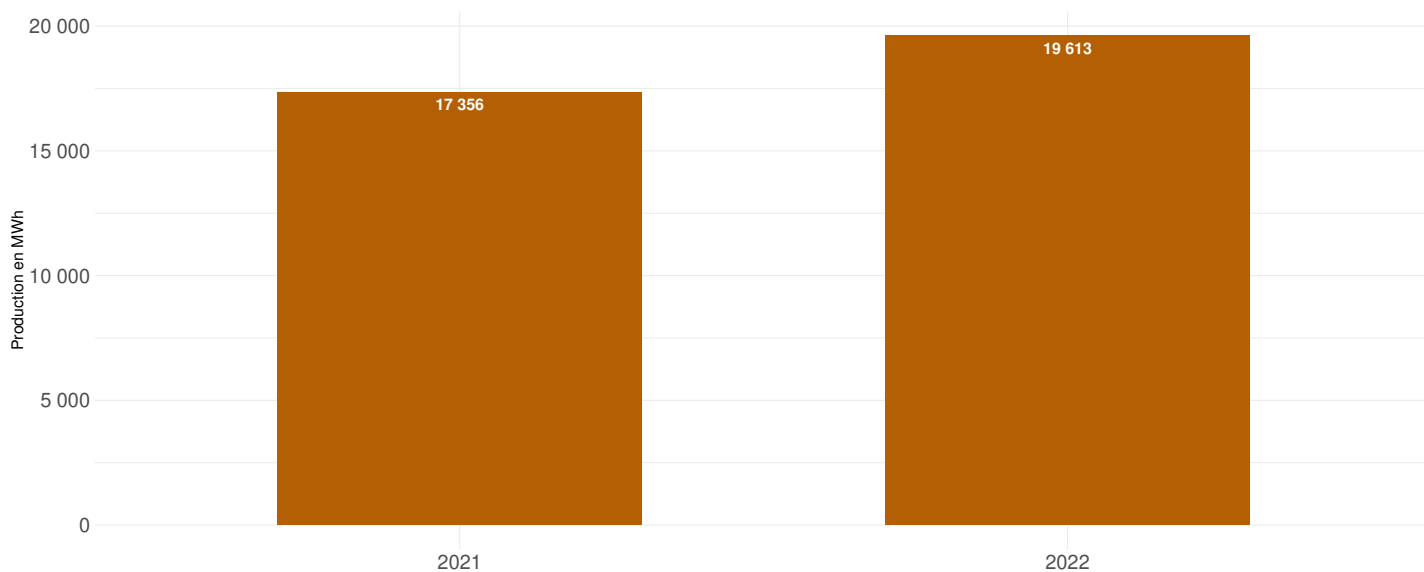
Production estimée (MWh)



Installations photovoltaïques

indicateur	2011	2012	2013	2014	2015	2016	2017	2018	2019	2020	2021	2022
nombre installations BT <36 kVA	254	256	255	260	268	275	290	306	332	390	442	520
nombre installations BT >36 kVA	6	8	8	8	8	8	9	10	13	20	23	28
nombre installations de niveau de tension non identifié	0	0	0	0	0	0	0	0	0	0	0	0
nombre installations HT	1	1	1	1	1	1	1	1	1	3	3	3
nombre d'installations totales	352	350	349	349	356	360	356	377	398	462	516	583
production BT <36 en MWh	1423	1366	1453	1686	1835	1958	2120	2041	2172	2329	2276	2693
production BT >36 en MWh	418	923	785	767	889	997	1068	1121	1472	2067	2502	3396
production des installations de niveau de tension non identifié en MWh	0	0	0	0	0	0	0	0	0	0	0	0
production totale en MWh	2032	2763	2598	2885	3140	3317	3570	3538	4034	5080	5749	6636
production HT en MWh	64	354	240	379	368	362	381	376	390	684	969	545
puissance totale en MW	3	3	3	3	3	3	3	3	4	5	6	6
puissance BT <36 kVA en MW	2	2	2	2	2	2	2	2	2	2	2	3
puissance BT >36 kVA en MW	1	1	1	1	1	1	1	1	1	2	2	3
puissance des installations de niveau de tension non identifié en MW	0	0	0	0	0	0	0	0	0	0	0	0
puissance HT en MW	0	0	0	0	0	0	0	0	0	1	1	1

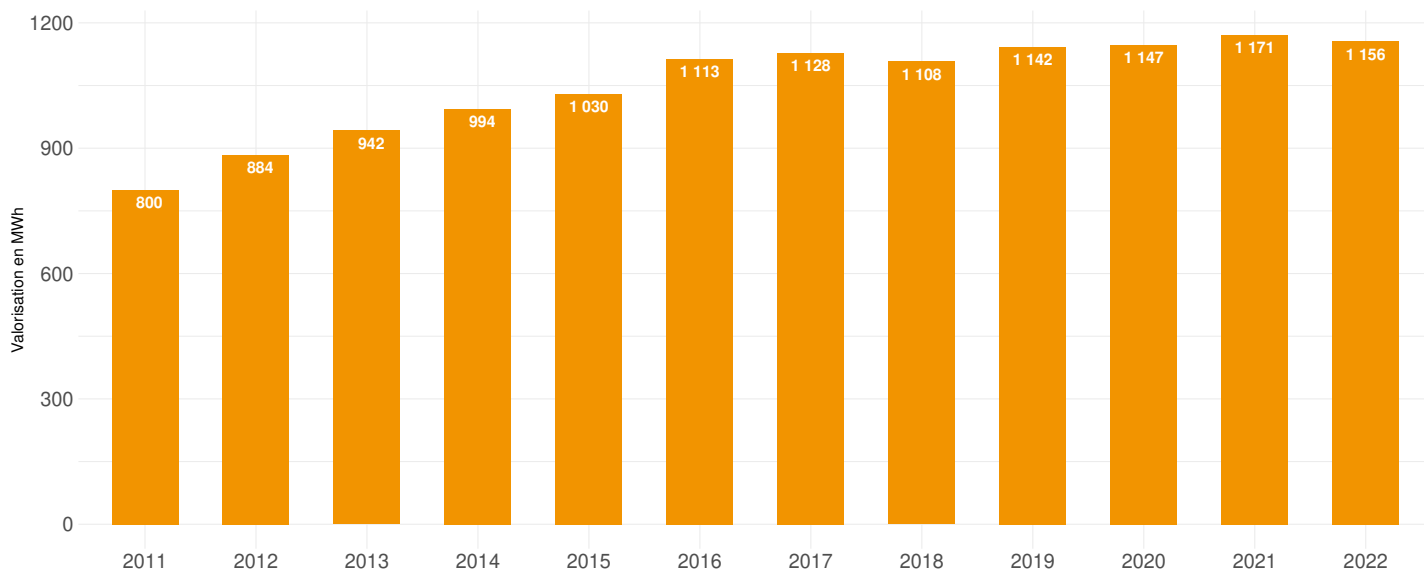
Valorisation estimée (MWh)



Autres installations de valorisation électrique d'origine renouvelable

indicateur	2011	2012	2013	2014	2015	2016	2017	2018	2019	2020	2021	2022
nombre de centrales cogé biomasse	0	0	0	0	0	0	0	0	0	0	1	1
valorisation électrique en MWh	0	0	0	0	0	0	0	0	0	0	17356	19613
puissance électrique en MW	0	0	0	0	0	0	0	0	0	0	3	3

Production estimée (MWh)

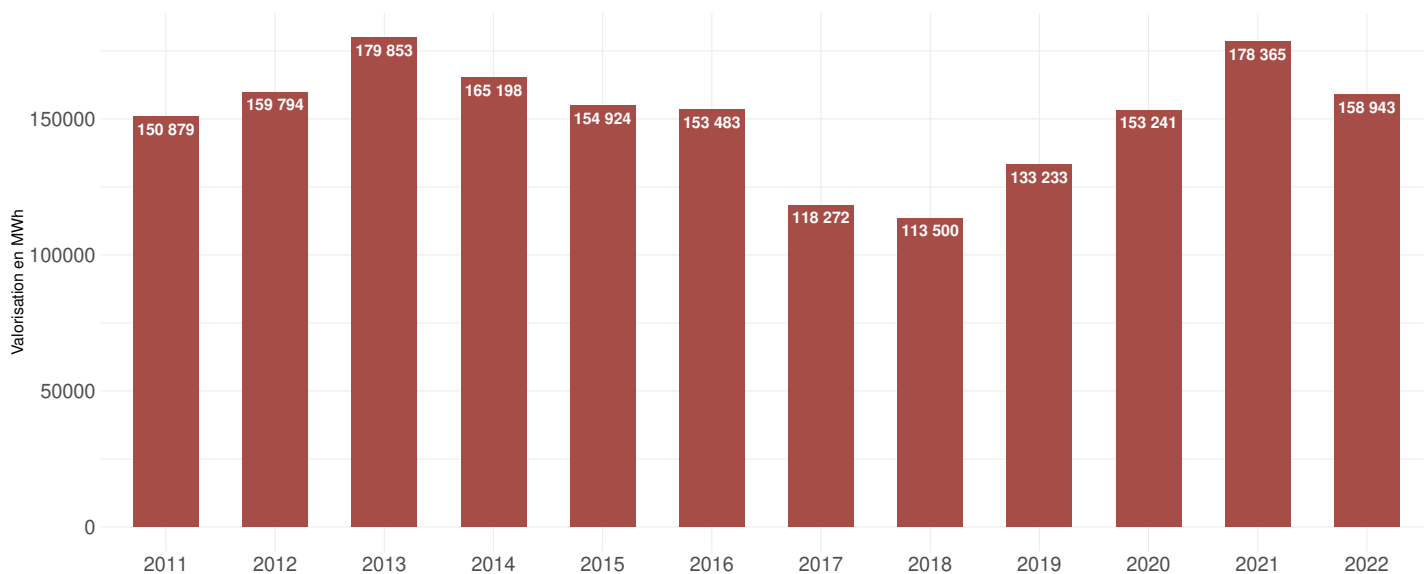


Installations solaire thermique

indicateur	2011	2012	2013	2014	2015	2016	2017	2018	2019	2020	2021	2022
valorisation thermique en MWh	800	884	942	994	1030	1113	1128	1108	1142	1147	1171	1156
surface capteurs en m ²	1609	1761	1872	1965	2032	2188	2223	2197	2222	2222	2232	2244

PRODUCTION DE CHALEUR RENOUVELABLE - BOIS ÉNERGIE ET AUTRES BIOMASSES SOLIDES

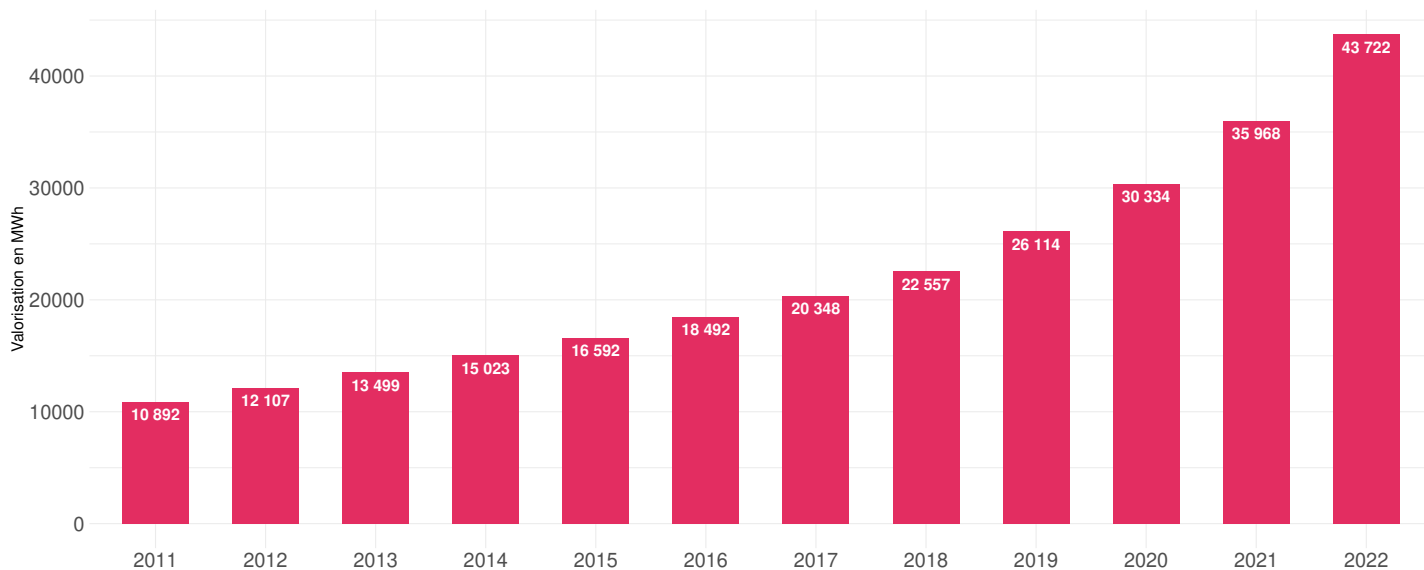
Production estimée (MWh)



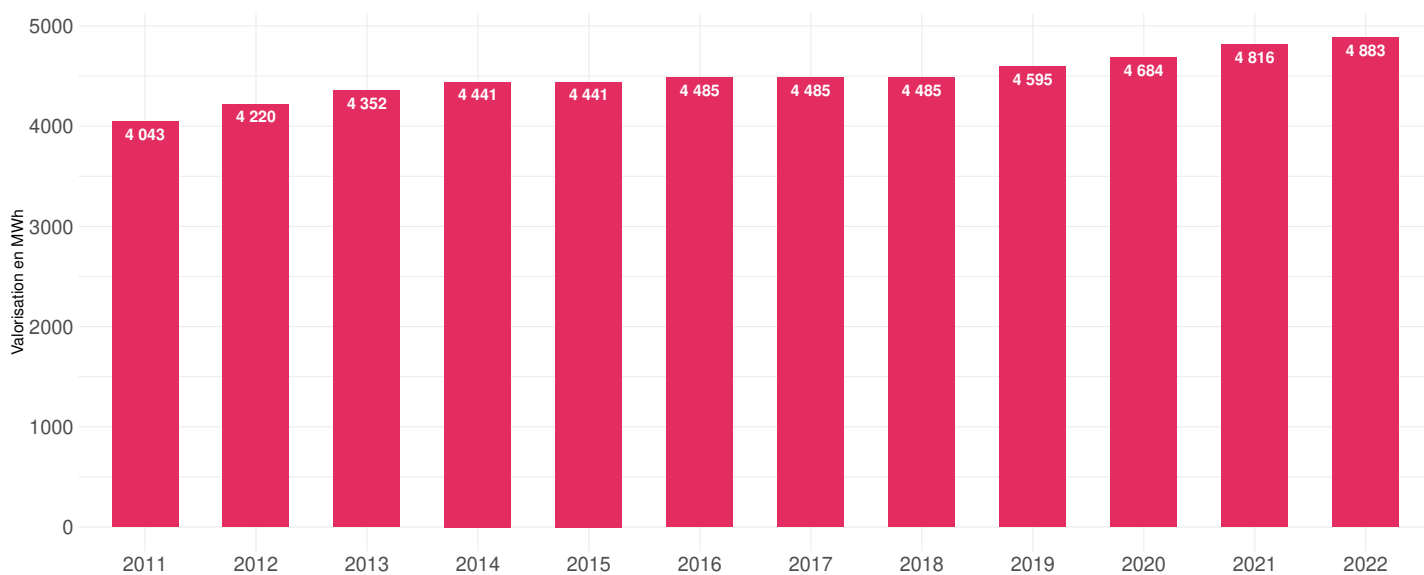
Installations bois énergie

indicateur	2011	2012	2013	2014	2015	2016	2017	2018	2019	2020	2021	2022
valorisation thermique en MWh	150879	159794	179853	165198	154924	153483	118272	113500	133233	153241	178365	158943

Production estimée des PAC aérothermiques (MWh)



Production estimée des PAC géothermiques (MWh)



Installations PAC

indicateur	2011	2012	2013	2014	2015	2016	2017	2018	2019	2020	2021	2022
nombre de PAC totales	676	739	808	881	952	1040	1124	1224	1390	1585	1846	2200
nombre de PAC aérothermiques	493	548	611	680	751	837	921	1021	1182	1373	1628	1979
nombre de PAC géothermiques	183	191	197	201	201	203	203	203	208	212	218	221
production nette des PAC aérothermiques	10892	12107	13499	15023	16592	18492	20348	22557	26114	30334	35968	43722
production nette des PAC géothermiques	4043	4220	4352	4441	4441	4485	4485	4485	4595	4684	4816	4883
production nette des PAC totales	14935	16327	17851	19464	21033	22977	24833	27042	30710	35018	40784	48605

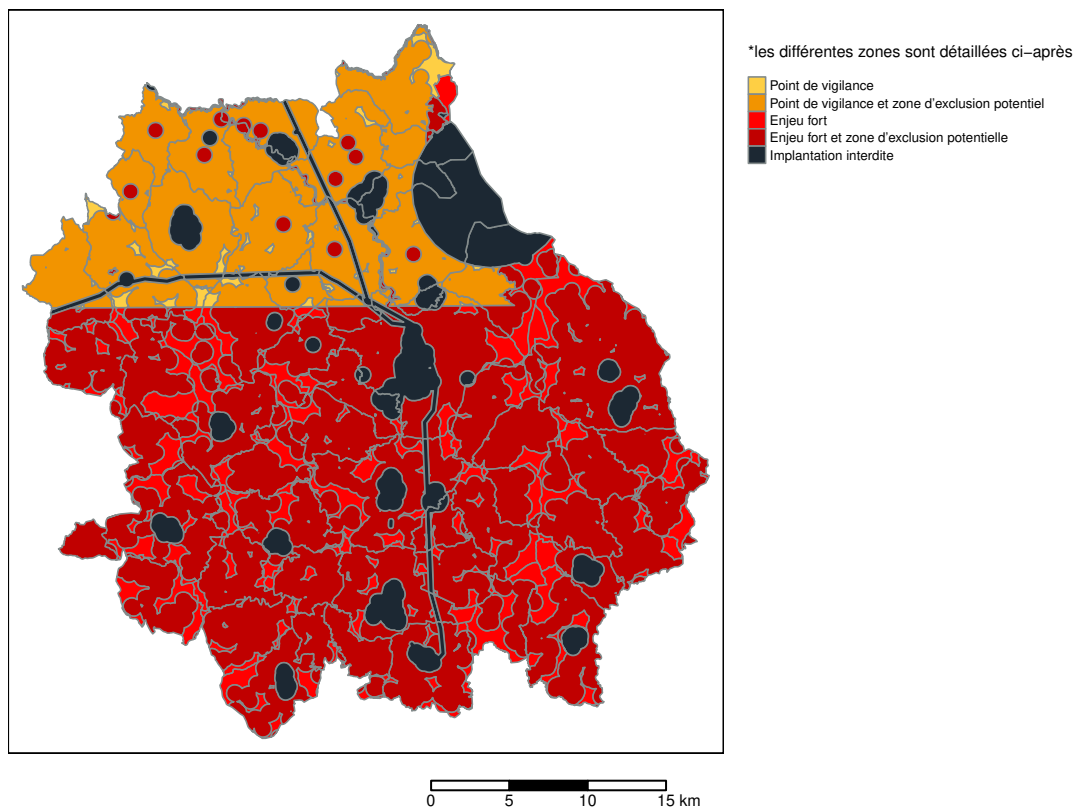
POTENTIELS DE PRODUCTION ENR

Il s'agit des zones favorables au développement de l'éolien. Ces zones sont identifiées en croisant des contraintes sur différentes thématiques : « Patrimoine culturel et historique », « Patrimoine naturel », « Servitudes et contraintes aériennes et terrestres » et « Infrastructures ».

A noter :

- ce travail n'a pas de valeur juridique ni réglementaire. Il s'agit d'une estimation automatique d'un gisement éolien prenant en compte les contraintes réglementaires et environnementales. Les éléments de cette estimation ne sont pas opposables à une éventuelle procédure d'autorisation d'un parc éolien ;
- la méthodologie ne tient pas compte des installations existantes : des zones considérées comme favorables à l'éolien peuvent déjà être occupées par des éoliennes ;
- ce travail couvre les systèmes de production d'électricité du « grand éolien », le « petit éolien » n'étant pas abordé ici.

Zones favorables au développement de l'éolien sur le territoire



Détail des différentes zones :

- **Pas de contraintes** : zones favorables au développement de l'éolien sans aucune contrainte particulière ;
- **Zone d'exclusion potentielle** : zones favorables au développement de l'éolien mais présentant une zone d'exclusion potentielle du fait de la présence de contraintes de voisinage ;
- **Point de vigilance** : zones favorables au développement de l'éolien mais présentant au moins un point de vigilance ;
- **Point de vigilance et zone d'exclusion potentielle** : zones favorables au développement de l'éolien mais présentant au moins un point de vigilance et une zone d'exclusion potentielle du fait de la présence de contraintes de voisinage ;
- **Enjeu fort** : zones favorables au développement de l'éolien mais présentant au moins un enjeu fort qui pourrait potentiellement empêcher l'implantation ;
- **Enjeu fort et zone d'exclusion potentielle** : zones favorables au développement de l'éolien mais présentant au moins un enjeu fort qui pourrait potentiellement empêcher l'implantation et une zone d'exclusion potentielle du fait de la présence de contraintes de voisinage ;
- **Implantation interdite** : zones d'exclusion où l'implantation d'éolienne est interdite par la réglementation.

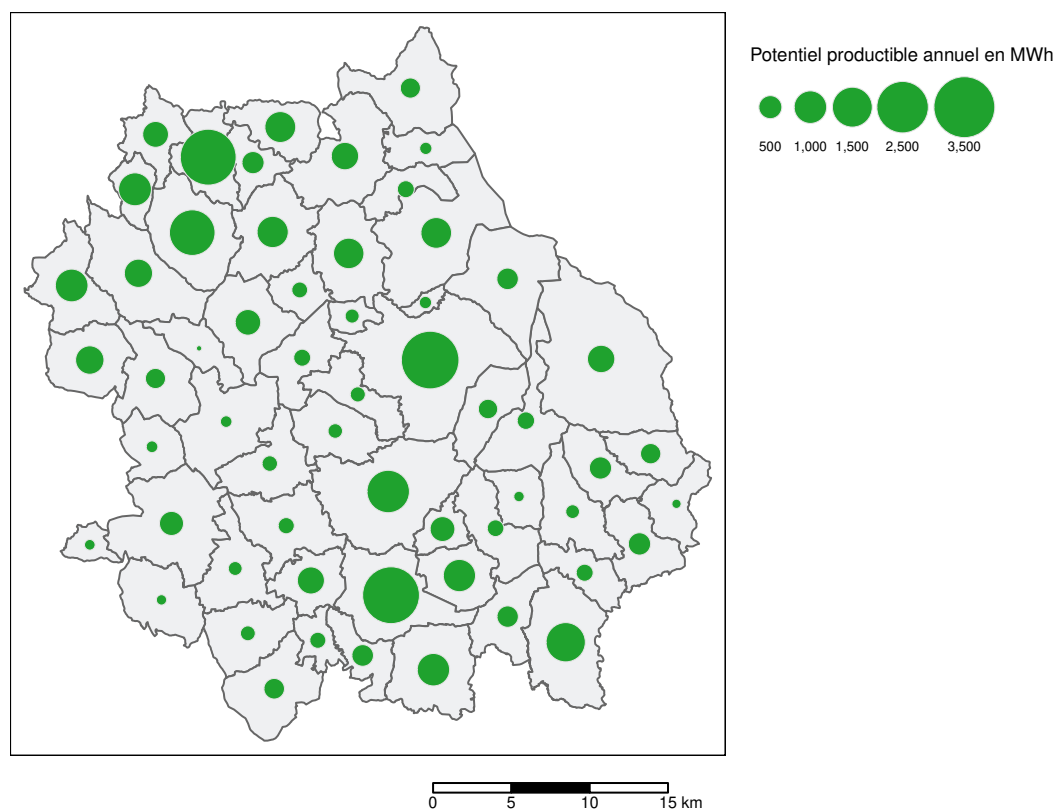
Il s'agit du potentiel annuel de méthanisation des différents gisements présents sur le territoire. Dans un premier temps, les quantités de matières sont déterminées par filière. Les gisements méthanisables déjà exploités par les installations de méthanisation sont ensuite retranchés. La part mobilisable restante de ces différentes quantités de matières est ensuite estimée puis convertie en volume de méthane et en énergie (MWh).

A noter :

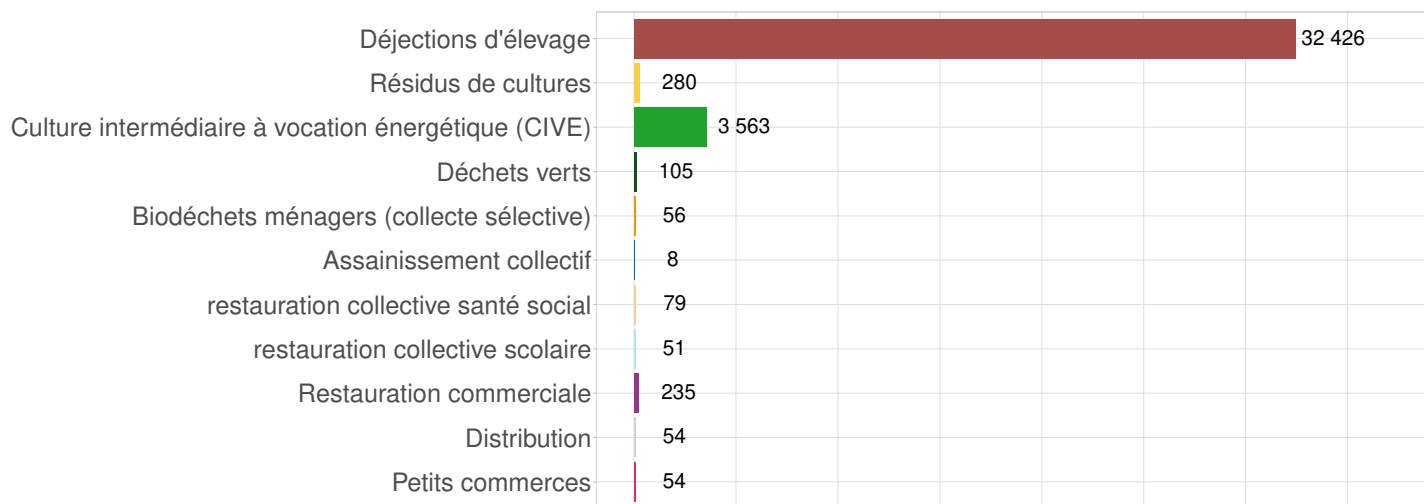
- le potentiel tient compte de la part des gisements déjà exploités par les installations de méthanisation existantes ;
- la région Auvergne-Rhône-Alpes étant importatrice de pailles de céréales (blé et orge), ce type de paille n'est pas comptabilisé dans le gisement méthanisable ;
- la restauration collective (établissements scolaires et de santé) n'est pas considérée du fait de la difficulté d'avoir des données à l'échelle communale. Toutefois, la restauration collective ouvre des perspectives intéressantes car la mise en place d'une récupération des déchets y est plus simple que pour la restauration commerciale ;
- les ratios de mobilisation utilisés pour les CIVE sont très faibles car basés sur des scénarios pessimistes.

Potentiel productible annuel total restant sur le territoire : **36 911 MWh**

Potentiel de méthanisation productible par commune en MWh¹



Potentiel de méthanisation en MWh sur le territoire par type d'intrants¹



1. Déduction faite des gisements déjà exploités sur le territoire

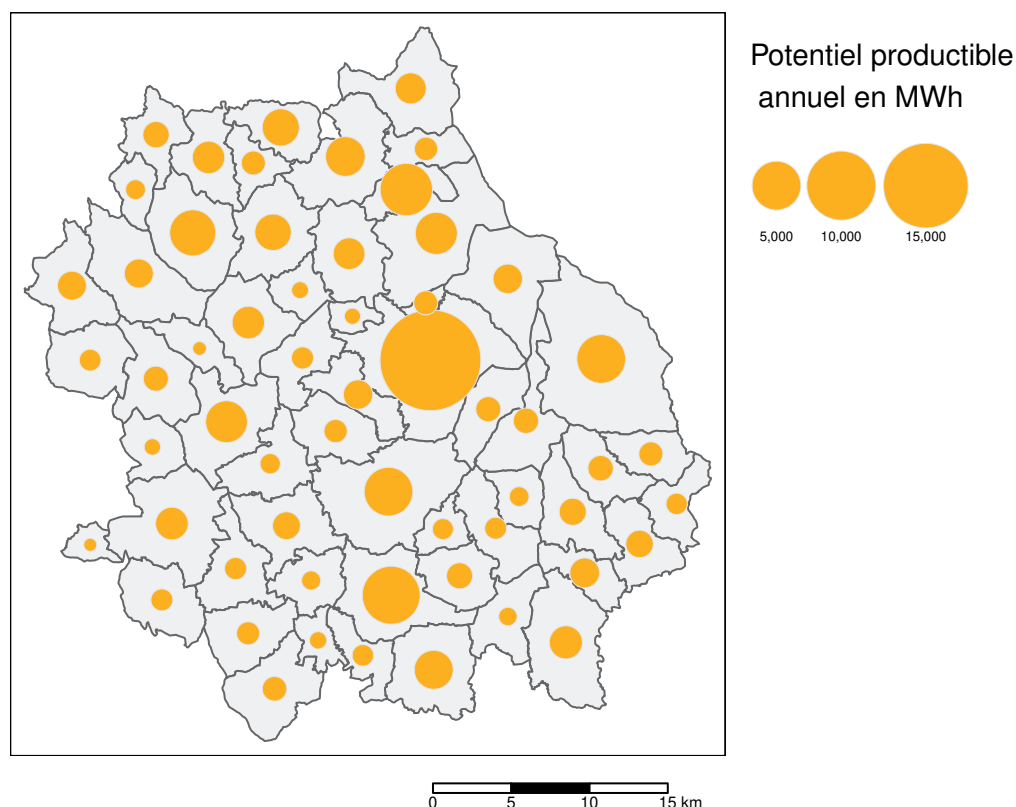
Il s'agit du potentiel de production annuelle de chaleur par l'installation de panneaux solaires thermiques dans les secteurs résidentiel et industrie. La méthodologie est fondée sur une approche par besoin en chaleur. Il est considéré ici que ces deux secteurs ont des besoins suffisamment importants pour qu'il soit intéressant de mettre en place des installations solaires thermiques. Les secteurs tertiaire et agriculture ne sont pas abordés ici. Sur la base de plusieurs hypothèses, le potentiel (productible annuel) de ces différents secteurs est calculé et exprimé à l'échelle communale. Pour le secteur résidentiel, l'hypothèse est faite que tous les bâtiments sont équipés de panneaux solaires thermiques. Pour le secteur industrie, on fait l'hypothèse d'un potentiel égal à 10% de la consommation énergétique de ce secteur.

A noter :

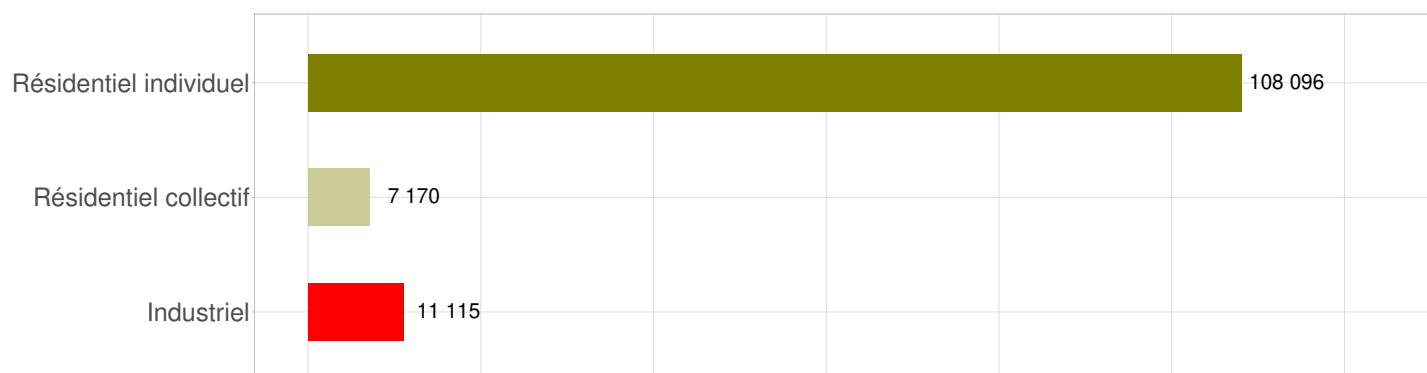
- les installations existantes sont prises en compte pour estimer le potentiel ;
- la concurrence entre le photovoltaïque et le solaire thermique n'est pas prise en compte ;
- l'alimentation de réseaux de chaleur par le solaire thermique n'est pas abordée ici ;
- pour l'industrie, le gisement de chaleur fatale disponible est difficile à estimer et interagit avec des besoins de chaleur très variables.

Potentiel productible annuel total restant sur le territoire : **126 381 MWh**

Potentiel solaire thermique productible par commune en MWh¹



Potentiel solaire thermique productible sur le territoire en MWh par secteur¹



1. Déduction faite de la production des installations déjà présentes sur le territoire

Il s'agit de l'estimation de la production photovoltaïque annuelle en considérant qu'un maximum de panneaux photovoltaïques est installé sur les bâtiments existants et les parkings (ombrières) du territoire.

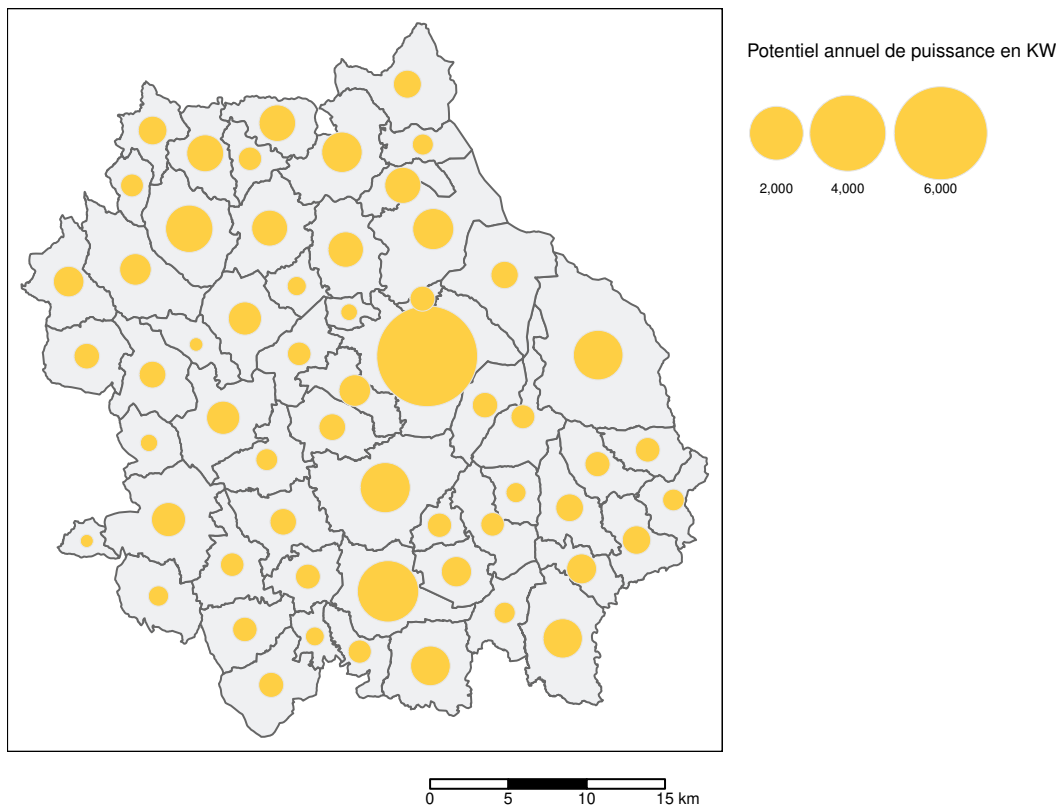
Dans un premier temps, les bâtiments et parkings favorables au développement du PV sont identifiés et caractérisés (type de toit, orientation, présence de contraintes patrimoniales). Les installations de panneaux ailleurs que sur des bâtiments et parkings (par exemple des champs ou des friches industrielles) ne sont pas considérées ici. Puis, sur la base de plusieurs hypothèses, le potentiel (productible annuel) est calculé, notamment en fonction du rayonnement solaire, et exprimé à l'échelle communale. L'hypothèse est faite que tous les bâtiments sont équipés de panneaux photovoltaïques. En effet, les masques proches (ombrage lié aux bâtiments, à la végétation ou à la topographie locale) ne sont pas considérés ici.

A noter :

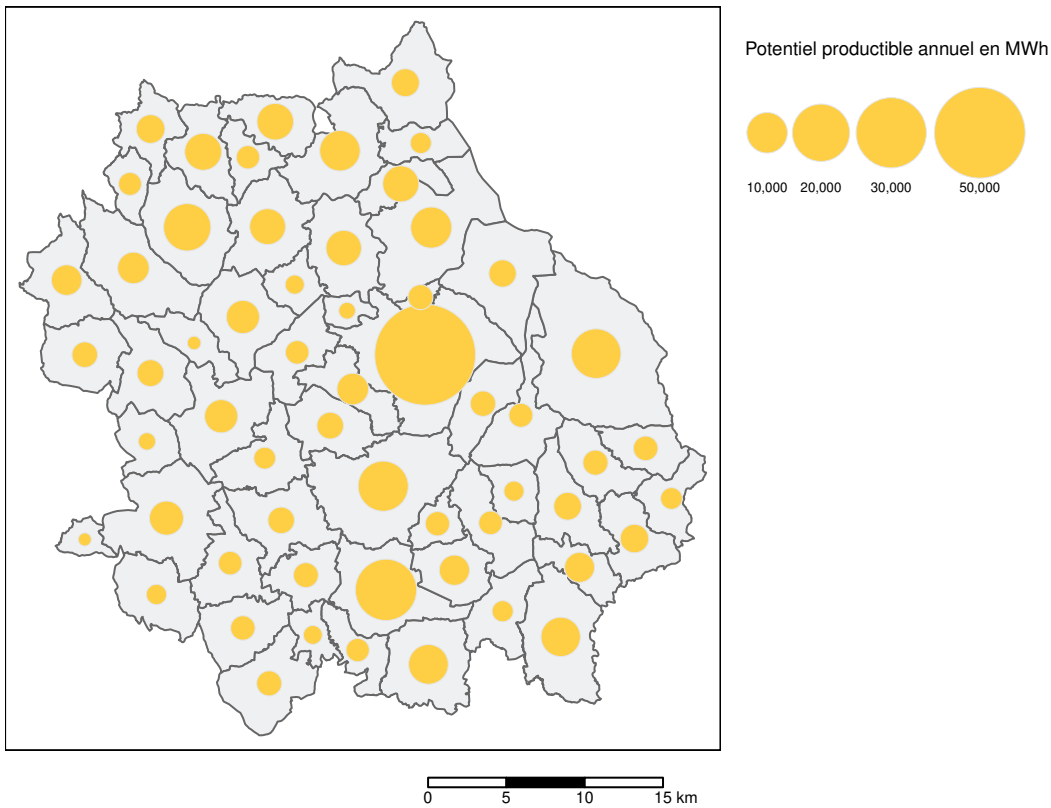
- le potentiel ne tient pas compte des installations existantes ;
- la concurrence entre le photovoltaïque et le solaire thermique n'est pas prise en compte.

Potentiel productible annuel total sur le territoire : **377 290 MWh**

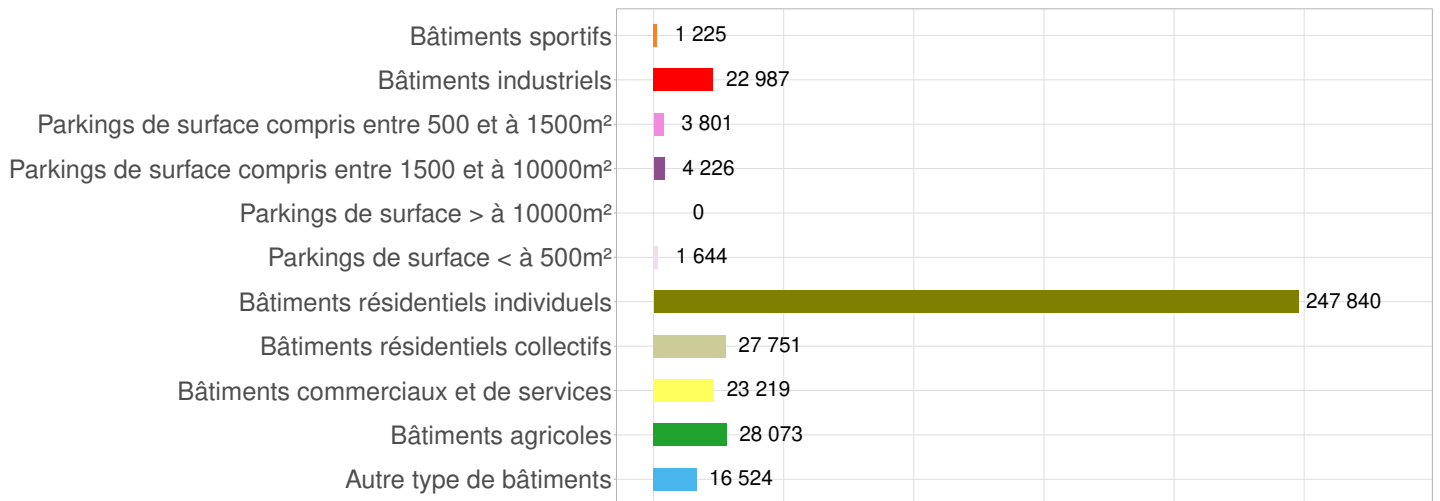
Potentiel solaire photovoltaïque : puissance (kW) par commune



Potentiel solaire photovoltaïque : productible (MWh) par commune



Potentiel solaire photovoltaïque sur le territoire en MWh par type de bâtiment



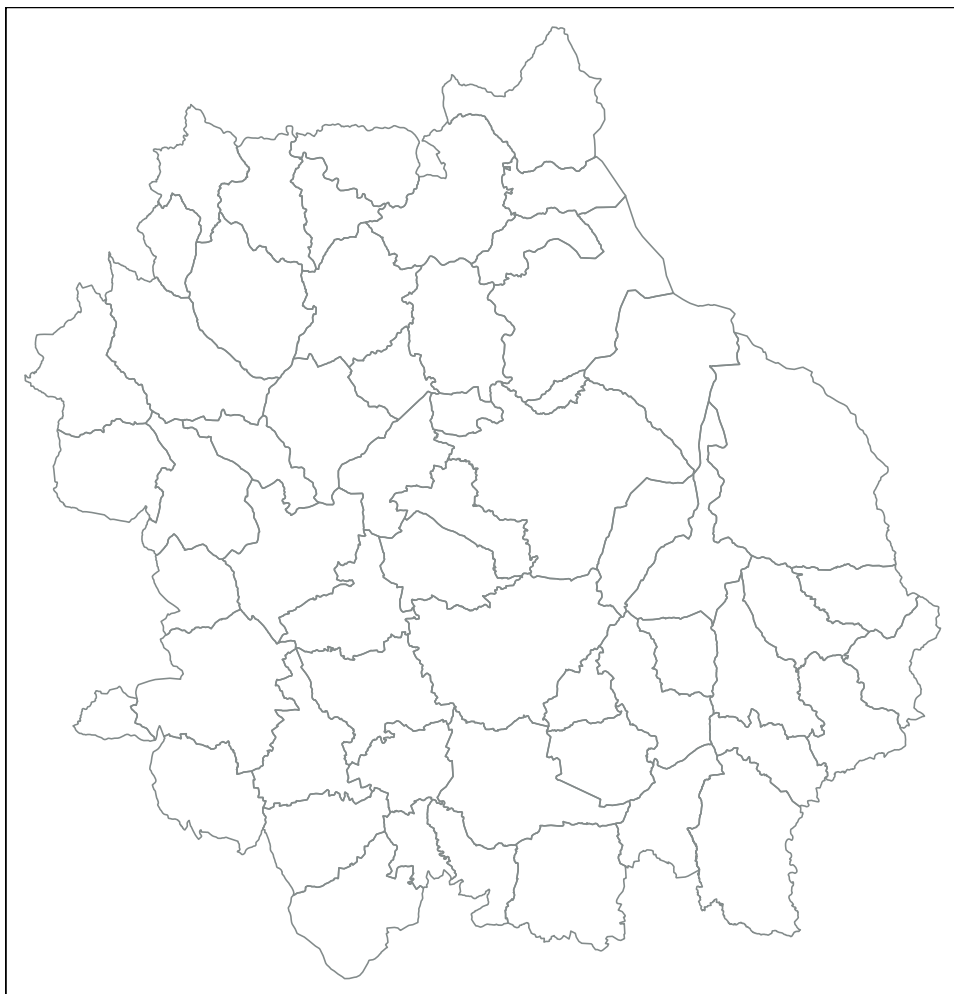
Friches susceptibles d'accueillir des installations photovoltaïques

Ce travail est issu de l'étude friches lancée en octobre 2020 par le ministère de la transition écologique. Elle vise à établir une liste des friches industrielles et urbaines susceptibles d'accueillir des installations photovoltaïques. Cette étude pilotée par l'ADEME, et réalisée par le groupement CEREMA-TECSOL après un travail collaboratif avec les services régionaux et départementaux (DDT(M) DEAL DREAL DRIEAT), et après avis des communes concernées, a identifié 843 sites propices à l'implantation de centrales photovoltaïques en France.

Plus d'informations sur [le site du ministère de la transition écologique](#)

Il convient cependant d'être conscient des limites de cette étude :

- Le recensement des sites est non exhaustif.
- Un nombre significatif de sites n'a pas été pris en compte du fait du manque d'informations sur leur localisation dans la base de recensement initiale.
- Un nombre important de sites potentiels n'a pu être confirmé comme « friche », soit par manque de temps, soit par manque de critère décisif au moment de la photo-interprétation.
- Il existe une forte hétérogénéité des résultats selon les départements. En effet, un travail plus ou moins important a été effectué selon les départements.



Sur le territoire, on dénombre 0 friche(s) susceptible(s) d'accueillir des installations photovoltaïques.

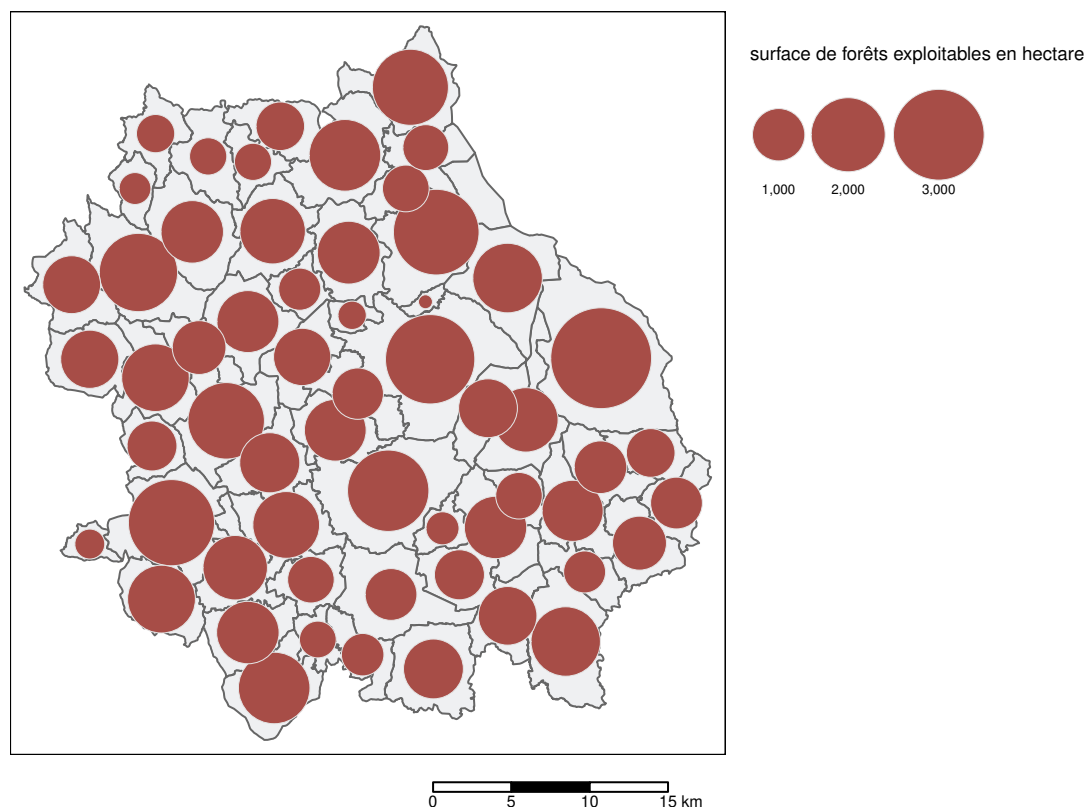
Il s'agit de caractériser les surfaces de forêts exploitables sur le territoire. Dans un premier temps, les zones de forêt où l'exploitation forestière est possible sont identifiées puis, dans un second temps, les surfaces de forêts exploitables potentielles sont exprimées à différentes échelles spatiales avec plusieurs filtres possibles.

A noter :

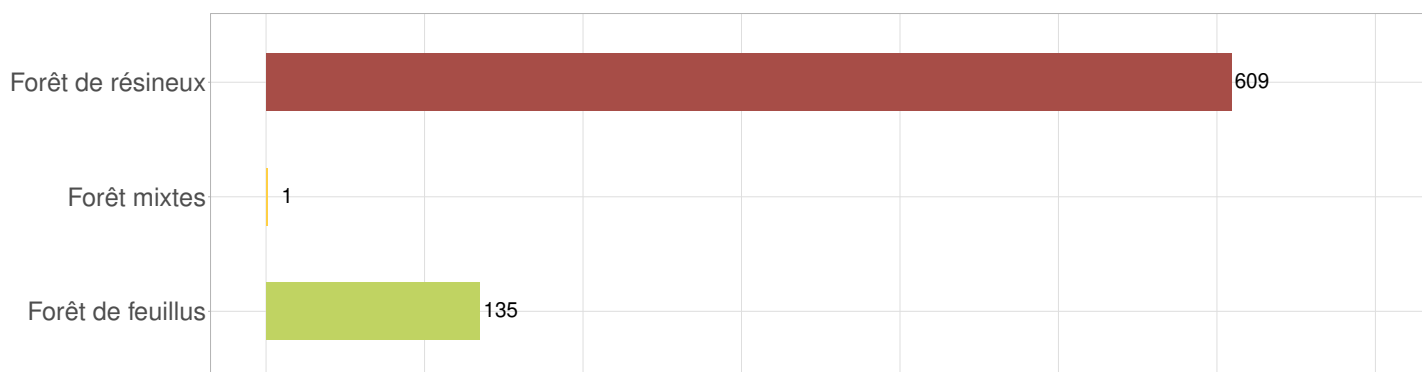
- la méthode ne prend pas en compte l'existant : les forêts déjà exploitées sont comptées dans les forêts exploitables.
- aucune distinction bois d'œuvre / bois énergie n'est faite.

Surface de forêts exploitables sur le territoire : **745 km²**

Estimation de la surface de forêts exploitables en hectares sur le territoire

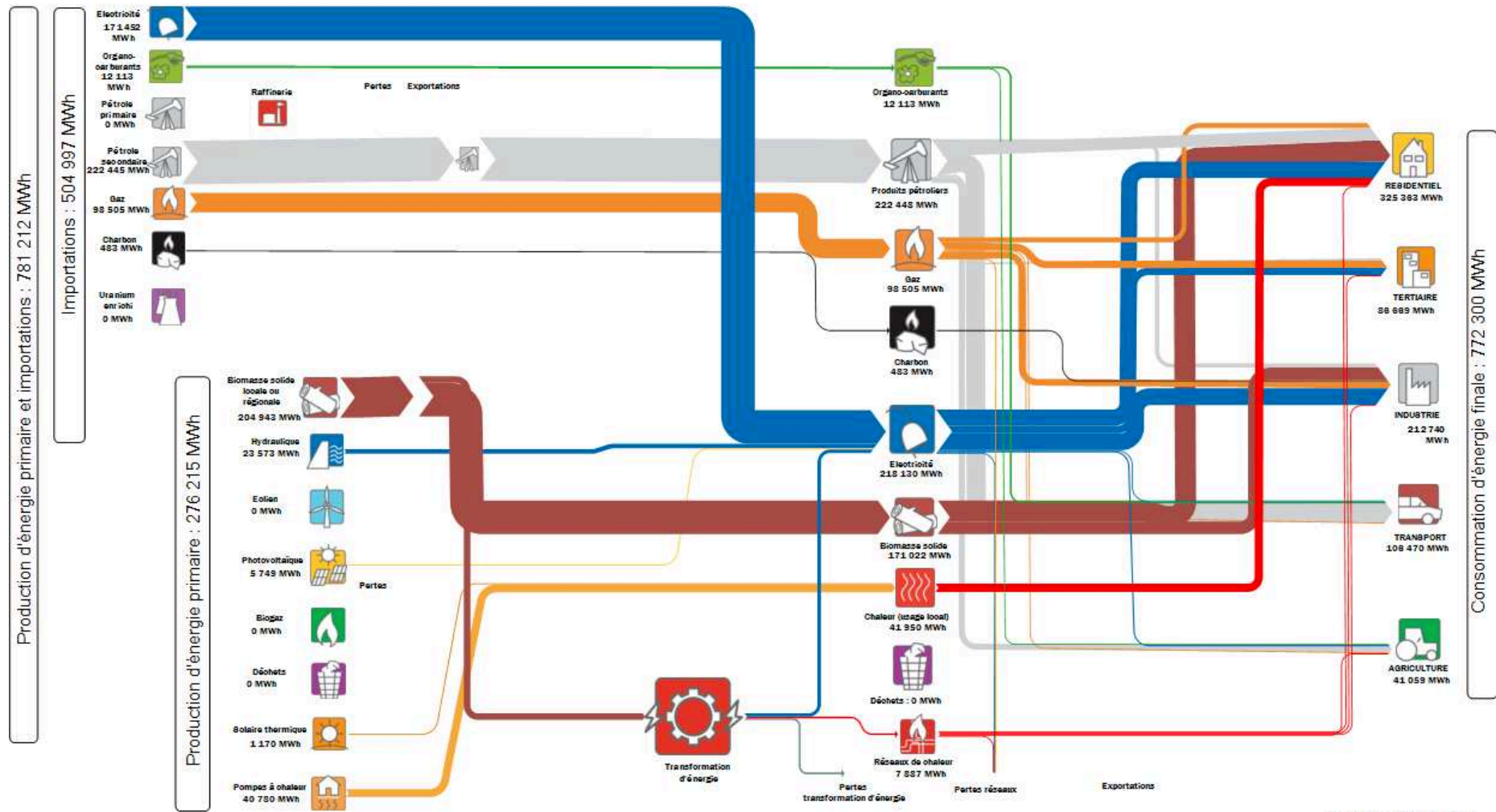


Surface de forêts exploitables en km² sur le territoire par type d'essence



FLUX D'ÉNERGIE

Flux d'énergie 2021 TEPOS-CV CC Ambert Livradois forez



Source : ORCAE 2023

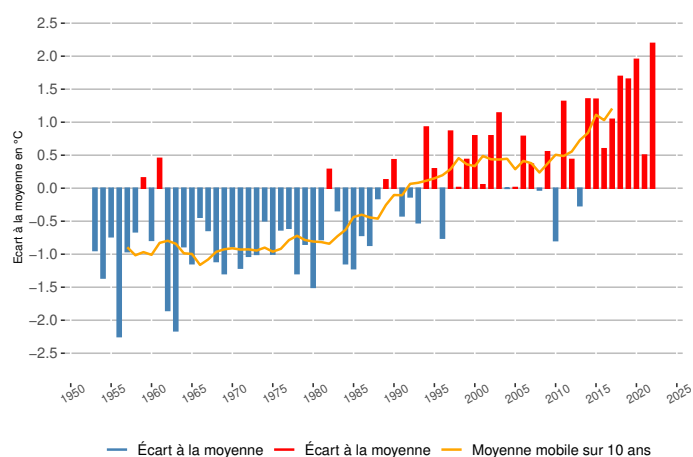
- Ce diagramme de Sankey représente les flux entre la production d'énergie primaire, les importations d'énergie primaire et de produits secondaires et la consommation d'énergie finale pour l'année 2021 ; il met en évidence la différence entre les ressources mobilisées et les ressources utiles. Certaines énergies sont transformées pour produire de l'électricité ou de la chaleur via les réseaux de chaleur urbains ; d'autres sont directement utilisées par le consommateur final.
- Les données du diagramme de flux sont à climat réel.

OBSERVATIONS CLIMATIQUES

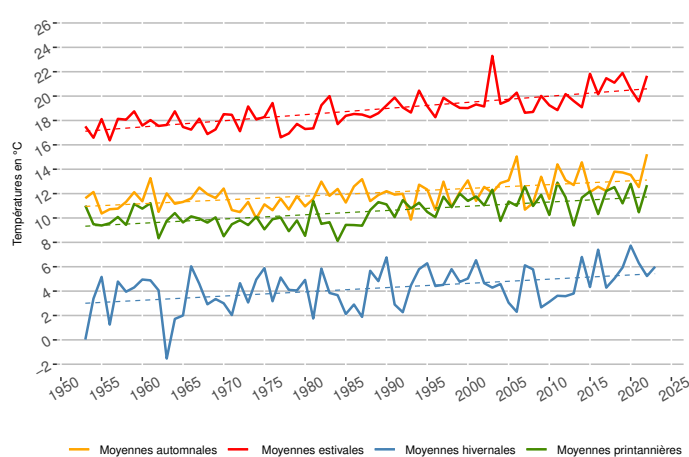
Les paramètres climatiques proposés dans cette section s'appuient sur une station de mesure météorologique du réseau de Météo France, située à Clermont-Ferrand, station de référence représentative du climat du territoire TEPOS-CV CC Ambert Livradois forez et disposant de données mensuelles homogénéisées pour le paramètre étudié, c'est-à-dire ayant fait l'objet d'une correction permettant de gommer toute forme de distorsion d'origine non climatique (déplacement de station, rupture de série...).

Évolution des températures moyennes annuelles et saisonnières à Clermont-Ferrand (1953-2022 - altitude 331 m)

Écart à la moyenne 1981 - 2010 de la température moyenne annuelle à Clermont-Ferrand (°C, altitude 331 m)



Évolution des températures moyennes saisonnières à Clermont-Ferrand (°C, altitude 331 m)



- Les températures moyennes annuelles ont augmenté de **+2.6°C** à Clermont-Ferrand entre 1953 et 2022.
- L'analyse saisonnière montre que cette augmentation est plus marquée au printemps (+2.4°C) et en été (+3.5°C).

Évolution des températures moyennes en °C

Hiver	2.4
Printemps	2.4
Été	3.5
Automne	2.2
Année	2.6

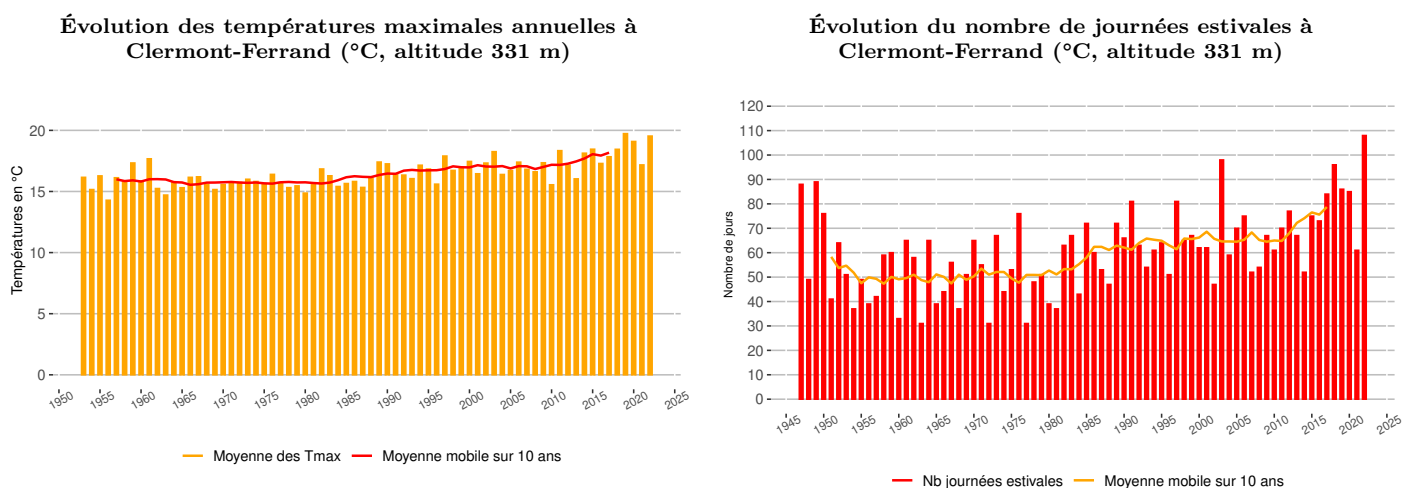
- La tendance à l'augmentation des températures observée sur cette station de mesure est également constatée sur les autres stations suivies par l'ORCAE en Auvergne-Rhône-Alpes. Elle est plus importante en montagne qu'en plaine et se matérialise par une forte augmentation des températures à partir du milieu des années 80.
- Les variations interannuelles de la température sont importantes et vont le demeurer dans les prochaines décennies. Néanmoins, les projections sur le long terme en Auvergne-Rhône-Alpes annoncent une poursuite de la tendance déjà observée de réchauffement jusqu'aux années 2050, quel que soit le scénario. Sur la seconde moitié du XXIe siècle, l'évolution de la température moyenne annuelle diffère selon le scénario d'évolution des émissions de gaz à effet de serre considéré. Le seul qui stabilise l'augmentation des températures est le scénario RCP2.6 (politique climatique visant à faire baisser les concentrations en CO₂). Selon le RCP8.5 (scénario sans politique climatique), le réchauffement pourrait dépasser +4°C à l'horizon 2071-2100.

Plus d'infos :

- [Plus d'indicateurs «Climat»](#)
- [Météo France, services climatiques](#)
- [Météo France, climat HD](#)
- [DRIAS, les futurs du climat](#)

Les paramètres climatiques proposés dans cette analyse se basent sur les données quotidiennes issues de la station de mesure météorologique du réseau de Météo France, située à Clermont-Ferrand.

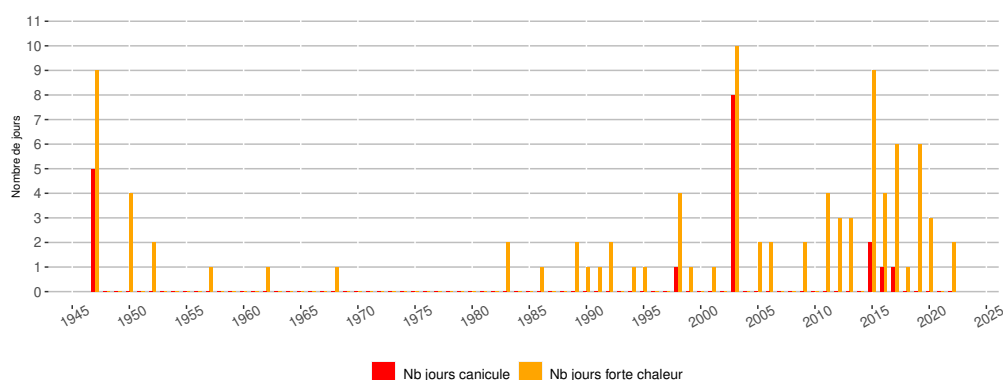
Évolution des températures maximales annuelles et du nombre de journées estivales à Clermont-Ferrand (1953-2022 - altitude 331 m)



- La moyenne des températures maximales a augmenté, de l'ordre de + 2.7°C à Clermont-Ferrand entre 1953 et 2022
- Le suivi du nombre de journées estivales, où la température maximale dépasse +25°C, montre une augmentation du nombre moyen de journées estivales entre les périodes 1963 - 1992 et 1993 - 2022 de l'ordre de 16 jours pour Clermont-Ferrand.

Évolution du nombre de jours de canicule et de forte chaleur à Clermont-Ferrand (1947-2022 - altitude 331 m)

Évolution du nombre de jours de canicule et de forte chaleur à Clermont-Ferrand (altitude 331 m)



- La notion de forte chaleur est définie à partir de seuils de températures minimales et maximales¹, atteintes ou dépassées simultanément un jour donné. Une canicule correspond à une succession d'au moins 3 jours consécutifs de fortes chaleurs. Le troisième jour est alors compté comme le premier jour de canicule.

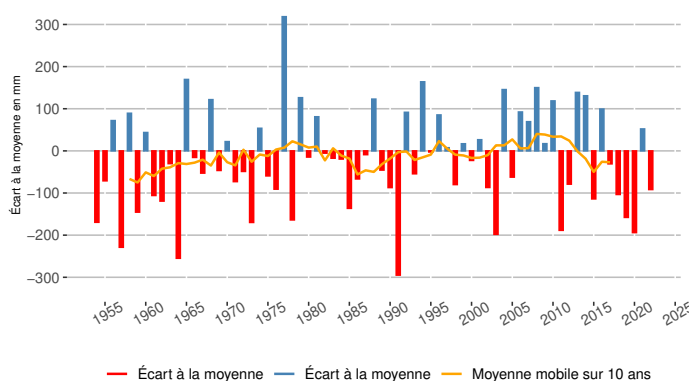
1. Les seuils de température permettant de définir fortes chaleurs et canicules ont été choisis sur la base d'un travail conjoint entre Météo France et l'Institut National de Veille Sanitaire, en fonction de critères de santé publique. Ils correspondent aux seuils à partir desquels on a pu observer une surmortalité journalière supérieure de 50 à 100%, par rapport à la moyenne glissante sur 3 ans de la mortalité pour la même journée, pour 14 agglomérations françaises. Le tableau suivant indique les seuils retenus pour chaque département d'Auvergne-Rhône-Alpes :

département	Ain	Allier	Ardèche	Cantal	Drôme	Isère	Loire	Haute-Loire	Puy-de-Dôme	Rhône & Métropole de Lyon	Savoie	Haute-Savoie
Seuil de température minimale en °C	20	18	20	18	21	19	19	18	19	20	19	19
Seuil de température maximale en °C	35	34	35	32	36	34	35	32	34	34	34	34

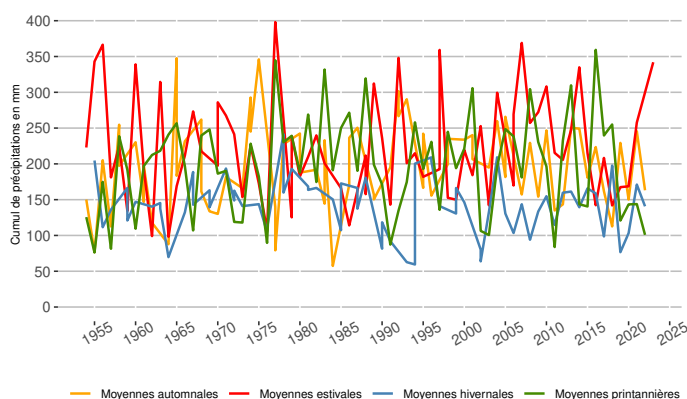
Les paramètres climatiques proposés dans cette section s'appuient sur une station de mesure météorologique du réseau de Météo France, située à Vichy-Charmeil, station de référence représentative du climat du territoire TEPOS-CV CC Ambert Livradois forez et disposant de données mensuelles homogénéisées pour le paramètre étudié, c'est-à-dire ayant fait l'objet d'une correction permettant de gommer toute forme de distorsion d'origine non climatique (déplacement de station, rupture de série...).

Évolution des cumuls annuels et saisonniers de précipitations à Vichy-Charmeil (1954-2022 - altitude 249 m)

Écart à la moyenne 1981 - 2010 des cumuls annuels de précipitations à Vichy-Charmeil (mm, altitude 249m)



Évolution des cumuls saisonniers de précipitations à Vichy-Charmeil (mm, altitude 249 m)



- **Le régime de précipitations présente une grande variabilité d'une année à l'autre.**
- Les stations étudiées en Auvergne-Rhône-Alpes ne montrent pas de tendance nette sur l'évolution du cumul annuel des précipitations. Le régime global de précipitations a peu évolué sur les 60 dernières années. L'évolution des cumuls de précipitations entre la période trentenaire (1993 - 2022) et la précédente (1963 - 1992) est de l'ordre de 1.9% à Vichy-Charmeil.
- **Les conclusions sont identiques pour l'analyse saisonnière, qui ne révèle pas non plus de tendance nette.**
- L'incertitude est grande quant à l'évolution des précipitations dans le court, moyen et long terme. Aucune projection ne démontre à l'heure actuelle d'évolution tendancielle, dans un sens ou dans l'autre¹.

Plus d'infos :

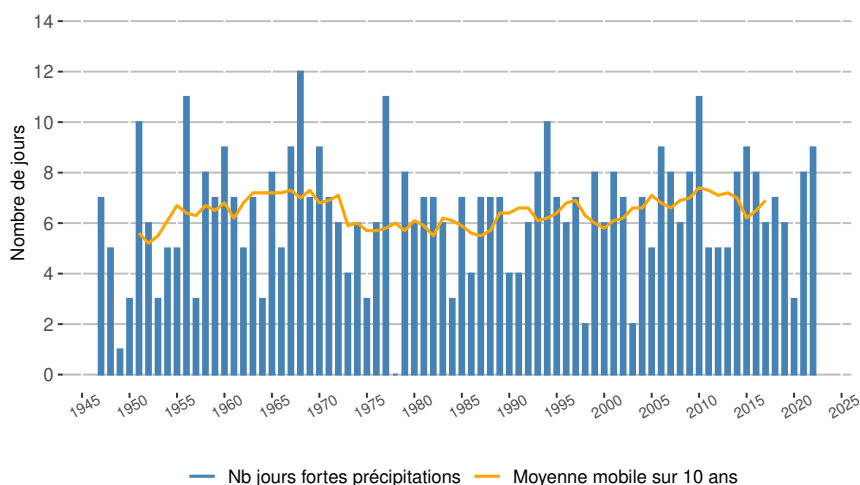
- Plus d'indicateurs «Climat»
- Météo France, services climatiques
- Météo France, climat HD
- DRIAS, les futurs du climat

1. Source et plus d'infos sur : Météo France - Climat HD (<http://www.meteofrance.fr/climat-passe-et-futur/climathd>).

Les paramètres climatiques proposés dans cette analyse se basent sur les données quotidiennes de la station de mesure météorologique du réseau de Météo France, située à Vichy-Charmeil.

Évolution du nombre de jours de fortes pluies à Vichy-Charmeil (1947-2022 - altitude 249 m)

Évolution du nombre de jours de fortes pluies à Vichy-Charmeil (altitude 249 m)

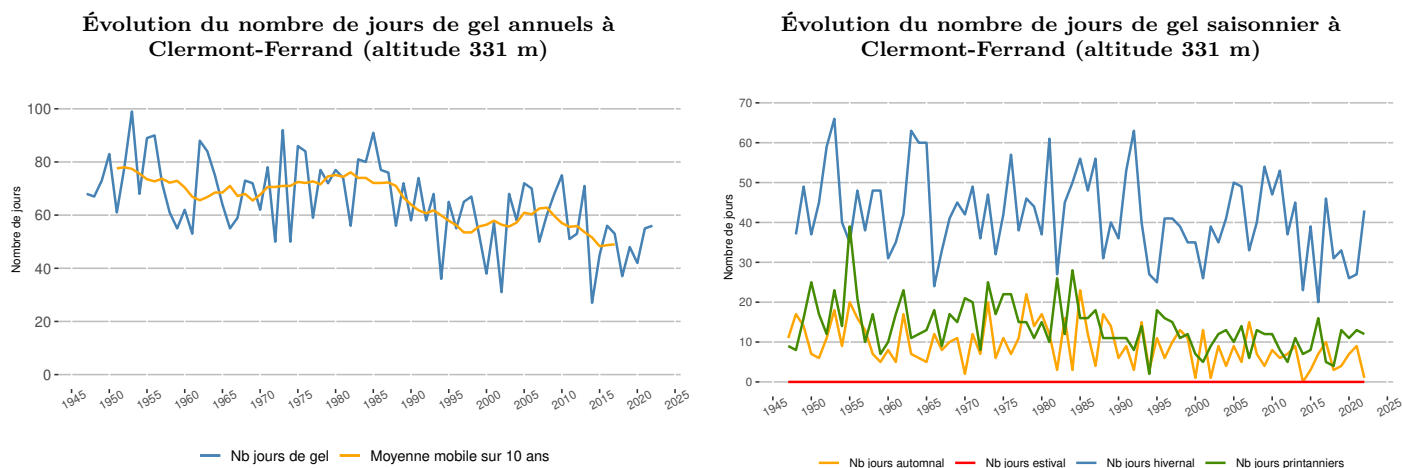


- Un jour de fortes pluies correspond à un jour pour lequel le cumul des précipitations sur les 24 heures dépasse strictement 20 mm.
- L'observation des mesures de précipitations journalières montre une grande variabilité interannuelle du nombre de jours de fortes pluies.
- Sur cette période, on n'observe pas d'évolution marquée du nombre annuel de jours de fortes pluies, ni d'évolution saisonnière de ce paramètre.

NOMBRE DE JOURS DE GEL

Les paramètres climatiques proposés dans cette analyse se basent sur les données quotidiennes de la station de mesure météorologique du réseau de Météo France, située à Clermont-Ferrand.

Évolution du nombre de jours de gel par an à Clermont-Ferrand (1947-2022 - altitude 249 m)



- Le nombre de jours de gel annuel a diminué en moyenne de -15.7 jours à Clermont-Ferrand entre 1963 - 1992 et 1993 - 2022.
- L'analyse de l'évolution du nombre de jours de gel par saison, à la station de Clermont-Ferrand entre 1963 - 1992 et 1993 - 2022 donne les résultats suivants :

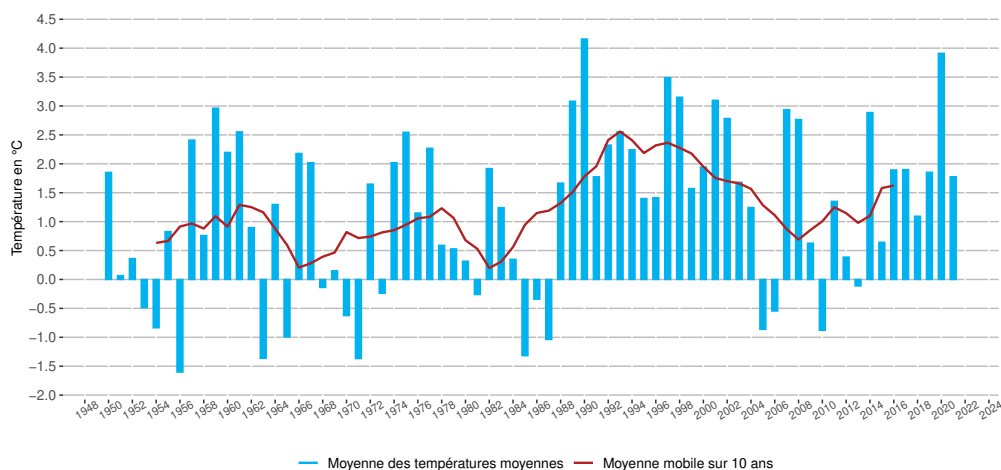
Évolution du nombre de jours de gel	
Hiver	-8.1
Printemps	-5.0
Été	0.0
Automne	-3.3
Année	-15.7

ZOOM SUR LES CONDITIONS HIVERNALES EN MONTAGNE

Les paramètres climatiques proposés dans cette analyse se basent sur les données quotidiennes issues de la station de mesure météorologique du réseau de Météo France, située à Mont-Dore.

Évolution des températures moyennes hivernales à Mont-Dore (1950-2021 - altitude 1050 m)

Évolution des températures moyennes sur la saison hivernale à Mont-Dore (20 déc - 20 mars, °C, altitude 1050 m)

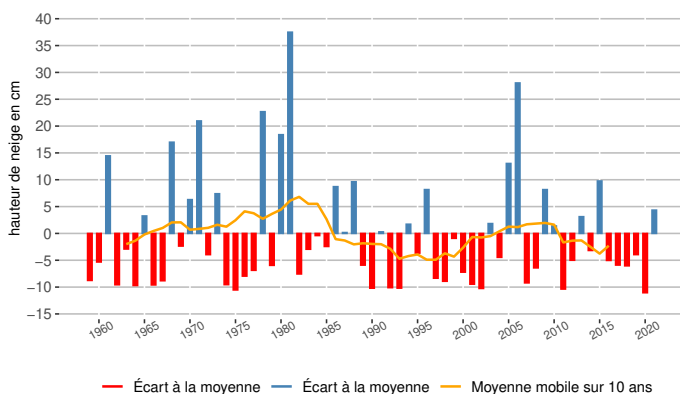


- On observe une augmentation de + 0.9°C sur la période du 20 décembre au 20 mars à Mont-Dore entre 1950 - 2021.

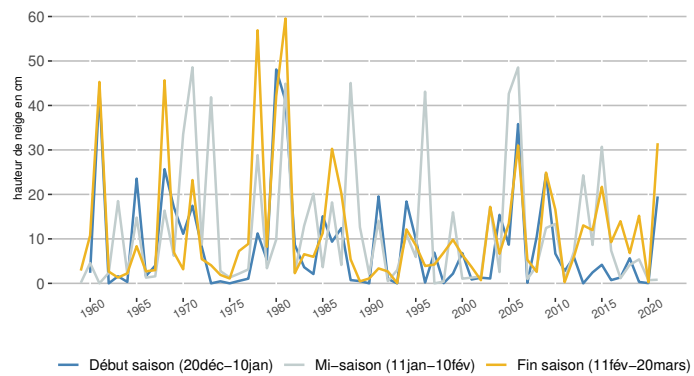
Les paramètres climatiques proposés dans cette analyse se basent sur les données quotidiennes issues de la station de mesure météorologique du réseau de Météo France, située à Mont-Dore.

Évolution de la hauteur de neige moyenne à Mont-Dore (1959-2021 - altitude 1050 m)

Écart à la moyenne 1981-2010 de la hauteur de neige moyenne à Mont-Dore (cm, altitude 1050 m)



Évolution de la hauteur de neige moyenne à Mont-Dore (cm, altitude 1050 m)



- La hauteur de neige moyenne a diminué de -25% (-3.2 cm) entre la période climatique la plus récente (1992 - 2021) et la précédente (1962 - 1991), sur la période du 20 décembre au 20 mars.
- L'analyse de l'évolution de la hauteur de neige, en début, milieu et fin de saison, entre 1992 - 2021 et 1962 - 1991 donne les résultats suivants :

Évolution hauteur de neige		
Début saison (20 dec - 10 jan)	-3 cm	-33%
Milieu saison (11 jan - 10 fev)	-2 cm	-20%
Fin saison (11 fev - 20 mars)	-4 cm	-26%

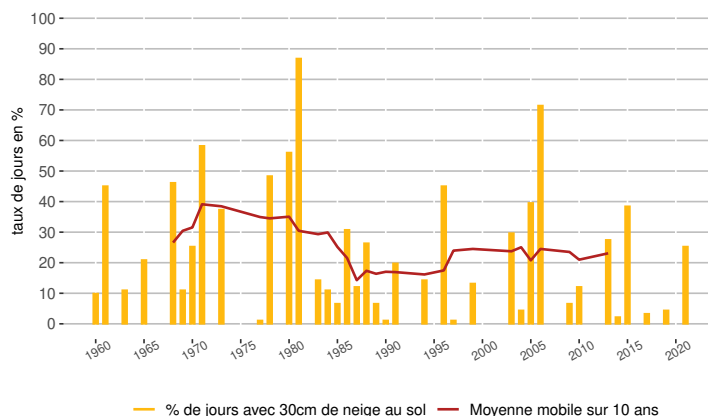
- Une analyse rétrospective du climat et de l'enneigement dans les Alpes françaises¹, réalisée par Météo France à partir des données de modèles atmosphériques sur 47 ans (1959-2005), complétées par des observations météorologiques sur 23 massifs alpins, révèle une diminution de l'enneigement sur la saison hivernale, plus marquée à basse altitude au nord des Alpes. **L'épaisseur de neige en début d'hiver a diminué partout à basse altitude.** Globalement, la diminution majeure des valeurs moyennes d'épaisseur de neige observée à la fin des années 1980 survient après des périodes plutôt enneigées au cours des années 1960, à la fin des années 1970 et au début des années 1980, plus clairement à basse qu'à haute altitude.

1. Source : DURAND, Y., GIRAUD, G., LATERNSE, M., ETCHEVERS, P., MÉRINDOL, L., LESAFFRE, B. (2009). Reanalysis of 47 years of climate in the French Alps (1958-2005) : climatology and trends for snow cover. Journal of Applied Meteorology and Climatology, Vol. 48, 2487-2512.

CONDITIONS D'ENNEIGEMENT NATUREL SUR LA SAISON HIVERNALE

Cet indicateur (pourcentage de jours avec au moins 30 cm de neige au sol) représente l'enneigement naturel au cœur de l'hiver (91 jours, du 20 décembre au 20 mars). Il permet d'identifier les années où la neige a fait défaut (moins de 30 cm au sol en moyenne), sur la saison touristique hivernale.

% de jours avec au moins 30 cm de neige au sol sur la saison hivernale à Mont-Dore (20 déc - 20 mars, altitude 1050 m)

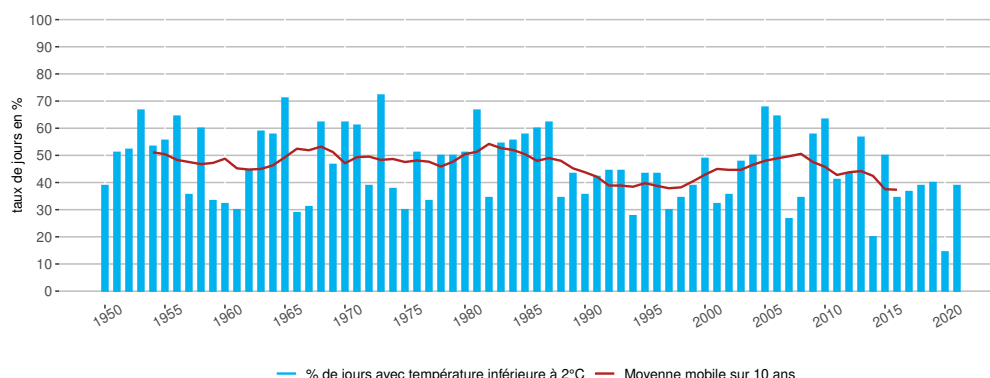


- Le pourcentage de jours avec une hauteur de neige d'au moins 30 cm sur la période du 20 décembre au 20 mars varie de 27% en moyenne entre 1962 et 1991 à 21% entre 1992 et 2021.

CONDITIONS D'ENNEIGEMENT ARTIFICIEL SUR LA SAISON HIVERNALE

Cet indicateur (pourcentage de jours où la température minimale est strictement inférieure à -2°C) illustre la capacité à produire de la neige de culture dans les conditions technologiques actuelles, à l'altitude de la station de mesure météo (1050 m), et sur la période étudiée. À noter que la production de neige de culture ne se fait pas en continu mais se base sur des « fenêtres de froid » : il faut environ 100h de froid (un peu plus de 4 jours avec une température inférieure à -2°C) pour produire un manteau neigeux acceptable.

% de jours où la température minimale est inférieure à -2°C sur la saison hivernale à Mont-Dore (20 déc - 20 mars, altitude 1050 m)

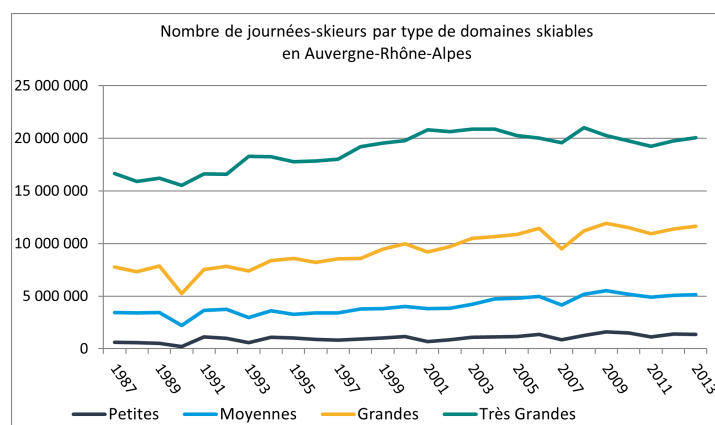


- Le nombre de jours où la température minimale est strictement inférieure à -2°C sur la période du 20 décembre au 20 mars varie de 50% en moyenne entre 1962 et 1991 à 42% entre 1992 et 2021.

IMPACT SUR LE TOURISME HIVERNAL

Évolution des journées-skieurs sur un panel de stations de ski alpin en Auvergne-Rhône-Alpes

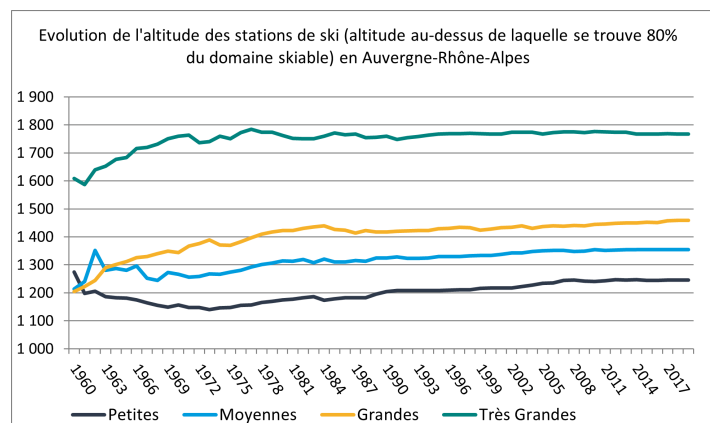
La fréquentation des domaines skiables alpins s'exprime en journées-skieurs.



- Le graphique ci-dessus présente l'évolution des journées-skieurs entre 1987 et 2013 sur un panel de stations homogènes d'Auvergne-Rhône-Alpes.
- **Les journées-skieurs augmentent depuis 1995**, et ce quel que soit le type de station.
- **Les hivers où la neige a fait défaut** (moins de 30 cm au sol en moyenne sur la saison touristique hivernale) ont cependant un **impact sur les journées-skieurs des petites, moyennes et grandes stations** : les accidents de fréquentation des domaines skiables les plus importants correspondent aux hivers où la neige a fait défaut (2000-2001, 2006-2007, 2010-2011). Cela est très visible sur les petits domaines skiables.
- En revanche, les variations de journées-skieurs sont minimales sur les très grandes stations, qui semblent peu sensibles à la problématique de l'enneigement.
- Les mesures d'adaptation mises en place par les domaines skiables (travaux de pistes, neige de culture et damage) ont permis de diviser par trois l'exposition des stations à un déficit d'enneigement depuis 25 ans : la saison 2006-07 a connu 15 % de baisse de fréquentation des domaines skiables, soit deux fois moins qu'en 1989-90, année où le déficit d'enneigement était identique¹.

1. Source : «Changement climatique & Stations de montagne : Quelles conséquences? Quelles actions?», DSF et commentaires DSF pour l'ORECC, septembre 2015

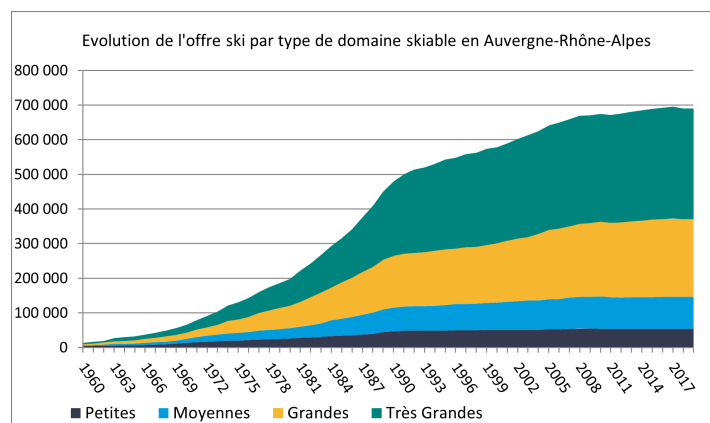
Évolution de l'altitude des domaines skiables



- On constate, sur le graphe ci-dessus, un **déport de l'offre ski en altitude**. Cette évolution est très visible pour les moyennes et grandes stations. Le redéploiement en altitude est l'occasion pour ces domaines skiables de sécuriser leur offre de ski, notamment face à la baisse de l'enneigement naturel. Quant aux très grandes stations, peu sensibles à la baisse de l'enneigement et situées en altitude, elles ne semblent plus en ressentir la nécessité aujourd'hui.

Évolution dans le temps de l'offre ski en Auvergne-Rhône-Alpes

Cet indicateur traduit l'historique de l'offre ski dans les domaines skiables alpins d'Auvergne-Rhône-Alpes de 1960 à 2016, représentée par le moment de puissance.



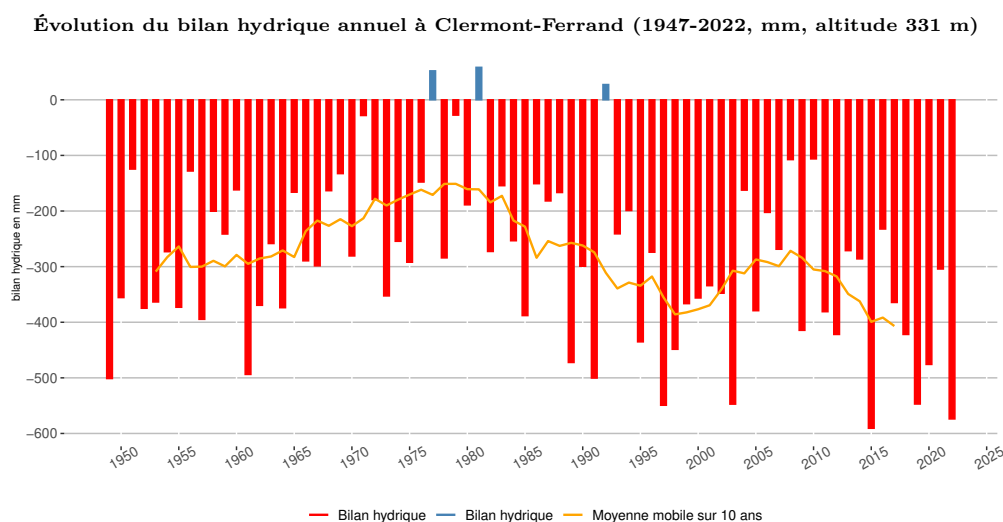
- **Le développement de l'offre a eu lieu essentiellement au cours de la période 1970-1990**, qui correspond à la première période climatique analysée par l'ORECC, période où l'enneigement était important, même à basse altitude. Puis, l'offre s'est globalement stabilisée.

IMPACTS SUR LA RESSOURCE EN EAU

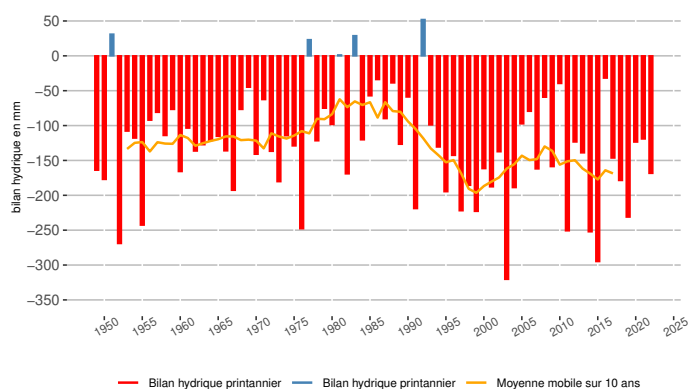
Le bilan hydrique est un indicateur de sécheresse, calculé par différence entre les précipitations et une estimation de l'évapotranspiration du couvert végétal issue de paramètres météorologiques (température, rayonnement, humidité, vent). Il permet d'observer l'état des ressources en eau de pluie du sol d'une année sur l'autre. Le bilan hydrique est un indicateur pertinent pour observer l'état des apports en eau d'une année sur l'autre et pour identifier des périodes de sécheresse et leur récurrence sur le long terme.

Les paramètres climatiques proposés dans cette analyse se basent sur les données quotidiennes issues de la station de mesure météorologique du réseau de Météo France, située à Clermont-Ferrand.

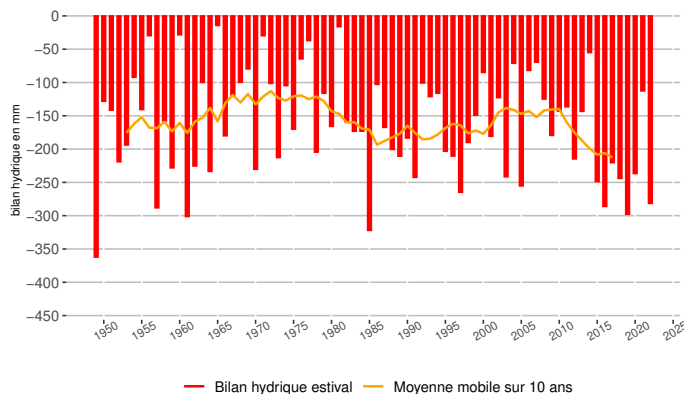
Évolution du bilan hydrique annuel, printannier et estival à Clermont-Ferrand (1947-2022, mm, altitude 331 m)



Évolution du bilan hydrique printannier à Clermont-Ferrand (1947-2022, avril - juin, mm, altitude 331 m)



Évolution du bilan hydrique estival à Clermont-Ferrand (1947-2022, juill - sept, mm, altitude 331 m)



- On observe, à partir des années 90, une baisse du bilan hydrique annuel, sur tous les départements d'Auvergne-Rhône-Alpes, ainsi que des déficits hydriques de plus en plus importants au printemps et en été. Ces évolutions sont dues essentiellement à l'augmentation de l'évapotranspiration des végétaux, du fait de l'augmentation générale des températures.
- Le bilan hydrique annuel a diminué de -140 mm à Clermont-Ferrand entre les périodes 1963 - 1992 et 1993 - 2022.

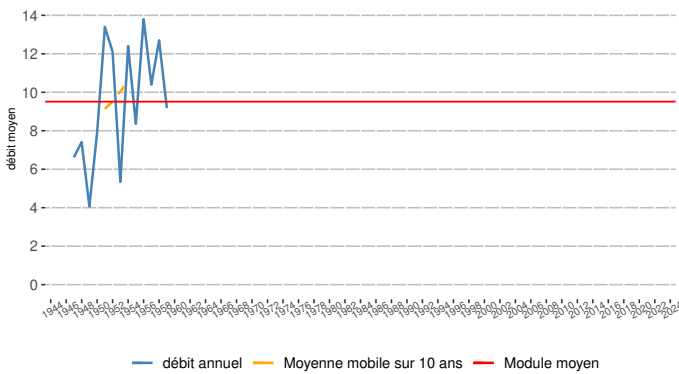
Plus d'infos :

- [Plus d'indicateurs « Ressource en eau »](#)
- [Fiche « Bilan hydrique »](#)
- [Plan de bassin de l'Agence de l'Eau Rhône-Méditerranée-Corse](#)
- [Base de données de la banque HYDRO](#)

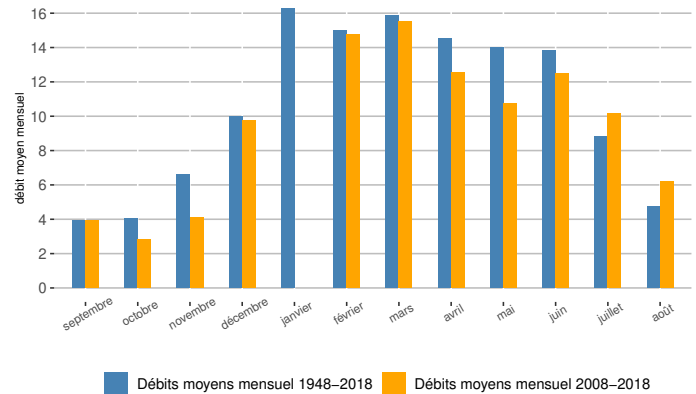
Le suivi de la ressource en eau permet de détecter les risques de sécheresse par le constat de la baisse des niveaux des nappes ou des débits des rivières. Les paramètres proposés dans cette analyse se basent sur les données de débits quotidiennes de la station de mesure hydrologique du réseau HYDRO, nommée La Dore à Saint-Gervais-sous-Meymont.

Débit moyen annuel et tendances mensuelles des débits de La Dore à Saint-Gervais-sous-Meymont

Évolution des débits moyens annuels de La Dore à Saint-Gervais-sous-Meymont

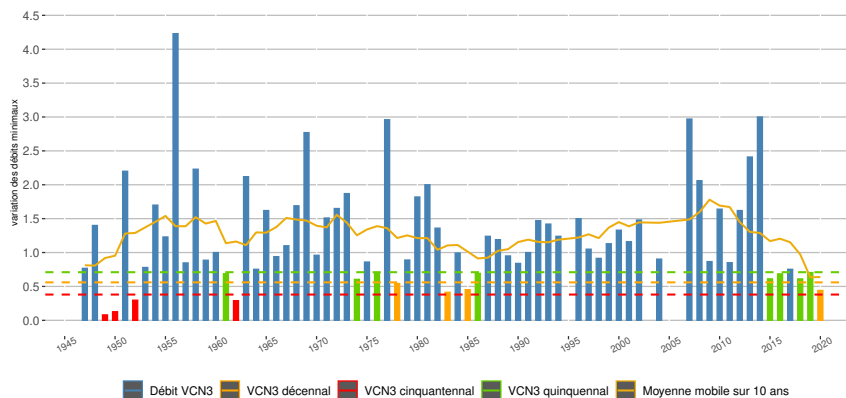


Tendances mensuelles des débits La Dore à Saint-Gervais-sous-Meymont



- Sur les cours d'eau étudiés par l'ORCAE en Auvergne-Rhône-Alpes, on observe une grande hétérogénéité des résultats, ce qui ne permet pas de conclure de manière généralisée, à ce jour, sur le lien entre changement climatique et impact quantitatif sur la ressource en eau. Cependant les évolutions des variables présentées vont toutes dans le sens d'une **diminution de la disponibilité de la ressource en eau, particulièrement sur la dernière décennie**. Cette baisse est visible du printemps à l'été et est très marquée en début d'automne pour l'ensemble des cours d'eau. Ceci est vraisemblablement lié à la baisse des précipitations automnales ces dix dernières années. Pour certains cours d'eau, on constate également une avance d'un mois du pic du débit mensuel maximal et donc du pic de crue.
- La série de données disponible sur cette station de mesure présente plus de 20% de données manquantes sur au moins l'une des périodes climatiques étudiées, ce qui ne permet pas de calculer une tendance statistiquement fiable.

Variation des débits minimaux sur 3 jours consécutifs (VCN3) de La Dore à Saint-Gervais-sous-Meymont



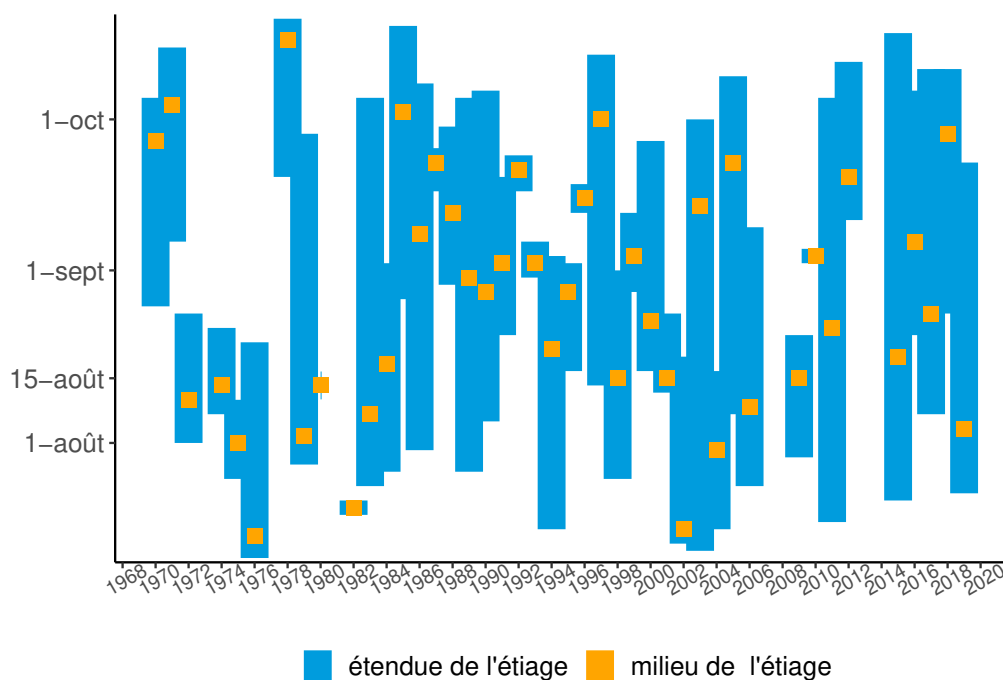
- Le VCN3 est le débit minimal ("moyen") calculé sur 3 jours consécutifs. Il correspond au débit minimal (ou débit d'étiage) enregistré pendant 3 jours consécutifs sur l'année considérée. Le VCN3 permet de caractériser une situation d'étiage sévère sur une courte période, c'est-à-dire le débit exceptionnellement faible d'un cours d'eau lors d'une période de basses eaux. Cet indicateur sert de référence pour la définition des seuils des arrêtés cadre sécheresse.
- Sur la station de La Dore à Saint-Gervais-sous-Meymont le débit minimal sur 3 jours consécutifs a varié de 7% entre la période 1961 - 1990 et la période 1991 - 2020.

L'étiage correspond à une période où l'écoulement d'un cours d'eau est particulièrement faible. En période d'étiage, le niveau de débit moyen journalier est ainsi inférieur au débit moyen journalier que l'on observe habituellement, y compris en période de basses eaux.

Les paramètres proposés dans cette analyse se basent sur les données de débits quotidiennes de la station de mesure hydrologique du réseau HYDRO, nommée La Dore à Saint-Gervais-sous-Meymont

Suivi de l'évolution de la saisonnalité des étiages de La Dore à Saint-Gervais-sous-Meymont

Évolution des dates de début, milieu et fin d'étiage à La Dore à Saint-Gervais-sous-Meymont



- La saisonnalité des étiages est calculée à partir des débits journaliers, en observant : la date de début des étiages, date à partir de laquelle le déficit de volume est égal à au moins 10% du déficit de volume de l'année hydrologique considérée ; la date de fin des étiages, date à partir de laquelle le déficit de volume est égal à au moins 90% du déficit de volume de l'année hydrologique considérée ; la date de centre des étiages, correspondant à la date à partir de laquelle le déficit en volume est égal à au moins 50% du déficit de volume de l'année hydrologique considérée.
- La série de données disponible sur cette station de mesure est trop courte (historique < à 50 ans) pour pouvoir calculer une tendance statistiquement fiable.

Plus d'infos :

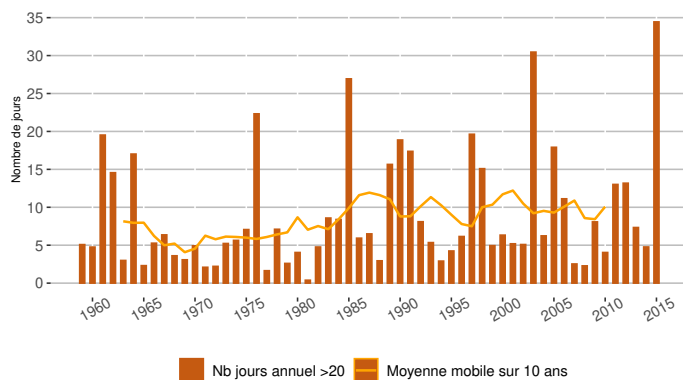
- Plus d'indicateurs « Ressource en eau »
- Plan de bassin de l'Agence de l'Eau Rhône-Méditerranée-Corse

IMPACTS SUR LES RISQUES NATURELS

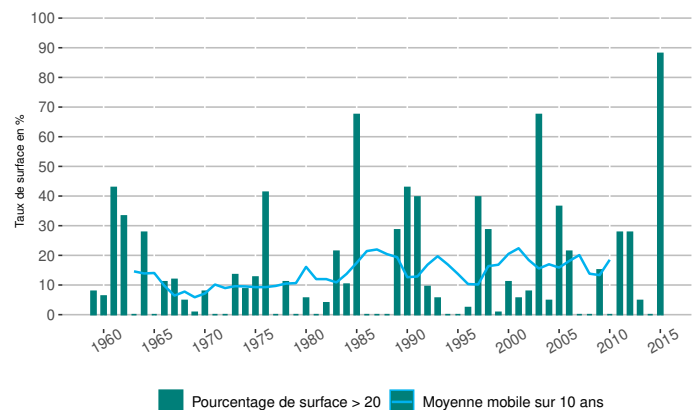
Les conditions favorables aux feux de forêt sont appréciées à partir de l'Indice Feu Météo (IFM), qui permet de caractériser les risques météorologiques de dépôts et de propagation de feux de forêt à partir de données climatiques (température, humidité de l'air, vitesse du vent et précipitations) et de caractéristiques du milieu (sol et végétation).

Évolution du risque météorologique de feux de forêt - Puy-de-Dôme (1959-2015)

Évolution du nombre annuel de jours où l'Indice Feu Météo > 20 dans le département : Puy-de-Dôme



Évolution de la superficie départementale où l'Indice Feu Météo > 20 pendant au moins 20 jours dans le département : Puy-de-Dôme



- En Auvergne-Rhône-Alpes, le risque météorologique de feux de forêt s'est accru depuis les années 80, surtout en été et dans les départements du sud de la région.
- Dans le département analysé ci-dessus, le nombre de jours où le risque météorologique de feux de forêt est élevé est passé de 7.1 jours entre 1959 et 1988 (période de 30 ans) à 10.2 jours entre 1986 et 2015 (période de 30 ans). La superficie départementale où le risque est élevé a également augmenté de 47.1% entre la période trentenaire 1959 et 1988 et la suivante 1986 et 2015.

Plus d'infos :

- Plus d'indicateurs « Risque feux de forêt »
- Observatoire National des Risques Naturels et technologiques (Géorisques)
- Observatoire PermaFrance (risques liés au permafrost)
- Météo-France - Pluies extrêmes
- IRSTEA - Enquête permanente sur les avalanches (EPA)
- Base de Données sur les Incendies de Forêt en France (BDIFF)
- Observatoire Hydro-Météorologique Méditerranéen Cévennes Vivarais (OHMCV)
- Observatoire Multidisciplinaire des Instabilités de Versants (OMIV)
- Inventaires des glaciers, marges proglaciaires et phénomènes associés - De Glacierisk à GlaRiskAlp

La baisse du bilan hydrique climatique annuel et l'augmentation des déficits hydriques au printemps et en été entraînent un assèchement des sols.

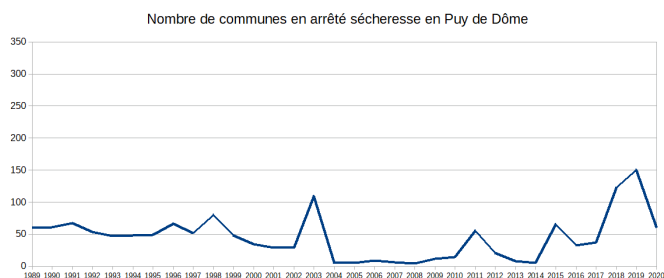
Les sécheresses font partie des extrêmes climatiques à fort enjeu sociétal, compte-tenu du besoin vital d'eau, et de la dépendance de l'ensemble des activités humaines à la ressource en eau. Les événements que la France a connus, lors de l'été 2003 ou plus récemment en 2015, 2017, 2018 et 2019, ont rappelé la sensibilité de nos systèmes aux extrêmes hydrologiques et à la disponibilité de la ressource en eau (source Météo France).

Parmi ces activités, l'agriculture est particulièrement dépendante de cette ressource et les sécheresses impactent fortement les conditions et les résultats de productions de ce secteur d'activité.

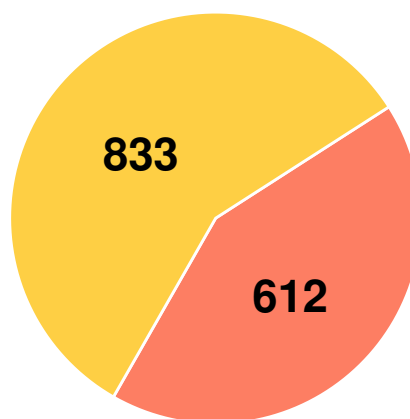
Les données couvrent la période 1989-2020.

Évolution départementale des arrêtés de catastrophes naturelles - sécheresse - Puy-de-Dôme

Évolution du nombre de communes en arrêtés sécheresse dans le département : Puy-de-Dôme entre 1989 et 2020



Répartition du nombre de communes en arrêtés sécheresse dans le département : Puy-de-Dôme entre 1989-2004 et 2004-2020



■ Avant 2004 ■ Après 2004

- La sécheresse des sols fait l'objet d'arrêtés de catastrophes naturelles de plus en plus fréquents sur l'ensemble du territoire régional depuis 2003.
- Même si le département du Puy de Dôme connaît ce phénomène depuis plus de 30 ans, on note des pics relatifs aux événements chauds et une nette augmentation du nombre d'arrêtés depuis 2017.

Plus d'infos :

- [Plus d'indicateurs «Évolution des arrêtés de catastrophes naturelles - sécheresse»](#)
- [Caisse Centrale de Réassurance \(société Anonyme détenue par l'État\)](#)

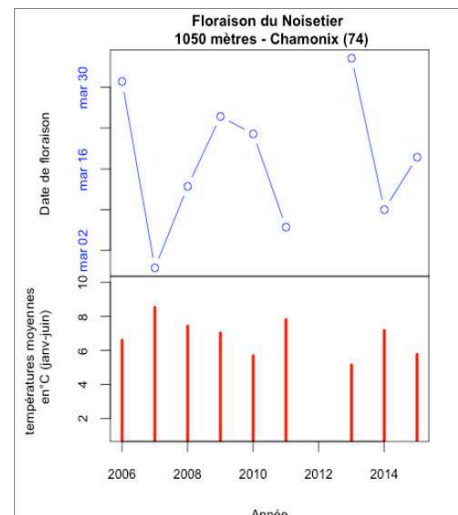
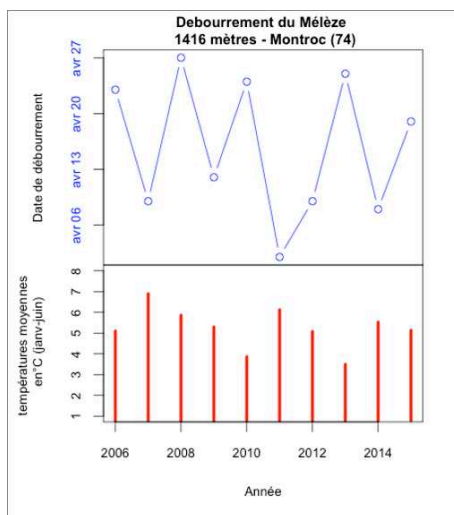
IMPACTS SUR LA BIODIVERSITÉ

Les impacts du changement climatique sur les écosystèmes concernent le déplacement de certaines espèces, une modification de la phénologie, des modifications de la physiologie, de la génétique ou des modalités de reproduction, et enfin, des réductions ou extinctions locales d'espèces animales ou végétales. L'effet croisé des divers facteurs d'influence est difficile à évaluer et fait encore aujourd'hui l'objet de travaux de recherche visant au développement des connaissances scientifiques. Cependant certaines observations sont aujourd'hui disponibles. Les exemples ci-dessous concernent la région Auvergne-Rhône-Alpes.

À l'heure actuelle, l'observation des impacts du changement climatique sur la biodiversité se développe principalement au travers de l'étude de la phénologie, c'est-à-dire les dates d'apparition des phénomènes saisonniers. Elle vise à comprendre l' **influence des variations et des changements climatiques sur la croissance et la reproduction des espèces animales et végétales**. La phénologie, lorsqu'elle est étudiée à long terme, apporte des indicateurs sur la réponse ainsi que la capacité d'adaptation et d'évolution des espèces clefs d'un écosystème face aux changements du climat.

INDICATEURS PHÉNOLOGIQUES ET RELATION AVEC LES TEMPÉRATURES

Évolution des dates de débourrement du Mélèze et de floraison du Noisetier (2006-2015)



Évolution de la date de débourrement (ouverture des bourgeons) chez le mélèze (*Larix decidua*) en relation avec les températures moyennes enregistrées durant la période janvier à juin par une station température du CREA, sur le site de Montroc (Haute-Savoie) sur la période 2006 à 2015.

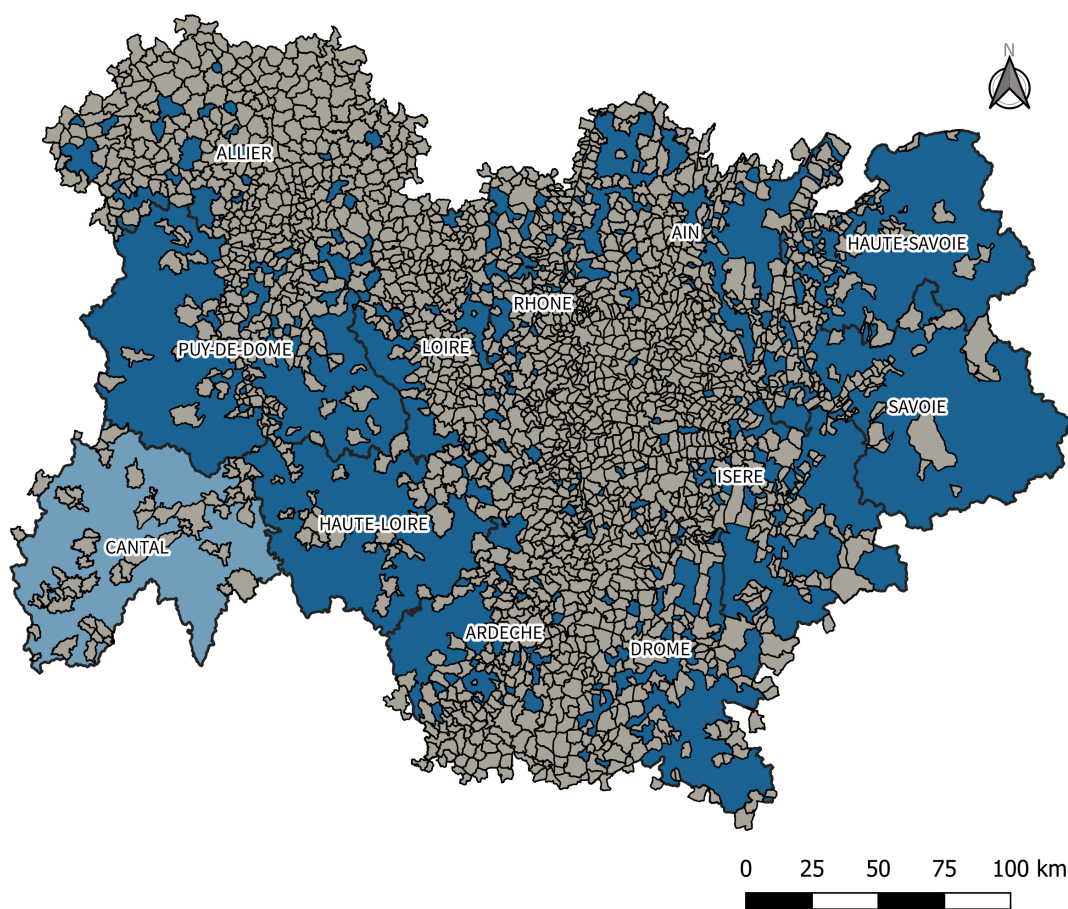
Évolution de la date de floraison chez le noisetier (*Corylus avellana*) en relation avec les températures moyennes enregistrées durant la période janvier à juin par une station température du CREA, sur le site de Chamonix Mont-Blanc (Haute-Savoie) sur la période 2006 à 2015 (donnée manquante en 2012).

- Les dates de débourrement du mélèze et de floraison du noisetier sont dépendantes des variations de température au printemps. Au cours des printemps chauds, comme en 2007, 2011 ou encore 2014, le débourrement et la floraison sont beaucoup plus précoces par rapport à la moyenne sur la période 2006-2015 (16 avril pour le débourrement du mélèze, 18 mars pour la floraison du noisetier). Inversement durant les printemps froids (2010, 2013), les dates sont plus tardives.
- Il est impossible, sur la base des données actuelles, d'estimer une tendance à la précocité des dates de débourrement et de floraison de ces deux espèces. Une période d'observation plus longue est nécessaire. **Ces observations nous montrent cependant, qu'entre une année où le printemps est chaud et une année où il est froid, le mélèze est capable d'ajuster sa date de débourrement d'environ 25 jours, et le noisetier sa date de floraison de plus de 30 jours.**

Dans le sud et le centre de la région, la remontée de l'influence du climat méditerranéen apporte avec elle des espèces jusqu'alors plutôt rencontrées dans le sud-est de la France.

Aire de répartition de l'ambroisie

Etat des connaissances sur la répartition de l'Ambroisie à feuilles d'armoise (*Ambrosia artemisiifolia* L.) en Auvergne Rhône Alpes entre 2001 et 2021



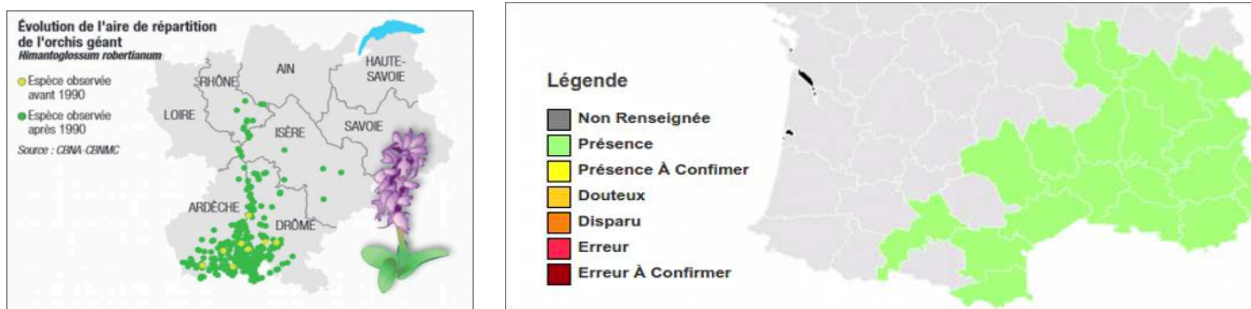
- Communes dans lesquelles il y a eu au moins un signalement d'Ambroisie à feuilles d'armoise
- Nombre de commune(s) dans lesquelles il y a eu au moins un signalement, par département
- 0 - 10
- 10 - 50
- 51 et plus

Carte réalisée par l'Observatoire des ambrosies - FREDON France - 2021.

Sources des données : plateforme de signalement ambrosie Atlasanté (données validées 2015 à 2020), réseau des Conservatoires botaniques nationaux et partenaires, réseau des FREDON, réseau des CPIE.

- L'ambroisie, dont l'évolution de l'aire de répartition est considérée comme en partie due à l'évolution du climat, peu présente dans le sillon rhodanien avant 1990, est maintenant largement répandue sur ces territoires.

Aire de répartition de l'orchis géant



Aire de répartition de l'*Himantoglossum robertianum* (orchis géant) - Sources : Conservatoire botanique national alpin et [tela botanica](#) - (Loisel.) P.Delforge

- Une espèce habituellement présente dans le sud de l'Ardèche et de la Drôme, comme l'Orchis Géant, est, par exemple, maintenant observée jusque dans le département du Rhône.

Plus d'infos :

- [Projet de recherche participative Phénoclim](#)
- [CREA Mont-Blanc](#)
- [Observatoire des saisons](#)

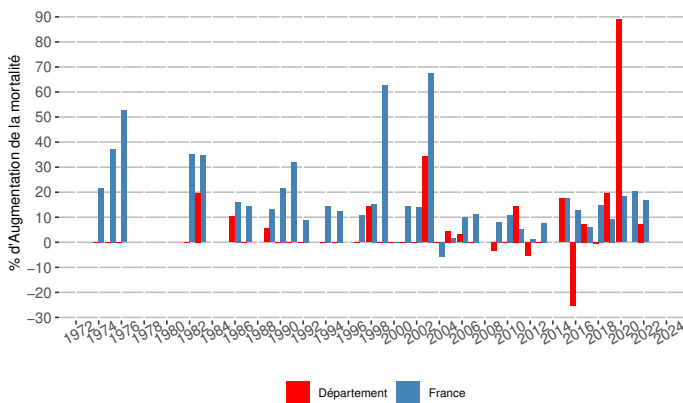
IMPACTS SUR LA SANTÉ

Les impacts du changement climatique génèrent des risques sanitaires qui peuvent **affecter de manière directe ou indirecte la santé** des populations.

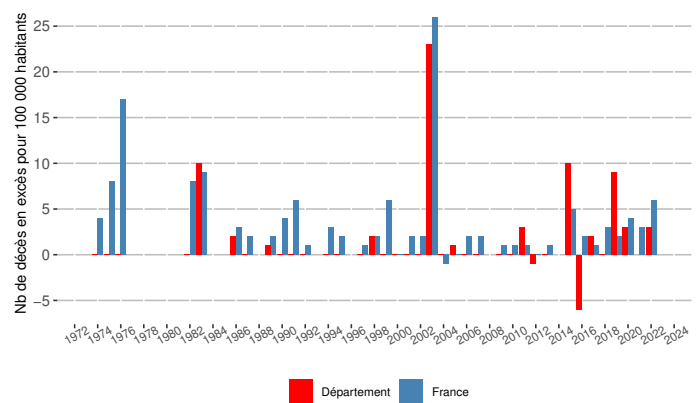
HYPERTHERMIE ET SURMORTALITÉ LORS D'ÉPISODES DE CANICULES

- Les vagues de chaleur et leur pendant réglementaire, les périodes de canicules, sont l'exemple le plus emblématique des influences du changement climatique sur la santé. Le Plan National Canicule de 2017, sur la base de critères sélectifs, cible plus particulièrement les vagues de chaleur susceptibles de constituer un risque pour la population exposée.
- En effet, en lien avec le phénomène « îlots de chaleur urbains » et la propriété des milieux minéralisés à retenir la chaleur, **les épisodes de canicules sont associés à un risque d'hyperthermie et de déshydratation**, en particulier chez les enfants, les personnes âgées, et les citadins. Ces éléments trouvent une résonance particulière dans un contexte d'urbanisation et de vieillissement de la population, comme l'illustre une analyse de la mortalité liée à la canicule de 2003.
- D'après Santé Publique France, **1118 canicules** sont identifiées **entre 1970 et 2016**. Les canicules les plus intenses et les plus longues sont concentrées en 1976, 1983, 2003 et 2015. La population exposée à au moins une canicule par an a doublé en France entre 1974-1983 et 2004-2013. Près de 32 000 décès en excès, dus aux canicules, sont observés en France entre 1974 et 2013.

Évolution de l'augmentation de la mortalité pendant les périodes de canicule - Puy-de-Dôme (1974-2019)



Évolution des taux de décès en excès pendant les périodes de canicule - Puy-de-Dôme (1974-2019)



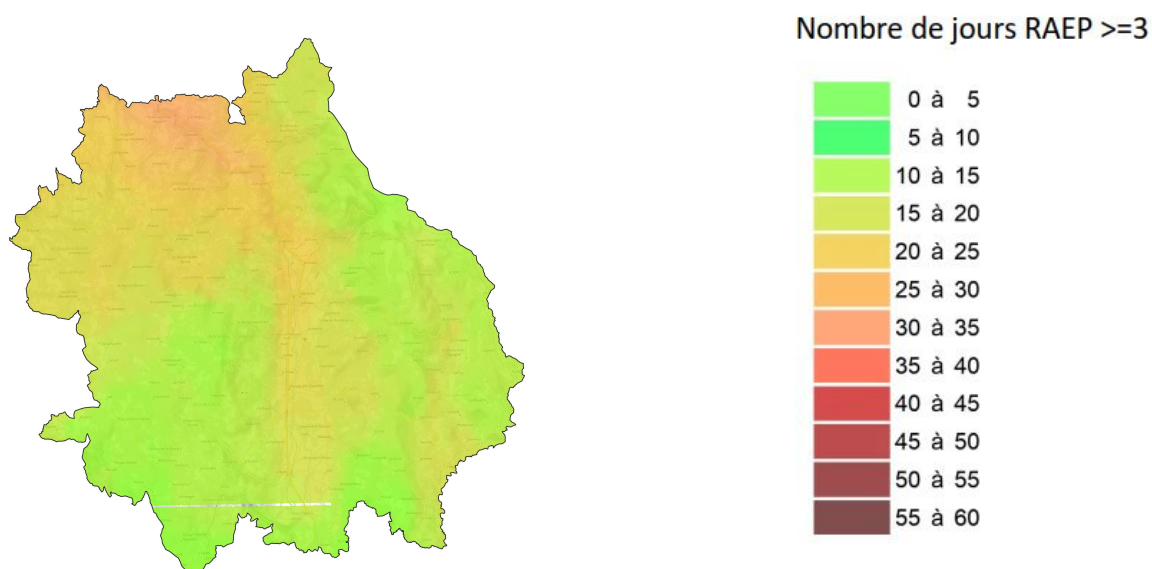
- On observe une **variabilité des taux de mortalité entre l'année 1974 et 2000 dans le département du Puy-de-Dôme**.
- Une baisse de la mortalité est observée à partir de 2004, dans la période suivant la canicule de 2003. Les causes n'en sont pas totalement élucidées par la bibliographie. Il pourrait cependant s'agir d'un effet moisson de la canicule de 2003, c'est-à-dire la survenue en 2003 de décès avec une avancée de quelques mois ou années, par rapport à ce qui aurait eu lieu en l'absence de la canicule. Ces décès avancés ne se retrouvent alors pas les années suivantes.
- Alors que les vagues de chaleur sont plus fréquentes, la diminution du taux de mortalité après 2003 est aussi probablement due à la mise en place de dispositifs de surveillance sanitaire et de mesures de gestion des canicules.
- Cependant, au niveau départemental, comme au niveau national, la canicule de 2003 demeure une vague de chaleur exceptionnelle avec une surmortalité inégalée, de deux à trois fois plus intense que toutes les autres canicules observées sur la période. Les canicules avec les intensités les plus élevées (1983, 2003, 2015, 2018) sont également associées à une surmortalité plus importante. Cependant 2003 ne présente pas une rupture dans la relation température-mortalité, mais se distingue par une intensité et une sévérité sans équivalent historique sur la période analysée.
- Ces tendances sont les mêmes pour les décès en excès pendant les périodes de canicules.

PATHOLOGIES CARDIO-VASCULAIRES ET RESPIRATOIRES LIÉES À LA QUALITÉ DE L'AIR

- À court terme, les effets observés lors d'une exposition à des concentrations importantes de polluants sont principalement **l'aggravation de pathologies cardio-vasculaires et respiratoires** préexistantes et des **crises d'asthme**.
- La présence de particules fines et de dioxyde d'azote à proximité des axes routiers, mais aussi l'ozone dans le sud du territoire, contribuent à l'aggravation de pathologies cardio-vasculaires et respiratoires pré-existantes. Ces aspects représentent un enjeu majeur de santé publique.

- **Les pollens sont sources de 12 à 45% des allergies**, pathologie dont la prévalence est de 20% dans la population française. L'effet des pollens est aggravé par la pollution atmosphérique chimique, qui augmente la quantité de pollens émis par la plante, aggrave leur toxicité et augmente la sensibilité des personnes allergiques.
- Ceux de l'ambroisie, en particulier, font l'objet d'une attention spécifique pour leur caractère particulièrement allergisant. L'ambroisie affecte les territoires en dessous de 1 400 mètres d'altitude.

Cartographie annuelle régionale et territoriale 2022 du risque allergique à l'ambroisie (nb jours sup à RAEP 3)¹



- L'Ambroisie à feuilles d'armoise (*Ambrosia artemisiifolia* L.) est une espèce exotique envahissante originaire d'Amérique du Nord qui pose des problèmes sanitaires, agricoles, environnementaux et sociétaux en France. Deux autres espèces d'ambrosies présentes en France sont également classées nuisibles à la santé humaine : l'Ambroisie trifide (*Ambrosia trifida* L.) et l'Ambroisie à épis lisses (*Ambrosia psilostachya* DC).
- La population « fortement présumée allergique » à l'ambroisie, représente en Rhône-Alpes environ 155 000 personnes assurées du régime général en 2012 (soit un taux de 4,2% de la population des 6-64 ans). Le taux est inégalement réparti au niveau départemental puisqu'il atteint dans la Drôme 5,6% contre 2,8% en Haute-Savoie. La population « probablement allergique » à l'ambroisie, représente en Rhône-Alpes près de 198 000 personnes assurées du régime général en 2012 (soit un taux de 5,3% de la population des 6-64 ans). Le taux est inégalement réparti au niveau départemental puisqu'il atteint dans la Drôme 6,8% contre 3,5% en Haute-Savoie.
- Selon une étude publiée par la revue *Environmental Health Perspectives*, **l'allergie au pollen d'ambroisie toucherait, en 2050, 2 fois plus de personnes qu'aujourd'hui** du fait du rallongement des périodes de temps estival en lien avec le réchauffement climatique et de la propagation naturelle de la plante.

Plus d'infos :

- [Plateforme sur l'ambroisie \(ATMO Auvergne-Rhône-Alpes\)](#)
- [Reconnaître l'ambroisie \(ATMO Auvergne-Rhône-Alpes\)](#)
- [Les pollens, les pollinoses et autres maladies respiratoires allergiques \(ARS\)](#)

1. **RAEP** : Risque d'Allergie lié à l'Exposition aux Pollen. Cet indice de risque allergique va de 0 (nul) à 5 (très élevé) et permet de définir un niveau de risque pour les allergiques de développer des symptômes. Un RAEP supérieur ou égal à 3, c'est-à-dire moyen, élevé ou très élevé correspond à un niveau où tous les allergiques au pollen concerné souffrent de pollinose. (Source ARS)

CANCERS LIÉS À L'EXPOSITION AUX ULTRAVIOLETS (UV)

- L'augmentation de l'ensoleillement fait craindre une augmentation de l'exposition de la population aux UV-A et UV-B, dont les propriétés mutagènes pour les cellules de la peau les placent au premier rang des facteurs de **risque de cancer cutané**. Les populations résidant en altitude sont particulièrement vulnérables puisque l'atmosphère y est moins protectrice. Ceci est d'autant plus vrai lorsque l'exposition est longue, comme c'est le cas pour les agriculteurs par exemple.

RISQUES SANITAIRES DUS À UNE DÉGRADATION DE LA QUALITÉ DES EAUX

- Le rejet de polluants (urbains, industriels ou agricoles) dans une quantité d'eau plus faible augmente leur concentration, d'autant que l'augmentation des températures offre un milieu propice au développement microbologique (notamment fongique et bactérien). Ces deux paramètres vont dans le sens d'une dégradation de la qualité à la fois chimique et microbologique de l'eau. La baignade dans une eau de qualité dégradée peut conduire à des **affections de santé par contact cutané, ingestion ou inhalation de l'eau**.

MALADIES À VECTEUR

- La remontée du climat méditerranéen le long du sillon rhodanien s'accompagne d'une migration d'espèces à la fois végétales et animales, parmi lesquelles des **vecteurs d'arboviroses comme le moustique tigre**. Son implantation est constatée le long du sillon rhodanien dans la Drôme, l'Ardèche et le Rhône.

Plus d'infos :

- Site du RNSA (Réseau national de surveillance aérobiologique) sur les pollens
- Note nationale BSV Observatoire des ambrosies - juillet 2019)
- Portail de lutte contre l'ambrosie en Auvergne-Rhône-Alpes
- État des connaissances « Santé et changement climatique » (déc. 2015)
- Observatoire régional de la santé en Rhône-Alpes
- Lutte contre le moustique tigre en Rhône-Alpes

IMPACTS SUR LA QUALITÉ DE L'AIR

L'évolution des concentrations de polluants est en partie liée aux conditions climatiques. Ainsi, le changement climatique, en s'accroissant, aura un impact direct sur l'évolution de la qualité de l'air.

- L'**ozone**, polluant estival, est formé par une réaction initiée par le rayonnement solaire UV. Ainsi, un accroissement de l'ensoleillement et de la chaleur pourrait augmenter le niveau moyen d'ozone et avoir une incidence sur la survenue des épisodes de pollution à l'ozone.
- A proximité des axes routiers et dans les vallées alpines, les pics de pollution concernent les **particules fines** et le **dioxyde d'azote**.
- De plus, avec des étés plus secs, les feux de forêts pourront être plus nombreux, générant des **émissions supplémentaires d'Hydrocarbures aromatiques polycycliques (HAP)**, de particules, de monoxyde de carbone (CO), et de composés organiques volatils non méthaniques (COVNM).
- En hiver, en cas d'augmentation des périodes anticycloniques associées à des inversions de température (ce qui favorise la stagnation des polluants dans les basses couches de l'atmosphère), les épisodes de **pollution aux particules** (en lien avec le chauffage individuel au bois peu performant) pourraient s'intensifier. A contrario, les températures plus douces pourraient conduire à une moindre utilisation des installations de chauffage et ainsi à une réduction des épisodes de pollution.
- L'augmentation de zones désertiques dans le sud de la région pourrait engendrer des épisodes de **particules telluriques**.
- La modification du climat devrait également s'accompagner de nouvelles maladies ou insectes ravageurs à traiter : le **recours aux pesticides** pour y faire face constitue un risque de pollution supplémentaire.
- Enfin, les dynamiques de **concentration de pollens** sont reconnues comme un des indicateurs du changement climatique. Leur concentration suit la courbe à la hausse des températures moyennes.

Plus d'infos :

- [Changement climatique et pollution de l'air](#)

IMPACTS SUR L'AGRICULTURE ET LA SYLVICULTURE

Le scolyte de l'épicéa est un **insecte ravageur de l'ordre des coléoptères**, qui s'attaque principalement aux épicéas communs en mauvaise santé. En état de torpeur durant tout l'hiver, le scolyte se réveille entre avril et juin lorsque les températures augmentent et ce d'autant plus tôt qu'un cumul de températures important est atteint précocement.

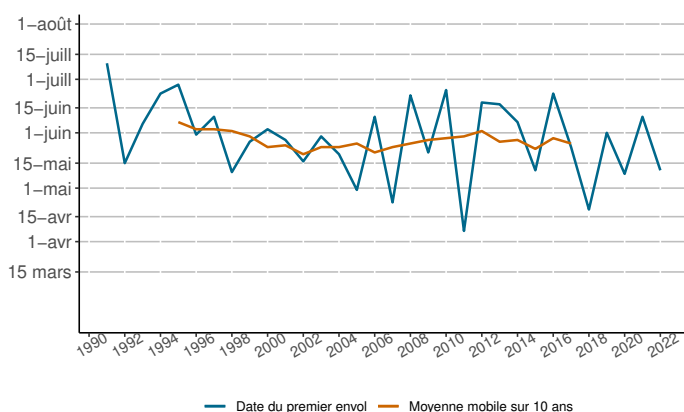
Habituellement, en phase dite endémique, le scolyte de l'épicéa s'attaque aux seuls arbres en mauvaise santé, particulièrement à l'épicéa commun. Les insectes creusent une galerie nuptiale au sein de l'écorce de l'arbre. Ils contribuent ainsi à la décomposition des bois en voie de dépérissement, et in fine au cycle de décomposition forestière. Ils jouent dans ce cas un rôle utile, dans la mesure où ils participent ainsi à la régénération forestière.

Un affaiblissement massif des arbres, suite à des événements climatiques extrêmes (sécheresse, tempête) ou à un stress hydrique important, favorisés par le changement climatique, couplé à des conditions environnementales favorables à la reproduction du scolyte, peuvent entraîner un accroissement de la population de l'insecte ravageur. **Le scolyte entre alors dans une phase épidémique, et peut même attaquer des arbres sains, encore sur pied.**

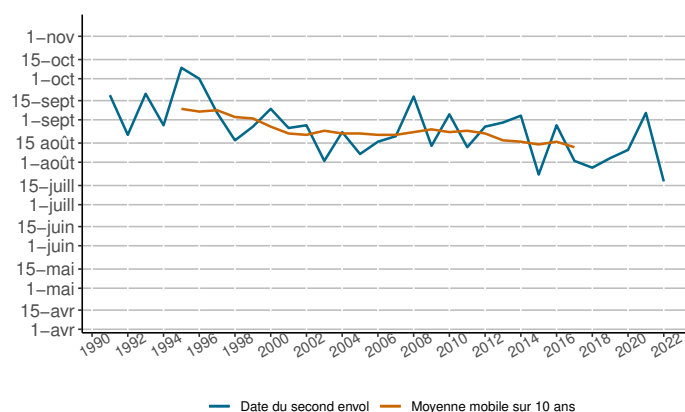
Évolution des dates d'envol du scolyte à Mont-Dore-SAPC (1991-2022)

Les paramètres climatiques proposés dans cette analyse se basent sur les données quotidiennes issues de la station de mesure météorologique du réseau de Météo France, située à Mont-Dore-SAPC.

Date de premier envol du scolyte à la station de Mont-Dore-SAPC



Date de second envol du scolyte à la station de Mont-Dore-SAPC



- Après la période d'hibernation, le scolyte de l'épicéa s'envole pour se reproduire. **Il existe en général deux envols**, avec la possibilité d'un troisième envol en fin d'été ou début d'automne pour les zones les plus chaudes et un seul envol pour les zones les plus froides ou les plus en altitude. Or, **plus les envols interviennent tôt dans l'année, plus le risque de pullulation est important** via une potentielle hausse du nombre de génération chaque année.
- L'observation des conditions de températures favorables aux envols des scolytes nous montre, en Auvergne-Rhône-Alpes, une **avancée des dates de premier et de deuxième envol** depuis le début des années 90.
- L'historique d'observation disponible sur cette station est trop court pour pouvoir quantifier cette avancée.

Plus d'infos :

- [Fiche « Scolyte de l'épicéa »](#)
- [État des connaissances « Agriculture-sylviculture et changement climatique »](#)

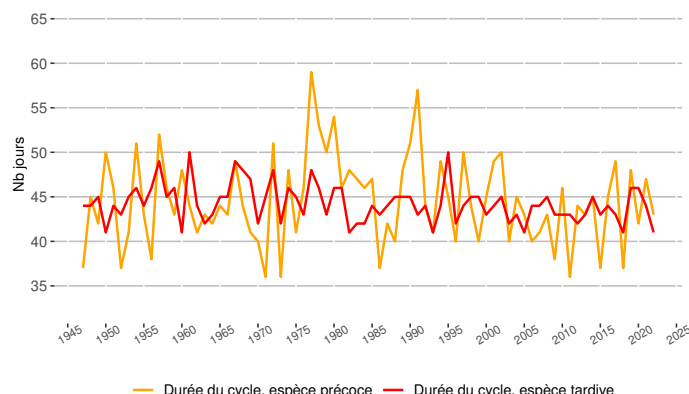
Les paramètres climatiques proposés dans cette analyse se basent sur les données quotidiennes issues de la station de mesure météorologique du réseau de Météo France, située à Clermont-Ferrand

Évolution des dates d'apparition des stades phénologiques des prairies - Clermont-Ferrand (1947-2022)

Écart à la moyenne 1947 - 2022 des date d'apparition des stades phénologiques à la station de Clermont-Ferrand



Durée de présence des épis à la station de Clermont-Ferrand



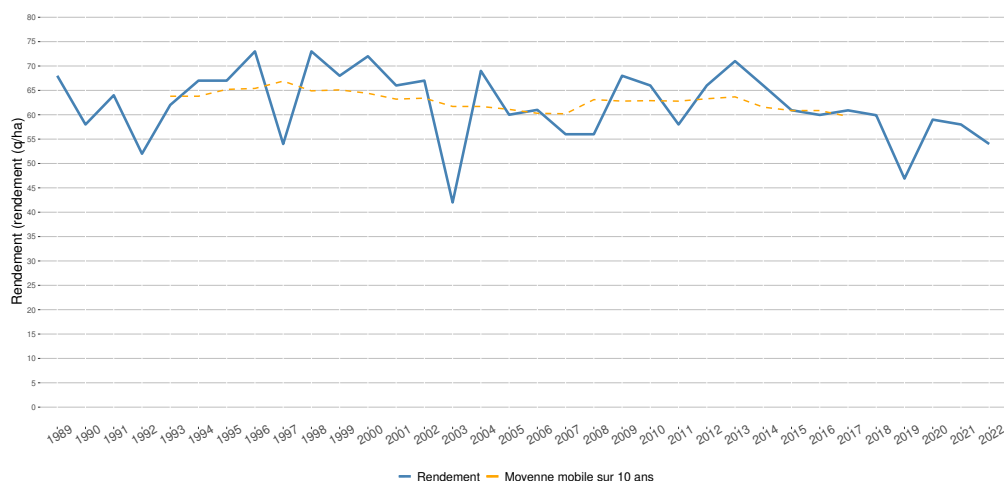
- On observe en Auvergne-Rhône-Alpes **une avancée en précocité des stades d'épiaison et de floraison des prairies.**
- Cette avancée varie entre 7 jours et 10 jours entre la période 1963- 1992 et la période 1993-2022, à Clermont-Ferrand, selon les stades phénologiques et les variétés de prairies étudiées.
- L'avancée en précocité des stades d'épiaison et de floraison des prairies est un marqueur pour l'évolution de la phénologie de toutes les cultures et productions agricoles, pour lesquelles on constate une avancée de l'apparition des stades phénologiques et, pour certaines cultures, un raccourcissement de la durée de certains stades.
- Pour les prairies, les rendements et la qualité, surtout liés à la date de fauche ne sont pas impactés par ces évolutions de long terme mais dépendent essentiellement des variations annuelles très fortes.

Plus d'infos :

- [Plus d'indicateurs « Phénologie des prairies »](#)
- [État des connaissances « Agriculture-sylviculture et changement climatique »](#)

L'Agreste, service statistique du ministère de l'agriculture met à disposition des données annuelles de rendement moyen du blé tendre à l'échelle départementale, en quintaux par hectare (q/ha).

Évolution départementale des rendements de blé tendre - Puy-de-Dôme



- On constate dans le département, une rupture dans la progression des rendements en blé tendre qui se manifeste au milieu des années 1990. Cette évolution suit une période de hausse générale à l'échelle nationale depuis les années 1950 (non visualisée ici faute de données), qui s'explique par l'amélioration variétale combinée à l'accroissement de la technicité de culture (préparation de sol, semis, fertilisation, protection phytosanitaire, récolte).
- D'après INRAE et Arvalis, ce phénomène de stagnation des rendements, qui s'observe sur l'ensemble de la France métropolitaine, avec des spécificités régionales, résulte pour moitié du changement climatique. Ce dernier a accru les stress hydrique et thermique en fin de cycle cultural, avec une occurrence plus fréquente des accidents climatiques (sécheresse, canicule).
- L'avancement des dates de semis, le choix de variétés précoces adaptées au contexte agronomique local, et la recherche de variétés tolérantes aux températures élevées figurent parmi les principaux leviers d'adaptation pour les céréaliers, en complément de politiques plus globales de préservation de la ressource en eau et de gestion durable des sols.

Plus d'infos :

- [Fiche « Rendement du blé tendre »](#)
- [État des lieux sur le changement climatique et ses incidences agricoles en région Auvergne-Rhône-Alpes \(Livret ORACLE 2023\) : impacts agricoles du changement climatique sur d'autres cultures \(partie 3 du livret\)](#)

ORACLE Auvergne-Rhône-Alpes (Observatoire régional sur l'agriculture et le changement climatique) est un observatoire mis en oeuvre par la Chambre régionale d'agriculture ayant pour objectif de partager des indicateurs de suivi du changement climatique et de ses conséquences pour l'agriculture en région afin d'envisager une adaptation des systèmes agricoles.

ORACLE Auvergne-Rhône-Alpes est intégré au sein de la stratégie climat de la Chambre d'agriculture régionale Auvergne-Rhône-Alpes. De nombreux partenaires institutionnels sont également parties prenantes du projet.

L'observatoire permet de suivre des indicateurs rassemblés par familles :

- climatiques ;
- agro-climatiques ;
- d'impact agricole du changement climatique qui rendent compte des changements subis sur les pratiques agricoles, le matériel biologique, les paysages, les filières liés de près ou de loin au changement climatique. La relation de causalité n'est pas toujours univoque et sera spécifiée au cas par cas ;
- d'adaptation au changement climatique qui rendent compte des modifications choisies des pratiques agricoles pour faire face au changement climatique ;
- d'atténuation du changement climatique qui rendent compte des leviers actionnés pour contribuer à réduire l'impact de l'agriculture sur le changement climatique et améliorer le stockage du carbone.

Une complémentarité entre ORACLE et ORCAE est également recherchée. Des renvois vers les indicateurs d'ORACLE sont présents au sein des pages impacts sur l'agriculture des profils ORCAE. Les compléments apportés par ORACLE permettent d'illustrer des tendances climatiques et leur impact sur les productions agricoles actuelles (modification des bassins favorables à certaines productions, évolution des dates des travaux agricoles, dynamique des rendements agricoles...).

NB : les valeurs des indicateurs du changement climatique (températures, précipitations, nombre de jours de gel) diffusées par ORACLE et ORCAE peuvent présenter des différences. Elles s'expliquent par des choix différents en termes de :

- stations de référence départementales ;
- méthodologie de calcul des évolutions ;
- périodes de référence ;
- historique des données.

Pour connaître les périodes de référence prises en compte pour le calcul des indicateurs ORCAE, consulter la [méthodologie](#).

Plus d'infos :

- [ORACLE Auvergne-Rhône-Alpes](#)
- [État des lieux sur le changement climatique et ses incidences agricoles en région Auvergne-Rhône-Alpes \(Livret ORACLE 2023\)](#)

ANNEXES

PÉRIMÈTRE DU TERRITOIRE

Code INSEE	Nom commune
63002	Aix-la-Fayette
63003	Ambert
63010	Arlanc
63023	Auzelles
63027	Baffie
63037	Bertignat
63039	Beurières
63056	Brousse
63057	Le Brugeron
63065	Ceilloux
63076	Chambon-sur-Dolore
63081	Champétières
63086	La Chapelle-Agnon
63104	La Chaulme
63105	Chaumont-le-Bourg
63119	Condat-lès-Montboissier
63132	Cunlhat
63136	Domaize
63137	Doranges
63139	Dore-l'Église
63142	Échandelys
63147	Églisolles
63158	Fayet-Ronaye
63161	La Forie
63162	Fournols
63173	Grandrif
63174	Grandval
63179	Job
63207	Marat
63211	Marsac-en-Livradois
63218	Mayres
63221	Medeyrolles
63230	Le Monestier
63256	Novacelles
63258	Olliergues
63309	Saillant
63312	Saint-Alyre-d'Arlanc
63314	Saint-Amant-Roche-Savine
63319	Saint-Anthème
63323	Saint-Bonnet-le-Bourg
63324	Saint-Bonnet-le-Chastel
63328	Sainte-Catherine
63331	Saint-Clément-de-Valorgue
63337	Saint-Éloy-la-Glacière
63341	Saint-Ferréol-des-Côtes
63353	Saint-Germain-l'Herm
63355	Saint-Gervais-sous-Meymont
63371	Saint-Just
63374	Saint-Martin-des-Olmes
63384	Saint-Pierre-la-Bourlhonne
63394	Saint-Romain
63398	Saint-Sauveur-la-Sagne
63412	Sauvessanges
63431	Thiolières
63434	Tours-sur-Meymont

Code INSEE	Nom commune
63441	Valcivières
63454	Vertolaye
63465	Viverols

Climat réel / climat normal : Il est généralement admis que la consommation de chauffage est proportionnelle à la rigueur climatique de l'hiver. Le bilan à climat normal correspond aux consommations corrigées des effets de température ; les consommations à climat réel sont celles qui ont été effectivement consommées au cours de l'année.

CMS : Combustibles Minéraux Solides

ECS : Eau Chaude Sanitaire

Énergie finale : L'énergie finale est l'énergie livrée aux consommateurs pour être convertie en énergie utile. Par exemple : électricité, essence, gaz, gazole, fioul domestique, etc.

Énergie primaire : L'énergie primaire est la première forme de l'énergie directement disponible dans la nature : bois, charbon, gaz naturel, pétrole, vent, rayonnement solaire, énergie hydraulique, géothermique... L'énergie primaire n'est pas toujours directement utilisable et fait donc souvent l'objet de transformations : exemple : raffinage du pétrole pour avoir de l'essence ou du gazole, fission de l'uranium dans une centrale nucléaire pour produire de l'électricité.

Énergie utile : L'énergie utile est l'énergie dont dispose le consommateur, après transformation par ses équipements (chaudières, convecteurs électriques, ampoules électriques). La différence entre l'énergie finale et l'énergie utile tient essentiellement au rendement des appareils utilisés pour transformer cette énergie finale.

Énergie renouvelable : Énergie produite à partir de sources non fossiles renouvelables, à savoir : énergie éolienne, solaire, aérothermique, géothermique, hydrothermique, marine et hydroélectrique, biomasse, gaz de décharge, gaz des stations d'épuration d'eaux usées et biogaz (définition de la directive 2009/28/CE du 23 avril 2009 relative à la promotion de l'utilisation de l'énergie produite à partir de sources renouvelables).

Énergies renouvelables électriques (ENRelec) : Agrégat statistique qui regroupe l'ensemble des énergies renouvelables électriques : sources d'électricité hydrauliques, éoliennes, photovoltaïques, ou valorisation électriques de ressource biomasse.

Énergies renouvelables thermiques (ENRt) : Agrégat statistique qui regroupe l'ensemble des énergies renouvelables non électriques. Sont donc exclues les sources d'électricité hydrauliques, éoliennes, photovoltaïques et géothermiques (haute température) qui, dans les bilans de l'énergie, sont comptabilisées à la rubrique électricité. Les ENRt comprennent le bois de chauffage, commercialisé ou non, les déchets urbains et industriels renouvelables, la géothermie valorisée sous forme de chaleur, le solaire thermique, les résidus de bois et de récoltes, le biogaz, les biocarburants et les pompes à chaleur.

Organo-carburants : Le terme organo-carburants a été déposé en 2010 par Rhônalpénergie - Environnement (RAEE). RAEE propose l'utilisation de ce terme générique en substitution au terme contesté de "biocarburants". Son usage repose sur un règlement garantissant les qualités environnementales et sociales.

"Pouvoir de réchauffement global" : La durée de vie dans l'atmosphère des gaz à effet de serre varie énormément : douze ans pour le méthane, une centaine d'années pour le gaz carbonique et... 50 000 ans pour l'hexafluorure de soufre ! Ceci veut dire que le gaz carbonique produit aujourd'hui fera encore effet dans un siècle. Les émissions de gaz à effet de serre sont généralement exprimées en tonne équivalent CO₂ (teq CO₂), unité commune pour l'ensemble des gaz qui prend en compte leurs caractéristiques (durée de vie et capacité à réchauffer la planète). 1 kteqCO₂ = 1000 teqCO₂. Pour obtenir une équivalence entre eux, on définit le pouvoir de réchauffement global d'un gaz (PRG). C'est le ratio entre le réchauffement provoqué par 1 kg de gaz et 1 kg de CO₂. Dans les bilans publiés dans le cadre du protocole de Kyoto, le ratio est exprimé pour des effets comparés à 100 ans. Pour 1 kg de méthane émis en 2000, son effet à l'horizon 2100 sera le même que 21 kg de CO₂ émis en 2000. Le PRG 100 ans du méthane est donc de 21.

PP : Produits pétroliers

Tep : La tonne d'équivalent pétrole (tep) est une unité de mesure de l'énergie couramment utilisée par les économistes de l'énergie pour comparer les énergies entre elles. C'est l'énergie produite par la combustion d'une tonne de pétrole moyen, ce qui représente environ 11 600 kWh. Les anglo-saxons utilisent également le baril équivalent pétrole, ou boe (barrel of oil equivalent) qui vaut environ 0,135 tep, selon l'équivalence 1 tep = environ 7,3 barils (le baril étant une mesure de capacité valant 159 litres). Quelques exemples d'équivalences : 1 tonne de charbon = 0,6 tep environ, 1 tonne d'essence = 1,05 tep, 1 tonne de fioul = 1,00 tep, 1 tonne de bois = 0,3 tep. 1ktep = 1000 tep.

Unités : Les préfixes représentent des multiples des unités : kilo (k) pour mille, méga (M) pour million, giga (G) pour milliard, téra (T) pour mille milliards.